



AZƏRBAYCAN RESPUBLİKASI TƏHSİL NAZIRLIYI  
**BAKİ DÖVLƏT UNIVERSİTETİ**

Ümummilli Lider Heydər Əliyevin  
anadan olmasının 98-ci ildönümünə  
həsr olunmuş

## **GƏLƏCƏYİN ALİMLƏRİ**

mövzusunda

Tələbələrin VI Respublika elmi konfransının

# **MATERIALLARI**

Bakı, 3 may 2021-ci il

**BAKİ-2021**

**BDJ**

AZƏRBAYCAN RESPUBLİKASI TƏHSİL NAZİRLİYİ  
BAKİ DÖVLƏT UNIVERSİTETİ



Ümummilli Lider Heydər Əliyevin  
anadan olmasının 98-ci ildönümünə həsr olunmuş

**"GƏLƏCƏYİN ALİMLƏRİ"**

*mövzusunda*

**TƏLƏBƏLƏRİN VI RESPUBLİKA ELMİ  
KONFRANSININ**

**MATERİALLARI**

*Bakı, 3 may 2021-ci il*

Ümummilli Lider Heydər Əliyevin anadan olmasının 98-ci ildönümünə həsr olunmuş "Gələcəyin alımları" mövzusunda tələbələrin VI respublika elmi konfransının materialları. Bakı, 3 may 2021-ci il. Bakı: BDU, 2021. – 172 səh.

ISBN: 978-9952-546-17-0

© Bakı Dövlət Universiteti, 2021

## **KONFRANSIN TƏŞKİLAT KOMİTƏSİ:**

### **Sədr:**

Əli Məmmədov

Fizika fakültəsinin bakalavriat səviyyəsi üzrə  
II kurs tələbəsi; Fizika fakültəsi Tələbə Elmi  
Cəmiyyətinin sədri

### **Sədr müavini:**

Gülnaz Kərimzadə

Fizika fakültəsinin bakalavriat səviyyəsi üzrə  
III kurs tələbəsi

### **Üzvlər:**

Şəhla Hacıyeva

Fizika fakültəsinin elmi işlər üzrə dekan müavini

Zöhrab Ağamalıyev

Nanoaraşdırırmalar ETM-in direktor müavini

Sara Rəhimzadə

Fizika Problemləri ETİ-nin böyük laborantı

Bənövşə Əsgərova

Fizika fakültəsinin bakalavriat səviyyəsi üzrə  
IV kurs tələbəsi

Hüseyin Məmmədov

Fizika fakültəsinin bakalavriat səviyyəsi üzrə  
IV kurs tələbəsi

Zərifə Paşalı

Fizika fakültəsinin bakalavriat səviyyəsi üzrə  
IV kurs tələbəsi

Sənubər Hüseynli

Fizika fakültəsinin bakalavriat səviyyəsi üzrə  
II kurs tələbəsi

## KONFRANSIN PROQRAM KOMİTƏSİ:

### Sədr:

Arif Orucov

Ümumi fizika və fizikanın tədrisi metodikası  
kafedrasının dosenti; Fizika fakültəsi Tələbə Elmi  
Cəmiyyətinin elmi rəhbəri

### Üzvlər:

Sədiyar Rəhimov

Fizika Problemləri ETİ-nin direktoru

Vüsal Məmmədov

Fizika fakültəsinin tədris işləri üzrə dekan müavini  
Fizika fakültəsinin sosial məsələlər və tələbələrlə iş  
üzrə dekan müavini

Məhəmməd Məhərrəmov

Mustafa Muradov

Nanoaraşdırırmalar ETM-in direktoru

Əhməd Abdinov

Fiziki elektronika kafedrasının müdürü

Eldar Məsimov

Maddə quruluşu kafedrasının müdürü

Rəna Qasımovə

Optika və molekulyar fizika kafedrasının müdürü

Vaqif Salmanov

Yarımkeçiricilər fizikası kafedrasının müdürü

Məmməd Əliyev

Bərk cisimlər fizikası kafedrasının müdürü

Faiq Paşayev

Nanomaterialların kimyəvi fizikası kafedrasının  
müdürü

Məmməd Rəcəbov

Nəzəri fizika kafedrasının müdürü vəzifəsini icra  
edən

Eldar Ələkbərov

Ümumi fizika və fizikanın tədrisi metodikası  
kafedrasının müdürü vəzifəsini icra edən

Kəmalə Alişeva

Astrofizika kafedrasının müdürü vəzifəsini icra  
edən

Namiq Əhmədov

Fizika Problemləri ETİ-nin Biofizika şöbəsinin  
müdürü

Mehdi Mahmudov

Bərk cisimlər fizikası kafedrasının dosenti

Bəxtiyar Paşayev

Optika və molekulyar fizika kafedrasının dosenti

Lalə Hacıyeva

Optika və molekulyar fizika kafedrasının dosenti

## PLENAR İCLAS

### NEYLON VƏ STRUKTURLAŞDIRILMIŞ SİLİŞİUM ƏSASINDA TRİBOELEKTRİK GENERATORLAR

Məmmədov H.S., Kim.J \*1, Gülməmədov O.G.1

Bakı Dövlət Universiteti

Fizika fakültəsi, IV kurs

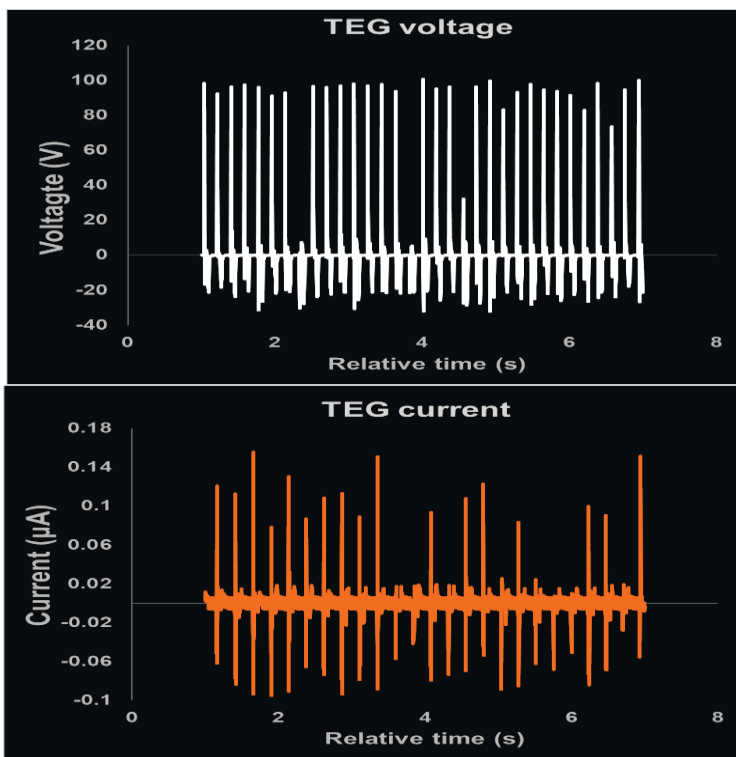
<sup>1</sup>Nanoaraşdırma mərkəzi  
justjustinkim@gmail.com

**Açar sözlər:** Triboelektrik generator, dielektrik material, neylon, strukturlaşdırılmış silisium.

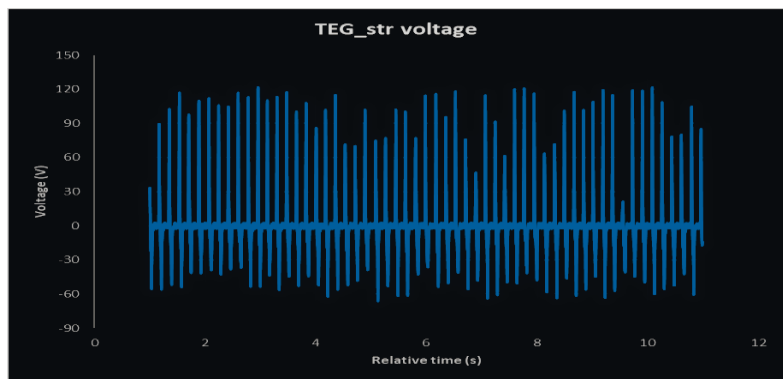
Müasir dövrdə yeni növ daşınabiliş elektronik cihazların yaradılması, onların həyatın müxtəlif sahələrində istifadəsinə imkan verir. Bu tip cihazlar uzunmüddətli səyahətlərdə, həmçinin hərbi kəşfiyyatda istifadə oluna bilər. Bu halda belə qurğuların işlədilməsi üçün yeni tip qidalandırma mənbələrinin yaradılması vacib məsələlərdən biridir. Triboelektrik generatorlar (TEG) enerji generasiyası edən sistemlərdən biridir və digər enerji generasiya sistemlərinə nisbətən daha sadə işləmə mexanizminə malik olub gündəlik həyatda müxtəlif (mexaniki, külək, su dalgaları və s.) enerji mənbələrindən elektrik enerjisini generasiya edə bilir. TEG bir üzü müxtəlif metal elektrodlarla örtülmüş iki dielektrik materialdan ibarətdir. Dielektrik materiallar kontakta gətirilib ayrılan zaman elektrostatik induksiya hesabına onların səthində eks işarəli yükler yaranır və nəticədə elektrodların səthində potensiallar fərqi əmələ gəlir.

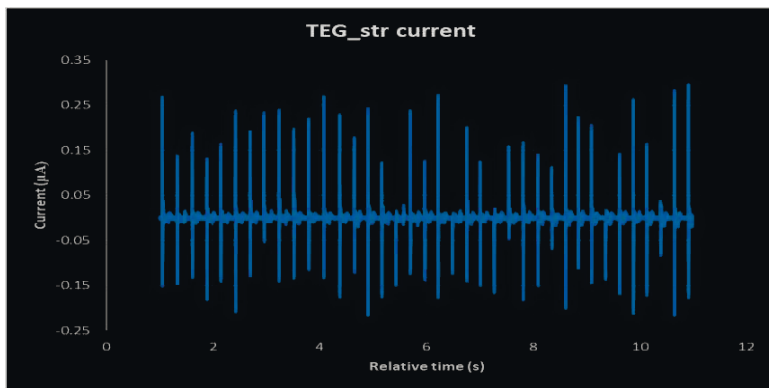
Bu tədqiqat işində dielektrik material kimi Neylon və Silikon, elektrod kimi isə alüminium folqadan istifadə olunmuşdur. Təcrübə müəyyən struktura malik və struktur olmayan Silikon ilə aparılmış, nəticələr aşağıdakı şəkillərdə göstərilmişdir. Şəkillərdə aydın olur ki, strukturlu Silikon

istifadə olunan zaman cərəyanın qiyməti iki dəfə, gərginlik isə 20V artdır. Buna səbəb səthi yük sıxlığının artması, nizamlı quruluş hesabına müqavimətin azalmasıdır. TEG-in cərəyan və gərginliyinin orta qiymətinə uyğun, orta gücün  $P=25,6\text{mkVt}$  tərtibində olduğu müəyyənləşdirilmişdir. Hazırlanmış sistem vəsítəsilə ardıcıl şəkildə birləşmiş 80 ədəd LED-in işiqlandığı müşahidə olunmuşdur.



Şəkil 1.TEG-in gərginlik və cərəyanının zamandan asılılığı (neylon və strukturlaşdırılmamış silikon üçün)





Şəkil 2.TEG-in gərginlik və cərəyanının zamanından asılılığı (neylon və strukturlaşdırılmış silikon üçün)

### Ədəbiyyat

1. Zhong Lin Wang ., Aurelia Chi Wang., “On the origin of contact electrification”, Materials Today ,Volume 30, 10, 2019, 34-51.
2. Feng-Ru Fan, Long Lin, Guang Zhu, Wenzhou Wu, Rui Zhang, Zhong Lin Wang ”Transparent Triboelectric Nanogenerators and Self-Powered pressure Sensors Based on Micropatterned Plastic Films” Nano Lett. 2012,6, 3109-3114.

## ATOMIC ORBITALS OF OXYGEN ATOM

Suleymanli A.M., Rahimzade S.G.\*<sup>1</sup>, Pashayev F.H.\*

Baku State University

Physics faculty, III course

<sup>1</sup>Institute for Physical Problems

aytacsle@gmail.com

**Key words:** molecular orbitals, shielding parameters, Slater-type atomic orbitals.

Various properties of multi-electronic systems can be solved by applying quantum mechanics methods. To do this, the wave function of the system must be known. In a multi-electron system, the state of the electron is described by a wave function called the molecular orbital. Unlike atomic orbitals, molecular orbitals are multicenter function. To construct molecular orbitals, it is necessary to know analytical expression of the atomic orbitals of the atoms in the molecule.

$$U_i = \sum_{q=1}^m C_{qi} \Psi_q$$

$C_{qi}$  coefficients can be found by solving the equations of the molecular orbitals method.  $\Psi_q$  is atomic orbital, the analytical expression of this is considered known.

The problem of finding the analytical expression of the atomic orbitals of the oxygen atom is considered in this work. The electron configuration of oxygen atom is  $1s^2 2s^2 2p^4$ . Looking at this configuration, the analytical expression of the 5 atomic orbital of the oxygen atom is calculated. These atomic orbitals are  $1s$ -,  $2s$ -,  $2p_x$ -,  $2p_y$ -,  $2p_z$ - . Exponential functions are currently used as atomic orbitals. Such functions can be Gauss type atomic orbitals or Slater type atomic orbital. Slater type atomic orbital was used in this work. Calculations have shown that these orbitals well characterize the state of the electron in the valence band. Therefore, Slater functions are mainly used in the approximation of valence electrons. These functions can be both real and complex. The analytical expression for real Slater functions is as follows;

$$\Psi_{nlm}(\xi, r) = \frac{(2\xi)^{n+\frac{1}{2}}}{\sqrt{(2n)!}} r^{n-1} e^{-\xi r} S_{lm}(\theta, \varphi)$$

Here  $S_{lm}$  is real spherical function. For finding value of  $\xi$ , firstly, the shielding parameter  $\gamma$  must be found. The value of  $\gamma$  parameter can be calculated according the rules given by Slater. The shielding parameter is as follows;

$$\gamma_{1s} = 0.30(N_{1s} - 1)$$

$$\gamma_{2s2p} = 0.85N_{1s} + 0.35(N_{2s} + N_{2p} - 1)$$

For oxygen atom the values of the shielding parameter are;

$$\gamma_{1s} = 0.30 \quad \gamma_{2s2p} = 3.45$$

Based on these values, let's calculate  $\xi$  parameter

$$\xi = \frac{Z - \gamma}{n}$$

According to this expression the exponential parameter has values for 1s-, 2s-, 2p<sub>x</sub>-, 2p<sub>y</sub>-, 2p<sub>z</sub>-

$$\xi_{1s} = 7.7 \quad \xi_{2s2p} = 2.275$$

Based on the values of  $\xi$ , we obtain the following analytical expressions for the Slater functions;

$$\begin{aligned}\Psi_{1s}(\xi, \vec{r}) &= \frac{5,5 e^{-7,7r}}{\sqrt{\pi}} \\ \Psi_{2s}(\xi, \vec{r}) &= \frac{3,9 r e^{-2,275r}}{\sqrt{\pi}} \\ \Psi_{2p_x}(\xi, \vec{r}) &= \frac{8,6 r e^{-2,275r}}{\sqrt{\pi}} \sin \theta \cos \varphi \\ \Psi_{2p_y}(\xi, \vec{r}) &= \frac{8,6 r e^{-2,275r}}{\sqrt{\pi}} \sin \theta \sin \varphi \\ \Psi_{2p_z}(\xi, \vec{r}) &= \frac{8,6 r e^{-2,275r}}{\sqrt{\pi}} \cos \theta\end{aligned}$$

When these expressions are known, it is possible to construct MO. The determinant wave function of a multi-electron system is constructed on the basis of MO. This allows the theoretical application of the properties of the system.

## References

1. Pashayev F.G., Gasanov A.G. Mathematical methods in atomic and molecular physics. Complex and real Slater functions.

## ZƏİF ELEKTRİK SİQNALLARININ XARAKTERİNİN VƏ DƏYİŞMƏ QANUNLARININ ÖYRƏNİLMƏSİ

Məmmədov Ə.S., Orucov A.K.\*

Bakı Dövlət Universiteti

Fizika fakültəsi, II kurs

mammadovali177@gmail.com

**Açar sözlər:** osiloskop, ossilloqraf, kompüter, USB

Məlumdur ki, elektrik cərəyanının ossilloqrafa daxil edib açılığını almaq mümkündür. Bunun üçün ossilloqrafın X və Y girişinə cərəyan daxil etməyimiz lazımdır daha sonra həmin cərəyanın açılışını görmək mümkündür.

Bəs elə bir üsul varmı ki, zəif elektrik siqnalını daxil edib onun xarakterini və dəyişmə qanunu öyrənmək mümkün olsun.

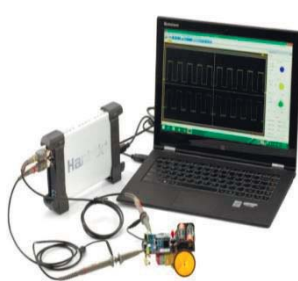
Son illər kompüter texnologiyasının inkişafı bu işdə bizə yaxından kömək olur. Bunun üçün istifadə olunan əsas qurğu PC osilloskopdur. Şəkil.1-də göründüyü kimi ossiloskopun giriş hissə-sinə 2 naqıl birləşdirilir. Bu naqillərin funksiyası elektrik siqnallarını osiloskopa daxil etməkdir. Çıxış hissəyə birləşdirilən USB isə elektrik siqnallarını kompüterə daxil etmək üçündür.

Daha ətraflı desək osiloskopa naqillər vasitəsi ilə daxil olan analoq siqnallar əsasən əsas element kimi ARÇ (analoq rəqəmsal siqnal çevirici) vasitəsi ilə rəqəmsal siqnala çevrilir və bu siqnallar USB vasitəsi ilə kompüterə verilir. Əvvəlcə kompüterdə “PC oscilloscope” mobil əlavəsi quraşdırılır. Sonra osilloskop və kompüterdən ibarət dövrə qurulur (şəkil.2) və giriş hissəyə birləşdirilən naqillər tədqiq etdiyimiz siqnal mənbəyinə birləşdirilir. Daha sonra kompüterdə quraşdırılan

“PC oscilloscope” programına daxil olaraq həmin siqnalın açılışını görə bilərik. Qeyd edək ki, biz tədqiq etdiyimiz siqnalın açılışını həmin program vasitəsi ilə kompüterin yaddaşında saxlaya bilərik. Bu üsulun əsas üstünlüyü zəif davametmə müddəti çox kiçik siqnalların da tədqiq etmək mümkün olmasına.



Şəkil 1.



Şəkil 2.

**Ədəbiyyat:**

1. <https://www.perytech.com/USB-Oscilloscope.htm>
2. <https://www.allaboutcircuits.com/textbook/experiments/chpt-4/pc-oscilloscope/>
3. <https://www.electronics-notes.com/articles/test-methods/oscilloscope/usb-pc-based-oscilloscope.php>

## BÖLMƏ I

# NƏZƏRİ FİZİKA VƏ ASTRONOMİYA

### KÜTLƏSİ ZAMANDAN ASILI SƏRBƏST KVANT ZƏRRƏCİYİNİN PROPAQATORU

Xəlilova G.N., Nağıyev Ş.M.\*

Azərbaycan Milli Elmlər Akademiyası

Fizika İnstitutu, II kurs (magistrant)

gulbaharxelilova1998@gmail.com

Kvant nəzəriyəsinin əsas məsələlərindən biri fiziki sistemlərin zamana görə evolyusiyasını tədqiq etməkdir. Burada biz kütləsi  $M(t)$  zamandan asılı olan sərbəst zərrəcik üçün propaqatoru (keçid ehtimalının amplitudunu) hesablayacaqıq. Bunun üçün evolyusiya operatoru metodundan istifadə edəcəyik. Evolyusiya operatoru  $U(t_2 - t_1)$  sistemin  $\psi(t_1)$  başlanğıc halını hər hansı sonrakı zaman anındakı  $\psi(t_2)$  halına çevirir.

$$\psi(t_2) = U(t_2 - t_1)\psi(t_1) \quad (1)$$

Sərbəst zərrəcik üçün  $U(t)$  –nin ifadəsi ən sadə şəklə malikdir:

$$U(t_2 - t_1) = e^{iS(t_2 - t_1)\partial_x^2}, S(t_2 - t_1) = \int_{t_1}^{t_2} \frac{dt'}{2M(t')} \quad (2)$$

Başlanğıc anda propaqator  $K_F(x_2, 0; x_1, 0) = \delta(x_2 - x_1)$  şərtini ödədiyi üçün ixtiyari zaman anında

$$K_F(x_2, t_2; x_1, t_1) = \theta(t_2 - t_1)U(t_2 - t_1)\delta(x_2 - x_1) \quad (3)$$

kimi təyin olunur, burada  $\delta(x_2 - x_1)$  – Dirak  $\delta$  – funksiyasıdır,  $\theta(t_2 - t_1)$  – Hevisayd funksiyasıdır,  $M(t) = m = \text{const}$  olduqda  $S(t_2 - t_1) = \frac{t_2 - t_1}{2m}$  olur,  $\theta(t_2 - t_1)$  göstərir ki,  $t_2 > t_1$   $t_1$  zərrəciyin başlanğıc,  $t_2$  son anıdır. (2)-ni burada nəzərə alsaq taparıq ki,

$$K_F(x_2, t_2; x_1, t_1) = \frac{\theta(t_2 - t_1)}{\sqrt{4\pi i\hbar S(t_2 - t_1)}} e^{\frac{i(x_2 - x_1)^2}{4S(t_2 - t_1)}} \quad (4).$$

$K_F(x_2, t_2; x_1, t_1)$  propaqatoru  $t_1$  anında  $x_1$  nöqtəsində olan zərrəciyin,  $t_2$  anında  $x_2$  nöqtəsinə gəlməsi ehtimalının amplitudur. Bu propaqator zərrəciyə aid fiziki kəmiyyətlərin hesablanmasında istifadə oluna bilər.

### Ədəbiyyat

1. R.P. Feynman, A.R. Hibbs, Quantum mechanics and path integrals (McGraw-Hill, New York, 1965)
2. Sh.M. Nagiyev, A.İ. Ahmadov, On the time evolution of quadratic quantum systems: evolution operators, propagators, invariants, (to be published in Theor. and Math. Phys.)

## KOORDİNAT VƏ İMPULS TƏSVİRLƏRİNDE EVOLYUSİYA OPERATORUNUN QURULMASI

Xəlilova G.N., Nağıyev Ş.M.\*

*Azərbaycan Milli Elmlər Akademiyası*

*Fizika İnstitutu, II kurs (magistrant)*

*gulbaharxelilova1998@gmail.com*

**Açar sözlər:** Evolyusiya operatoru, kvant sistemləri, propaqator.

Evolysiya operatoru metodu qeyri-relyativistik kvant mexanikası çərçivəsində zamandan asılı kvadratik kvant sistemlərinin xassələrini təsvir etmək üçün tətbiq oluna bilər. Baxılan kvant sistemlərinin xronoloji çözülmüş şəkildə evolyusiya operatorlarını qurmaq üçün, biz əvvəlcə inkişaf etdirdiyimiz sadə texnikanın köməyiylə qeyri-stasionar Şredinger tipli müəyyən sinif diferensial və sonlu-fərq tənliklərinin həllini tapırıq. Evolyusiya operatorunu bilməkla biz propaqatorları, invariantları və dalğa funksiyalarını tapa bilərik.

**Koordinat təsviri.** Sadəlik üçün sərbəst zərrəcik və bircins dəyişən sahadəki zərrəcik üçün birölcülü Şredinger tənliyini nəzərdən keçiririk.

$$\hat{S}_F(x, t)\psi_F(x, t) = 0, \quad \hat{S}_F(x, t) = i\hbar\partial_t + \frac{\hbar^2}{2M(t)}\partial_x^2, \quad (1.1a)$$

$$\hat{S}_L(x, t)\psi_L(x, t) = 0, \quad \hat{S}_L(x, t) = i\hbar\partial_t + \frac{\hbar^2}{2M(t)}\partial_x^2 - F(t)x, \quad (1.1b)$$

Burada M(t) dəyişən kütləli zərrəciyin kütləsidir, F(t) isə sahadəki zərrəciyə təsir edən qüvvədir. Təkamül operatoru (1.1a) və (1.1b) müvafiq formalara malikdir

$$U_F(x, t) = e^{i\hbar S_2(t)\partial_x^2} \quad (1.2)$$

$$U_L(x, t) = e^{ix\delta(x)/\hbar} \exp\left\{-\frac{i}{\hbar}\int_0^t \frac{1}{2M(t')} [-i\hbar\partial_x + \delta(t')]^2 dt'\right\} = U_1(x, t)U_F(x, t) \quad (1.3)$$

$$U_1(x, t) = e^{i\varphi_0(x, t)}e^{-S_1(t)\partial_x}, \quad (1.4)$$

$$\delta(t) = \int_0^t F(t')dt' \quad \varphi_0(x, t) = \frac{x\delta(t) - S_0(t)}{\hbar}$$

$$S_0(t) = \int_0^t \frac{\delta^2(t')}{2M(t')} dt', \quad S_1(t) = \int_0^t \frac{\delta(t')}{M(t')} dt', \quad S_2(t) = \int_0^t \frac{dt'}{2M(t')} \quad (1.5)$$

M(t) = m = const üçün ifadələrimiz var

$$S_0(t) = \frac{\delta_2(t)}{2m}, \quad S_1(t) = \frac{\delta_1(t)}{2m}, \quad S_2(t) = \frac{t}{2m}$$

Burada  $\delta_1(t) = \int_0^t \delta(t')dt'$ ,  $\delta_2(t) = \int_0^t \delta^2(t')dt'$ ,

(1.1) bərabərliyinin həllərini simvolik formada təmsil edirik.

$$\psi_F(x, t) = U_F(x, t)\psi_0(x), \quad \psi_L(x, t) = U_L(x, t)\psi_0(x) \quad (1.6)$$

Burada  $\psi_0(x)$  başlangıç dalğa funksiyasıdır. Aydındır ki, fərqli sistem dalğa funksiyaları əldə etmək üçün fərqli  $\psi_0(x)$  funksiyalar seçirik. (1.2) və (1.3)-dən belə çıxır ki, (1.4) tərəfindən verilən  $U_1(x, t)$  operatoru sərbəst Şredinger tənliyinin (1.1a)

həllini Şredinger tənliyinin xətti potensial həllinə çevirilir və  $U_1^{-1}(x, t)$  operatoru əks çevrilməni həyata keçirir.

$$\psi_L(x, t) = U_1(x, t)\psi_F(x, t), \quad \psi_F(x, t) = U_1^{-1}(x, t)\psi_L(x, t) \quad (1.7)$$

Şredinger operatorları  $S_F(x, t)$  və  $S_L(x, t)$  arasındaki əlaqə  $S_F = U_1^{-1}S_LU_1$  və  $S_L = U_1S_FU_1^{-1}$  dir.

**Implus təsviri.** Şredinger tənliyini (1.1) implus -p təsvirində yazırıq.

$$S_F(p, t)\Phi_F(p, t) = 0, \quad S_F = i\hbar\partial_t - \frac{p^2}{2M(t)}$$

$$S_L(p, t)\Phi_L(p, t) = 0, \quad S_L = i\hbar\partial_t - \frac{p^2}{2M(t)} + i\hbar F(t)\partial_p \quad (1.8)$$

Bu təqdimatda (1.2) təkamül operatorunu vurma operatoru (1.3) təkamül operatorunu isə yerdəyişmə operatoru kimi yaza bilərik, yəni

$$U_F(p, t) = e^{-iS_2(t)p^2/\hbar}$$

$$U_L(p, t) = \exp\left\{-\frac{i}{\hbar}\int_0^t \frac{1}{2M(t')} [p - \delta(t) + \delta(t')]^2 dt'\right\} e^{-\delta(t)\partial_p} = U_1(p, t)U_F(p, t) \quad (1.9)$$

$$\text{Burada } U_1(p, t) = e^{-i\varphi_1(p, t)}e^{-\delta(t)\partial_p}$$

$$\varphi_1 = \frac{S_0(t) + S_1(t)[p - \delta(t)]}{\hbar} \quad (1.10)$$

Evolvusiya operatoru metodu inkişaf etdirilmiş və bu metodun köməyilə müəyyən olunmuşdur ki, qeyri-stasionar kvadratik sistemlər sərbəst zərrəciyə unitar ekvivalentdir. Buradan nəticə kimi o da alınır ki, ümumiyyətlə desək, kvadratik sistemlər öz aralarında bir-birilə unitar əlaqədardır. Bu cür əlaqələr, məsələn, sərbəst zərrəciyi xarakterizə edən fiziki kəmiyyətləri, parametrləri və dalğa funksiyalarını bilməklə, digər kvadratik sistemlərə aid göstərilən xarakteristikaları asanlıqla tapmağa imkan verir

### Ədəbiyyat

1. R.P. Feynman, A.R. Hibbs, Quantum mechanics and path integrals (McGraw-Hill, New York, 1965)
2. Sh.M.Nagiyev, A.İ.Ahmadov, On the time evolution of quadratic quantum systems: evolution operators, propagators, invariants, (to be published in Theor. and Math. Phys.)

## $H \Rightarrow \tau^- + \tau^+ + \gamma$ PARÇALANMASINDA $\gamma$ - KVANTIN DAİRƏVİ POLYARLAŞMASI

Rəfiyeva M.Q., Abdullayev S.Q.\*

Bakı Dövlət Universiteti

Fizika fakültəsi, II kurs ( magistrant)  
melek.refiyeva97@mail.ru

**Açar sözlər:** Hiqqs bozon, qamma kvant, dairəvi polyarlaşma

2012-ci ilin yayında Avropanın Nüvə Tədqiqatları mərkəzində ATLAS və CMS kollaborasiyaları tərəfindən aparılan təcrübələrdə Hiqqs bozon adlandırılan skalyar zərrəcik kəşf edildi [1,2]. Onun kəşfi ilə yüksək enerjili elementar zərrəciklər fizikasında yeni dövr başlandı. Hiqqs bozon neytral zərrəcikdir, kütləsi 125 GeV tərtibindədir, qeyri-stabildir və müxtəlif kanallar üzrə parçalanır. Onun əsas parçalanma kanallarından biri ağır fermion-antifermion cütünə parçalanmasıdır:  $H \Rightarrow f + \bar{f}$ . Hiqqs bozonun parçalanmasında yaranan fermion-antifermion cütü tərəfindən  $\gamma$ -kvant şüalandırıla bilər. Odur ki, Hiqqs bozonun  $H \Rightarrow f + \bar{f} + \gamma$  kanalı üzrə parçalanması mümkünür. Bu işdə Hiqqs bozonun tau lepton cütünə parçalanmasında yaranan  $\gamma$ -kvantın dairəvi polyarlaşması öyrənilmişdir.

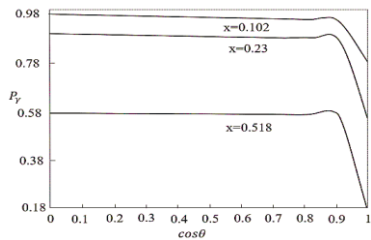
Lepton cütü uzununa,  $\gamma$ -kvant isə dairəvi polyarlaşlığı halda  $H \Rightarrow \tau^- + \tau^+ + \gamma$  parçalanmasının diferensial eni üçün aşağıdakı ifadə alınmışdır:

$$\frac{d\Gamma(\lambda_1, \lambda_2, \gamma)}{dx d(\cos\theta)} = \frac{A_0^2 M_H v}{2^{10} \pi^3 (1-x) (1-v^2 \cos^2 \theta)} \left\{ (1 + \lambda_1 \lambda_2) (1 + x^2) (1 - v^2 \cos^2 \theta) + s_\gamma (\lambda_1 + \lambda_2) (1 - x) [2xv^2 \sin^2 \theta + (1 - x) (1 - v^2 \cos^2 \theta)] \right\} \quad (1)$$

burada  $A_0 = -\frac{2\pi\alpha m_\tau}{M_W \sin\theta_W}$ ,  $\lambda_1$  və  $\lambda_2$  – leptonların spirallıqları,  $s_\gamma = \pm 1 - \gamma$ -kvantın dairəvi polyarlaşması,  $\theta$  – leptonların kütlə mərkəzi sistemində fotonla leptonun impulsları arasındaki bucaq, x- lepton cütünün invariant kütləsi,  $v$  – leptonun sürətidir.

$\tau^-$ - və  $\tau^+$ - lepton cütünün spirallıqları eyni olmalıdır:  $\lambda_1 = \lambda_2 = \pm 1$ . Bu  $H \Rightarrow \tau^- + \tau^+ + \gamma$  parçalanmasında tam momentin saxlanma qanunu ilə əlaqədardır. İkincisi, yalnız uzununa polyarlaşmış lepton və ya antilepton tərəfindən dairəvi polyarlaşmış  $\gamma$ -kvant şüalandırıla bilər.

(1)



*Səkil 1.  $H \Rightarrow \tau^-\tau^+\gamma$  parçalanmasında dairəvi polyarlaşma dərəcəsinin  $\cos\theta$ -dan asillığı ( $\lambda_1 = +1$ )*

düsturundan  $\gamma$ -kvantın dairəvi polyarlaşma dərəcəsini təyin edə bilərik:

$$P_\gamma = \lambda_1 \frac{(1-x)[2xv^2 \sin^2 \theta + (1-x)(1-v^2 \cos^2 \theta)]}{(1+x^2)(1-v^2 \cos^2 \theta)} \quad (2)$$

### Ədəbiyyat

1. ATLAS Collaboration, Phys.Letters, 2012, V .B716, p.1-29
2. CMS Collaboration, Phys. Letters, 2012, V. B.716, p. 30-60

## **PLANETAR DUMANLIQLARIN MƏRKƏZİ ULDUZLARININ TEMPERATURUNUN ONLARIN TƏKAMÜLLƏRİNƏ TƏSİRİ**

**Sadıkh R.F., Alişeva K.İ.\***

*Bakı Dövlət Universiteti*

*Fizika fakültəsi, II kurs (magistrant)*

*ravanasadikhli@yahoo.com*

Bir çox mərkəzi ulduzların spektrinin çox isti olması məlumudur. Planetar dumanlıqların mərkəzi ulduzlarının spektrində layman kontinumunda yerləşən ionlaşmış heliumdan başqa çox geniş karbon və azotun emissiya xətləri vardır. Onların spektri çox isti Wolf-Raye tipli ulduzların spektrindən fərqləndirilmir, amma planetar dumanlığın mərkəzi ulduzu Wolf-Raye tipli obyektlərdən təqribən 100 dəfə zəifdir.

Planetar dumanlıqların mərkəzi ulduzlarının temperaturu Zanstra tərəfindən irəli sürüldən bir metod ilə ionlaşmış helium və hidrogenin dumanlıqdakı emissiya xətlərinin intensivlikləri ilə müəyyən olunur. Ionlaşmış heliumun xəttinin intensivliyi enerjisi 54 eV-dan çox olan fotonların sayı ilə müəyyən olunduğu halda, Hidrogen xətlərinin intensivliyi enerjisi 13.6 eV-dan çox olan fotonlurla bağlıdır. İki qrupdakı fotonların nisbi sayı əsasən temperaturdan asılıdır, çünki ulduzun temperaturu artıqca spektrin maksimumu yüksək enerjiyə tərəf sürüşür. Buna görə də temperatur Hidrogen və Helium xəttlərinin müşahidə olunan güclərindən müəyyən edilə bilir. Cavan planetar dumanlıqların mərkəzi ulduzları, yəni təkamülün ilkin mərhələlərində, nəhəng O və B spektral sinifli ulduzlar kimi istidir, lakin onların işıqlılıqları onlardan təqribən 10 dəfə azdır. Radiusları Günəş radiusu tərtibində olsa da, işıqlılığı Günəşdən 1000 dəfə çoxdur. Dumanlıq genişləndikcə mərkəzi ulduzun işıqlılığı və temperaturu artır, lakin radiusu dayanmadan azalır. İlkin genişlənmədən təqribən 5000 il sonra, Günəşdən təxminən 10.000 dəfə daha parlaq olduqda isə maksimum enerji istehsalına çatır. Bu ulduzun bir neçə milyard il yaşının çox kiçik bir hissəsidir. On isti mərkəzi ulduzun temperaturu 200000K-dən çoxdur və bu qaynar ulduzların temperaturundan beş dəfə çoxdur. Daha sonra ulduz soyumağa başlayır və təxminən 10000 il sonra çox sıx bir ağ cırdan ulduza çevrilir.

Ağ cırdan ulduzlar demək olar ki, bütün enerjilərini termonüvə reaksiyalarından yox, qeyd olunan sıxılmadan almalıdır.

Bu səbəblə, səthlərindəki incə qatdan başqa digər qatlarda demək olar ki, Hidrogen və Helium yoxdur.

**Ədəbiyyat**

1. Planetary nebulae and their central stars — origin and evolution by IckoIbenJr. January 1995
2. The Origin and Evolution of Planetary Nebulae by Sun Kwok 2007
3. The Nebular Spectroscopy: A Guide on Planetary Nebulae - Manuel Peimbert1 and Gloria Delgado-Inglada 2017
4. <https://www.sciencedirect.com/science/article/abs/pii/>
5. <https://iopscience.iop.org/article/10.1086/132607/meta>

## ZƏRRƏCİYİN XARİCİ MAQNİT SAHƏSİNDE HƏRƏKƏTİNİN TƏDQİQİ

**Yusifova A.A., Bəşirov M.M.\***

Bakı Dövlət Universiteti

Fizika fakültəsi, III kurs

aysel.yusifova7@mail.ru

**Açar sözlər:** Günəş küləyi, kvant mexanikası.

Günəş küləyi Günəşdən qopan zərrəciklər selidir. Günəş tacının genişlənməsi nəticəsində zərrəciklərlə bərabər maqnit sahəsi də yayılır. Yüklü zərrəciklər səli olan bu külək Yerin maqnitosferini deformasiya edir, qütb parıltıları yaradır, süni peyklərin, mobil rəbitənin, radioəlaqənin işinə, bioloji obyektlərə təsir edir. Günəş küləyinin tədqiqi və bu səbəbdən zərrəciklərin xarici maqnit sahəsində hərəkətinin öyrənilməsi aktualdır. Günəş küləyində olan bütün prosesləri nəzərə almaqla onun öyrənilməsi çox çətin olardı. Sadəlik üçün aşağıdakı hala baxaq.

Günəş küləyinin maqnit sahəsində yayılmasının kvant-mexaniki tədqiqi. Günəş küləyi proton, elektron, bir qisim alfa zərrəcik və çox cüzi digər elementlərin atomlarından ibarətdir. Bir zərrəciyin-elektronun hərəkətinə baxacaqıq.

Sadəlik üçün:  $\vec{A}: A_x = -yB, A_y = A_z = 0, \text{rot} \vec{A} = \vec{B}$  (1).

Yalnız maqnit sahəsini nəzərə alıraq: skalyar potensial sıfıra bərabərdir,  $\text{div} \vec{A} = 0, \text{eV} = 0$

Z oxunu maqnit sahəsinin induksiyası istiqamətində seçib, zərrəciyin spin maqnit momentinin xarici maqnit sahəsi ilə qarşılıqlı təsirini də nərzəzə alaraq Hamilton operatorunu yazaq:

$$\hat{H} = \frac{1}{2m} \left[ \left( \widehat{P_x} - \frac{eB}{c} \widehat{y} \right)^2 + \widehat{P_y^2} + \widehat{P_z^2} \right] - \frac{\mu}{S} \widehat{S_z} B \quad (2)$$

$$\left\{ \frac{1}{2m} \left[ \left( \widehat{P_x} + \frac{eB}{c} \widehat{y} \right)^2 + \widehat{P_y^2} + \widehat{P_z^2} \right] - \frac{\mu\sigma B}{S} \right\} \psi = E\psi \quad (3)$$

$B \neq B(x, z)$ .  $\mu$ -maqnit momenti,  $\vec{S}$ -spin momentidir. Koordinatlar X və  $P_x$  ilə, Z və  $P_z$  ilə kommutasiya etmir. Bu səbəbdən yaza bilərik:

$$\varphi(\vec{r}) = X(y) \exp \left[ \frac{i}{\hbar} (P_x x + P_z z) \right] \quad (4)$$

$$\widehat{P_y^2} = -\hbar^2 \frac{\partial^2}{\partial y^2} \quad (5)$$

$$X''(y) + \frac{2m}{\hbar^2} \left[ \left( E + \frac{\mu\sigma B}{S} - \frac{P_z^2}{2m} \right) - \frac{m}{2} \omega_H^2 (y - y_0)^2 \right] X(y) = 0 \quad (6)$$

$\omega_H = \frac{|e|B}{mc}$  tsiklik tezlikdir. Aşağıdakı işarələmə ilə

$$y_0 = -\frac{cP_x}{eB} \quad (7) \quad \varepsilon = E + \frac{\mu\sigma B}{S} - \frac{P_z^2}{2m}$$

$$X''(y) + \frac{2m}{\hbar^2} \left[ \varepsilon - \frac{m}{2} \omega_H^2 (y - y_0)^2 \right] X(y) = 0 \quad (8)$$

Məsələ harmonik ossilyator halına gələcək.

$$\epsilon = (n + \frac{1}{2})\hbar \omega_H,$$

Beləliklə xarici maqnit sahəsində hərəkət edən zərrəciyin enerjisi üçün alarıq

$$E = \frac{e\hbar B}{mc}(n + \frac{1}{2}) + \frac{P_z^2}{2m} - \frac{\mu\sigma B}{S} \quad (9)$$

Nəticə: Maqnit induksiyası istiqamətdə zərrəciyin hərəkəti sərbəstdir. İnduksiyaya perpendikulyar müstəvidə zərrəciyin enerji spektri diskretdir. Maqnit sahəsində zərrəciyin hərəkəti tarazlıq ətrafında rəqsi və spin hərəkətlərindən ibarətdir. Günəşdən uzaqlaşdıqca məxsusi firlanma və dreyf hərəkəti enerjiləri irəliləmə hərəkətinə keçə bilər. Zərrəciyin enerjisində maqnit qarşılıqlı təsir rol oynayır.

### **Ədəbiyyat**

1. Faik Sultanmurad oğlu Sadıxov “Kvant mexanikası kursu” İki cilddə Bakı 2002 “Partonal S”, 296 səh.

## ATOM ORBITALS OF NITROGEN ATOM

İsmayılova G.E., Rahimzade S.G.\*<sup>1</sup>, Pashayev F.H.\*

Baku State University

Physics faculty, III course

<sup>1</sup>Institute for Physical Problems

ismayilovagulcahan81@gmail.com

**Key words:** exponential parameter, Slater-type atomic orbitals, shielding parameter.

It is known that, the Schrödinger equation for molecules is solved by approximate methods. The most common of these methods is the molecular orbitals method. According to this method, the state of electron inside a molecule is described by one-electron wave function what is called the molecular orbital. According to MO LCAO method  $U_i(\vec{r})$  molecular orbital is

$$U_i = \sum_{q=1}^m c_{qi} \chi_q$$

$c_{qi}$ - are unknown coefficients that need to be found and these are found by solving the equations of the molecular orbitals method.

As can be seen, in order to know the analytical expression of molecular orbitals, the analytical expression of atomic orbitals must be known.

Currently, Slater functions are used as atomic orbitals. These functions give good results for the first and second period elements. The analytical expression for real Slater functions is as follows:

$$\chi_{nlm}(\xi, \vec{r}) = \frac{(2\xi)^{n+\frac{1}{2}}}{\sqrt{(2n!)}} r^{n-1} e^{-\xi r} S_{lm}(\theta, \varphi)$$

$\xi$ - is called exponential parametr and its value can be calculated based on the Besis formula

$$\gamma_i = \sum_{j \neq 1}^N \left\{ 1 + \left[ \frac{3n_j^2 - l_j(l_j + 1)}{3n_i^2 - l_i(l_i + 1)} \right]^2 \right\}^{-\frac{3}{2}}$$

Based on this formula, let's calculate the values of the  $\xi$  parametr for the N atom. Electron configuration of the N atom is as following:  $1s^2 2s^2 2p^3$ . According to this configuration we use the atomic orbitals of atom N -  $1s$  -,  $2s$  -,  $2p_x$  -,  $2p_y$  -,  $2p_z$  -.

The values of the shielding parameter corresponding to these atomic orbitals can be calculated based on the Besis formula.

$$\gamma_{1s} = 0.45326 \quad \gamma_{2s} = 3.533984 \quad \gamma_{2p} = 2.98932$$

The exponential parameter has expression is related with the shielding parameter;

$$\xi = \frac{Z - \gamma}{n}$$

For atomic orbitals the values of the exponential parameter are;

$$\xi_{1s} = 6.54674 \dots \xi_{2s} = 1.7308 \dots \xi_{2p} = 2.00534$$

Based on these values of  $\xi$ , the following expressions can be obtained for atomic orbitals :

$$\begin{aligned}\chi_{1s}(\xi, \vec{r}) &= \frac{17.1 r e^{-6.54674r}}{\sqrt{\pi}} \\ \chi_{2s}(\xi, \vec{r}) &= \frac{2.58 r e^{-1.73008r}}{\sqrt{\pi}} \\ \chi_{2p_x}(\xi, \vec{r}) &= \frac{6.98 r e^{-2.00534r}}{\sqrt{\pi}} \sin\theta \cos\varphi \\ \chi_{2p_y}(\xi, \vec{r}) &= \frac{6.98 r e^{-2.00534r}}{\sqrt{\pi}} \sin\theta \sin\varphi \\ \chi_{2p_z}(\xi, \vec{r}) &= \frac{6.98 r e^{-2.00534r}}{\sqrt{\pi}} \cos\theta\end{aligned}$$

MO can be constructed using known analytical expressions of atomic orbitals. This allows the theoretical calculation of various parameters of molecules.

#### References:

1. Pashayev F.G., Gasanov A.G. Mathematic methods in atomic and molecular physics.

## İNFAQIRMIZI SEL ÜSULU İLƏ $\alpha$ CMA (Al IV) ULDUZUNUN EFFEKTİV TEMPERATUR VƏ BUCAQ DİAMETRİNİN TƏYİNİ

Hacıyeva R.P., Səmədov Z.A.\*

Bakı Dövlət Universiteti

Fizika fakültəsi, II kurs (magistrant)

Elih77656@gmail.com

İnfaqırmızı sel üsulu ilə ulduzların effektiv temperatur və bucaq diametrlərinin təyini tam selin və infraqırmızı dalğa uzunluğunda monoxromatik şüalanma selinin ölçülüməsinə əsaslanır. Bu kəmiyyətlər, effektiv temperatur və bucaq diametrləri arasında aşağıdakı münasibətlər mövcuddur:

$$F_E = \theta^2/4 \cdot \sigma T_{\text{eff}}^4 \quad (1)$$

$$F_{\lambda} = \theta^2/4 \cdot \varphi(T_{\text{eff}}, g, \lambda) \quad (2)$$

burada  $F_E$  və  $F_{\lambda}$  yerdə ölçülən, uyğun olaraq tam və  $\lambda$ - dalğa uzunluğunda monoxromatik şüalanma selləri,  $\varphi(T_{\text{eff}}, g, \lambda)$ -  $\lambda$ - dalğa uzunluğunda ulduzun şüalandırıldığı şüalanma səli,  $\theta$ - radianlarla bucaq diametri,  $T_{\text{eff}}$ - effektiv temperatur,  $g$ - ulduzun səthində ağırlıq qüvvəsi təcili,  $\sigma$ - Stefan-Bolsman sabitidir.

$$F_E / F_{\lambda} = R$$

işarə edək. (1) və (2) ifadələrinə görə

$$R = \sigma T_{\text{eff}}^4 / \varphi(T_{\text{eff}}, g, \lambda) \quad (3)$$

$\varphi(T_{\text{eff}}, g, \lambda) = \pi F(T_{\text{eff}}, g, \lambda)$  ulduz atmosferləri modelləri əsasında hesablanır.

(3) düsturu vasitəsilə baxılan dalğa uzunluqlarında  $\lg R$ - in nanometrlə qiymətləri hesablanmışdır.  $\lg R$  - in müşahidə və nəzəri qiymətlərinin müqayisə edərək baxılan ulduzun effektiv temperaturlarını  $T_{\text{eff}}$  təyin edirik, sonra (3) ifadəsindən həmin ulduzun bucaq diametrləri  $\theta$  (rad) hesablanır:

$$\theta = \sqrt{4F_E / \sigma T_{\text{eff}}^4}$$

Infaqırmizi sel üsulu ilə  $\alpha$ CMA (Al IV) ulduzunun effektiv temperatur və bucaq diametri təyin edilmişdir.  $T_{\text{eff}} = 9850$  K,  $\theta = 6,03 \cdot 10^{-3}$

### Ədəbiyyat

1. Kurucz, R. Model atmospheres for G, F, A, B and O stars // *Aph.J. Suppl.*, –1979. vol.40, – p.1-340.
2. Kurucz, R.L. CD-ROM №13, ATLAS9 Stellar Atmosphere Programs and 2 km/s grid // Cambridge, Mass.: Smithsonian Astrophys.Obs., –1993.
3. Н.А. Сахибуллин. Методы моделирования в астрофизике Казань. Издательство «Фен» 2003
4. В.В. Соболев. Курс теоретической астрофизики Москва 1975

## SEYFERT QALAKTİKASI NGC 3516-NİN 2017-2021-Cİ İLLƏRDƏ FOTOMETRİK MÜŞAHİDƏSİ

Rəhimli S.R., Hüseynov N.Ə.\*

AMEA N.Tusi adına Şamaxı Astrofizika Rəsədxanasının  
II kurs (magistrant)  
samira.rahimli.97@gmail.com

Amerikan alimi Karl Seyfert 1943-cü ildə Seyfert qalaktikalarını ayrıca bir sinif kimi bəzi xüsusiyyətlərinə görə seçmişdir [1]. Seyfert bu qalaktikaların qeyri adı quruluşa və şüalanma spektrinə malik olmasını göstərdi. Son dövrlərdə aparılmış kosmik və yerüstü müşahidələr NGC 3516 qalaktikasının rentgen və optik oblastda parlaqlığının bir neçə saniyə, bir gecə və daha uzun müddət ərzində dəyişkən olmasını göstərdi [2]. NGC 3516 Seyfert qalaktikasının Hüseynov tərəfindən aparılmış UBVR süzgəclərində müşahidələri zamanı parlaqlığın bir gecə ərzində dəyişməsi və U süzgəcindən R -ə doğru maksimumların baş verme anının gecikməsi effekti aşkar edildi [3]. Biz, Seyfert qalaktikası NGC 3516-nın 2017 -2021-ci illər ərzində BVRİ süzgəclərində fotometrik müşahidələrini aparmışq. Müşahidələr müxtəlif vaxtlarda və müxtəlif intervalla AMEA N.Tusi adına Şamaxı Astrofizika Rəsədxanasının 60 sm-lik teleskopunda quraşdırılmış CCD fotometrdə aparılmışdır. Alınmış müşahidə materialı MAXIM DL program paketi vasitəsilə işlənmişdir. Ölçmələr 4 pixel (8 saniyə) və 7 pixel (13,5 saniyə) diafraqmalarda aparılmışdır. A; C1 və 2; 3 ulduzlarından istifadə edilmiş [4], BVRİ süzgəclərində müxtəlif amplitudlu dəyişmələr aşkar edilmişdir. Müşahidə dövrü ərzində ən böyük dəyişmə 18 iyul 2017 və 16 may 2018 ci il tarixləri aralığından baş vermişdir. Parlaqlığın dəyişməsi BVIC və Rc süzgəclərində uyğun olaraq  $0^m,36$ ;  $0^m,28 \pm 0^m,005$ ;  $0^m,07 \pm 0^m,003$  və  $0^m,04 \pm 0^m,004$  ulduz ölçüsü cəvərində olmuşdur. 28 yanvar 2020 -ci il tarixdən 27 fevral 2020-ci il tarixdək dəyişmənin amplitudu BVIC və Rc süzgəclərində  $0^m,175 \pm 0^m,005$ ;  $0^m,08 \pm 0^m,003$ ;  $0^m,06 \pm 0^m,004$  və  $0^m,04 \pm 0^m,003$  uyğun olaraq tərtibində olmuşdur. Bundan başqa biz NGC 3516 Seyfert qalaktikasında bir gecə ərzində parlaqlığın dəyişməsini yoxlamaq üçün 19 fevral 2017, 9 may 2017 və 24 iyun 2020-ci il tarixlərdə 2 saat və ondan artıq müddətlərdə BVICRC süzgəclərində baş verə biləcək dəyişmələri qeyd etmək lazımdır ki, bu tarixlərində aparılmış fotometrik müşahidələr zamanı BVICRC süzgəclərində  $0^m,02 \div 0^m,03$  ulduz ölçüsündən böyük dəyişmələr müşahidə olunmamışdır.

2017-2021-ci il tarixlərdə BVRIC süzgəclərində alınmış fotometrik nəticələr I tip NGC 3516 Seyfert qalaktikasında fəal fiziki proseslərin getməsini göstərir.

**Ədəbiyyat**

1. Seyfert C., //Nuclear Emission in Spiral Nebulae. Astrophys. Journal, 97, p. 28-40, 1943.
2. Dan Maoz et al. //A Possible 100 Day X-Ray-to-Optical Lag in the Variations of the Seyfert 1 Nucleus NGC 3516. The Astronomical Journal, 2000, 119 119-125.
3. Гусейнов Н.А. //UBVR наблюдения сейфертовской галактики первого типа NGC 3516// Кинематика и физика небесных тел, № 6, стр. 98-101, 2009, Киев.

## KLEYN-FOK-QORDON TƏNLİYİNİN RİNG-ŞAPED POTENSİALI ÜÇÜN ANALİTİK HƏLLİ

Mehdiyeva N.N., Əhmədov A.İ.\*

Bakı Dövlət Universiteti  
Fizika fakültəsi, I kurs (magistrant)  
Nurlanamehdiyeva7@gmail.com

**Açar sözlər:** dalğa tənliyi, dalğa funksiyası, enerji spektri, analitik həll

Ring-Şaped potensialı mərkəzi olmayan potensialdır. Mərkəzi olmayan potensial moleküllerin dinamikası, quruluşu və qarşılıqlı təsirin xassələri barədə mərkəzi potensiallara nəzərən daha çox informasiyaya malikdir və bu potensialları daxil etməklə dalğa tənliklərinin analitik və ədədi həlləri günümüzdə olduqca aktualdır. Rinq-Şaped potensialı kvant kimyasında üzvi molekülləri, məsələn benzin, həmçinin nüvə fizikasında deformasiya olunmuş nüvələri tədqiq edərkən geniş istifadə olunan potensiallardandır.

Bu baxımdan təqdim olunan işdə Kleyn-Fok-Qordon (KFQ) tənliyi Ring-Şaped potensialı üçün orbital kvant ədədinin  $l \neq 0$  qiymətlərində analitik şəkildə həll edilmişdir. Enerji spektri və məxsusi funksiya üçün bütün mümkün olan hallarda analitik ifadələr tapılmışdır. Çünkü belə hallar kvant sistemlərinin rabitəli və davam edən rabitəli hallarının qarşılıqlı təsvirlərini təsvir etmək üçün geniş istifadə olunur.

Sferik koordinatlarda skalyar  $S(r)$  və vektor  $V(r)$  potensialları üçün Kleyn-Fok-Qordon tənliyi aşağıdakı formadadır [1,2]:

$$[-\nabla^2 + (M + S(r, \theta))^2] \psi(r, \theta, \phi) = [E - V(r, \theta)]^2 \psi(r, \theta, \phi) \quad (1)$$

burada  $E$  - nuklon sistemin relyativistik enerjisi,  $M$  - nuklon sistemin kütləsi,  $\theta$  - polyar bucaq,  $\phi$  - azimutal bucaq,  $\hbar$  - isə Plank sabitidir.

Ring-Şaped potensialı aşağıdakı şəkildədir:

$$V(r, \theta) = \frac{\beta'}{r^2 \sin^2 \theta} + \frac{\beta \cos \theta}{r^2 \sin^2 \theta} \quad (2)$$

Stasionar halda  $\psi(r, \theta, \phi)$  dalğa funksiyasını aşağıdakı formada dəyişənlərinə ayrıla bilir:

$$\psi(r, \theta, \phi) = \frac{\chi(r)}{r} Y_{lm}(\theta, \phi) \quad (3)$$

(3) dalğa funksiyasını (2) tənliyində nəzərə alsaq onda alarıq:

$$\chi''(r) + \left[ E^2 - M^2 + 2(MS(r) + EV(r)) + (V^2(r) - S^2(r)) - \frac{\lambda}{r^2} \right] \chi(r) = 0 \quad (4)$$

$$\Theta''(\theta) + \cos \theta \cdot \Theta'(\theta) + \left[ \frac{-2}{\sin^2 \theta} \left( \frac{M+E}{M} (\beta' + \beta \cos \theta) + m^2 \right) + \lambda \right] \Theta(\theta) = 0 \quad (5)$$

Burada  $\lambda$  və  $m$  dəyişənlərə ayırma parametridir. Əvvəlcə (5) azimuthal dalğa tənliyini həll edək. Bu tənliyi Nikiforov-Uvarov metodu ilə həll etmək üçün əvvəlcə onu aşağıdakı formada hiperhəndəsi tənlik formasına gətirmək lazımdır[3]:

$$u'' + \frac{\tilde{\tau}(z)}{\sigma(z)} u' + \frac{\tilde{\sigma}(z)}{\sigma^2(z)} u = 0. \quad (6)$$

Yeni  $z = \cos\theta$  dəyişənini daxil edək. Onda (5) tənliyi aşağıdakı şəkildə olar

$$\Theta''(z) - \frac{2z}{1-z^2} \Theta'(\theta) + \frac{1}{(1-z^2)^2} [\lambda(1-z^2) - m^2 - \gamma(\beta' + \beta z)] \Theta(z) = 0 \quad (7)$$

(7) tənliyini (6) tənliyi ilə müqaisə etsək, onda alarıq:

$$\tilde{\tau}(z) = -2z, \sigma(z) = 1-z^2$$

$$\tilde{\sigma}(z) = -\lambda z^2 - \lambda \beta z + (\lambda - m^2 - \gamma \beta') \quad (8)$$

Nikifarov-Uvarov metodundan istifadə edərək azimuth bucağından asılı olan  $\pi(z)$  funksiyası üçün alarıq:

$$\pi(z) = \pm \sqrt{z^2(\lambda - k) + \gamma \beta z - (\lambda - \gamma \beta' - m^2 - k)} \quad (9)$$

Sabit  $k$  parametri aşağıdakı formada təyin olunur:

$$k_{1,2} = \frac{2\lambda - m^2 - \gamma \beta' - k}{2} \pm \frac{u}{2}, \quad u = \sqrt{(m^2 + \gamma \beta')^2 - \gamma^2 \beta^2} \quad (10)$$

Azimuthal dalğa funksiyasını tapmaq üçün əvvəlcə çəki funksiyasını tapaq:

$$\rho = (1-z)^{B+C} (1+z)^{B-C}. \quad (11)$$

$\phi(z)$  funksiyası isə alarıq:

$$\phi(z) = (1-z)^{(B+C)/2} \cdot (1+z)^{(B-C)/2} \quad (12)$$

Beləliklə  $y_n(z)$  funksiyası üçün alarıq:

$$y_n(z) = C_n (1-z)^{-(B+C)} \cdot (1+z)^{C-B} \frac{d}{dz} [(1-z)^{B+C+N} \cdot (1+z)^{B-C+N}] \quad (13)$$

Yakobi çoxhəndlilərdən istifadə etsək azimuthal dalğa funksiyasını aşağıdakı şəkildə yazmaq olar:

$$\frac{d}{dz} [(1-z)^{B+C+N} \cdot (1+z)^{B-C+N}] = (-1)^N 2^N (1-z)^{B+C} \cdot (1+z)^{B-C} P_N^{(B+C, B-C)}(z) \quad (14)$$

Beləliklə,  $\Theta_n(z)$  funksiyası üçün alarıq:

$$\Theta_n(z) = C_n (1-z)^{(B+C)/2} \cdot (1+z)^{(B-C)/2} P_N^{(B+C, B-C)}(z) \quad (15)$$

$C_N$  normallaşma sabiti normallaşma şərtindən təpilir və aşağıdakı ifadə ilə təyin olunur:

$$C_N = \sqrt{\frac{(2N+2B+1)\Gamma(N+1)\Gamma(N+2B+1)}{2^{2B+1}\Gamma(N+B+C+1)\Gamma(N+B-C+1)}} \quad (16)$$

Enerji spektri isə aşağıdakı analitik ifadə ilə təyin olunur:

$$E_n = M \left[ 1 - \frac{8\beta^2}{[1 + 2n + \sqrt{1 + 4[1 + k - 4M\beta' + \gamma(k + \gamma)]^2}]} \right] \quad (17)$$

Burada

$$\gamma = \sqrt{m^2 + 2\sqrt{2M}\beta'}.$$

### **Ədəbiyyat**

1. Greiner W., Relativistics Quantum Mechanics, 3ed (Berlin, Springer, 2000).
2. Bagrov V. G., Gitman D. M., Exact Solutions of Relativistic Wave Equations (Kluwer Academic Publishers, Dordrecht, 1990).
3. Nikiforov A. F. and Uvarov V. B., Special Functions of Mathematical Physics, ( Basel 1988).

## H $\rightarrow$ f $\bar{f}$ $\gamma$ PARÇALANMASINDA $\gamma$ -KVANTIN XƏTTİ POLYARLAŞMASI

Misirova S.V., Abdullayev S.Q.\*

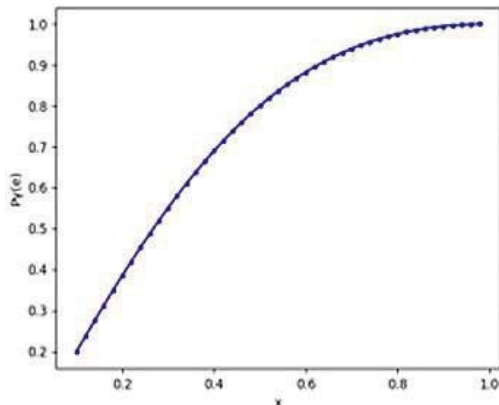
Bakı Dövlət Universiteti  
Fizika fakültəsi, I kurs (magistrant)  
sabinamisirova04@gmail.com

Açar sözlər:  $\gamma$  kvant, fermion cütü, Hiqqs bozon, xətti polyarlaşma

Elementar zərrəciklər fizikasının müasir nəzəriyyəsi  $SU_l(3) \times SU_l(2) \times U_y(1)$  lokal kalibrlnmə nəzəriyyəsinə əsaslanan Standart Modeldir. Bu nəzəriyyənin ən mühüm müddəalarından biri skalyar Hiqqs bozon zərrəciyinin təbiətdə mövcud olmasını əvvəlcədən söyləməsidir. 2012-ci ildə Avropanın nüvə tədqiqatları mərkəzində qurulan Böyük Hadron Kollayderi (BHK) adlanan sürətləndiricidə aparılan təcrübələrdə Hiqqs bozonu aşkarladılar. Bu yeni zərrəcik ATLAS və CMS kollaborasiyaları tərəfindən eyni vaxtda tapılmışdır. { 1.2. }

Skalyar Hiqqs bozon müxtəlif kanallar üzrə parçalanır. Hiqqs bozonun parçalanma kanallarından biri də onun ağır fermion cütünə parçalanmasıdır: H $\rightarrow$ f +  $\bar{f}$ , burada f $\bar{f}$  cütü  $\tau\bar{\tau}$  lepton cütü, c $\bar{c}$  və b $\bar{b}$  kvark cütləri ola bilər. Hiqqs bozonun H $\rightarrow$ f+ $\bar{f}$  parçalanmasında fermion cütü tərəfindən  $\gamma$  kvant şüalandırıla bilər : H $\rightarrow$ f+ $\bar{f}$  +  $\gamma$ .

Fermion cütünün kütlə mərkəzi sistemində ( $\vec{p}_1 + \vec{p}_2 = 0$ ) Hiqqs bozonla  $\gamma$ -kvant eyni impulsə malik olur. Z oxunu  $\gamma$ -kvantin impulsu istiqamətinə yönəldək, onda fermionun çıxış istiqamətini polyar  $\theta$  və azimut  $\phi$  bucaqları ilə müəyyən edə bilərik. Qamma kvantin xətti polyarlaşma vektoru  $\vec{e}$  X və Y oxu istiqamətinə yönəldə bilərik. Bu hallarda H $\rightarrow$ f +  $\bar{f}$  +  $\gamma$  prosesinin diferensial eni aşağıdakı düsturlarla verilir:



$$\frac{d\gamma(\vec{e}_x)}{dxd\Omega} \sim \frac{M_H}{(1-x)(1-v^2 \cos^2 \theta)} [4xv^2 \sin^2 \theta \cos^2 \varphi + (1-x)^2(1-v^2 \cos^2 \theta)]$$

$$\frac{d\gamma(\vec{e}_y)}{dxd\Omega} \sim \frac{M_H}{(1-x)(1-v^2 \cos^2 \theta)} [4xv^2 \sin^2 \theta \sin^2 \varphi + (1-x)^2(1-v^2 \cos^2 \theta)]$$

Burada v-fermionun sürəti, x-fermion cütünün invariant kütləsidir.Qamma kvantın xətti polyarlaşma dərəcəsi

$$P_\gamma(x, \cos \theta) = \frac{2xv^2 \sin^2 \theta \cos 2\varphi}{2xv^2 \cos^2 \theta + (1-x)^2(1-v^2 \cos^2 \theta)}$$

ifadəsi ilə təyin edilir.

Şəkildə  $H \rightarrow \tau^- + \tau^+ + \gamma$  prosesində  $\gamma$ -kvantın xətti polyarlaşma dərəcəsinin x dəyişənindən asılılıq qrafiki verilmişdir.

### **Ədəbiyyat**

1. ATLAS Collaboration, Phys.Letters, 2012, V.B716, p.1-29.
2. CMS Collaboration, Phys.Letters, 2012, V.B716, p.30-60.

## PLANETAR DUMANLIQLARIN DİNAMİK YAŞLARI VƏ MƏRKƏZİ ULDUZLARIN RADİUSLARI

Əsgərova B.E., Əlili A.H.\*

Bakı Dövlət Universiteti

Fizika fakültəsi, IV kurs (bakalavr)

benovshe.esgerova@gmail.com

**Açar sözlər:** planetar dumanlıqlar, dumanlıqların genişlənməsi, dumanlıqların təkamülü, dinamik yaş.

Planetar dumanlıqların yaranması ulduzların böyük eksəriyyətinin təkamülünün bir mərhələsidir. Planetar dumanlıqlar ulduzlararası mühitə maddə daşıyıcısı hesab olunduqlarına görə onların təkamülü hər zaman astrofizikanın aktual məsələlərindən biri sayılır. Belə ki, bu obyektlərin təkamülünün tədqiqi ulduzların, eləcə də, bütövlükdə Qalaktikamızın təkamülü barədə təsəvvürləri formalasdırır.

Planetar dumanlıqların təkamülü birbaşa onların mərkəzi ulduzlarından asılıdır. Belə ki, nəzəriyyəyə görə təkamül müddəti ərzində ( $10^4 \div 10^5$  il) mərkəzi ulduzun radiusu 10 dəfəyədək azalmalıdır. Bu müddət ərzində isə mərkəzi ulduzu əhatə edən qaz örtüyü isə dayanmadan genişlənərək tamamilə yox olmalıdır.

İşdə Layman seriyası sərhəddində optik qalın dumanlıqların dinamik yaşları, eləcə də, mərkəzi ulduzların radiusları hesablanmışdır.

$$R_*^2 \sum_{n=0}^{\infty} e^{-(n+1)x_0} \left[ \frac{x_0^2}{n+1} + \frac{2x_0}{(n+1)^2} + \frac{2}{(n+1)^3} \right] = \frac{1.9 \cdot 10^{14}}{T_*^3} \left[ \frac{E(H_\alpha)}{\nu_{23}} + 2 \frac{E(H_\beta)}{\nu_{24}} + \frac{E(H_\delta)}{\nu_{26}} + \frac{E(H_\gamma)}{\nu_{25}} + \frac{E(H_\varepsilon)}{\nu_{27}} + \frac{E(H_8)}{\nu_{28}} + \frac{E(H_9)}{\nu_{29}} + \frac{E(H_{10})}{\nu_{210}} \right] \quad (1)$$

[1] görə radiuslar hesablanmışdır. Burada  $x_o = \frac{h\nu_o}{kT_*}$ ,  $\nu_o$ -Layman seriyası sərhəddində tezlik,  $T_*$ -dumanlığın mərkəzi ulduzunun temperaturudur. Daha sonra seçilmiş 50-ə yaxın planetar dumanlıqların dinamik yaşları məlum  $d = R/V_{exp}$  ifadəsinə əsasən hesablanmışdır. Burada R-dumanlığın radiusu,  $V_{exp}$ - isə mərkəzi ulduzu əhatə edən qaz örtüyünün genişlənmə sürətidir.

Hesablamalardan mərkəzi ulduzların radiuslarının ( $6 \cdot 10^{-3} \div 10^{-1}$ )  $R_0$  intervalında (burada  $R_0$  – Günəşin radiusudur), dumanlıqların dinamik yaşlarının isə ( $750 \div 6 \cdot 10^4$ ) il intervalında dəyişdiyi məlum olmuşdur. Bundan əlavə hesablanmış radiuslarla dinamik yaş arasında radius kiçildikcə dinamik yaşın artması ilə müşayət olunan asılılıq alınmışdır. Belə ki, ən cavan planetar dumanlığın mərkəzi ulduzunun radiusu və genişlənmə sürəti daha böyükdir. On yaşlı dumanlığın mərkəzi ulduzunun radiusu və genişlənmə sürəti isə daha kiçikdir. Məlumdur ki, dumanlıq təkamül etdikcə onun genişlənmə sürəti azalır. Beləliklə də, planetar dumanlıqların təkamülünə aid verilmiş nəzəriyyənin hesablamalarımızda

öz təsdiqini tapması bir daha mərkəzi ulduzun radiusları üçün alınmış ifadənin düzgünlüğünü təsdiq edir.

### **Ədəbiyyat**

1. К.И.Алышева, Определение важных параметров планетарных туманностей новыми методами. Диссертация на соис.ученой степени кандидата физ.-мат.наук, Баку, 2002, с.122.
2. M. Perinotto and etc. The evolution of planetary nebulae, A&A 414, 993–1015 ESO (2004) DOI: 10.1051/0004-6361:20031653
3. Arsen R. Hajian and etc. An atlas of [NII] and [OIII] images and spectra of planetary nebulae. The Astrophysical Journal Supplement Series, 169:289Y327, 2007

## SƏRT DİVAR MODELİNDE NÜVƏ MÜHİTİ

**Qardaşov A.M., Məmmədov Ş.Ə.\***

Bakı Dövlət Universiteti

Fizika fakültəsi, I kurs (magistrant)

aslanbeyqardasov22@gmail.com

**Açar sözlər:** Holoqrafik QXD, nüvə maddəsi

Sərbəstlik fazasında kvark maddəsinin konfayn-ment mərhələsində nüvə maddəsini təsvir etmək üçün Evklid Eynsteyn-Yanq-Mills təsirini aşağıdakı kimi yazırıq:

$$S = \int d^5x \sqrt{G} \left[ \frac{1}{2k^2} (-\mathcal{R} + 2\Lambda) + \frac{1}{4g^2} \text{Tr} F_{MN} F^{MN} \right] \quad (1)$$

Burada

$$F_{MN} = \partial_M A_N - \partial_N A_M - ig[A_M, A_N], \quad A_M = A_M^a T^a$$

Proton və neytronu təsvir etmək üçün iki rayihəli ( $N_f = 2$ ) hala baxırıq. Adətən, daxili kalibrəmə sahəsinin diaqonal elementlərinin sərhəd qiymətləri  $A_0^0$  və  $A_0^3$  uyğun olaraq kvark və izospin kimyəvi potensialına uyğun müəyyən mənalara malikdirlər. Beləliklə, proton və neytronu təsvir etmək üçün  $A_0^0$  və  $A_0^3$ -i tapmaq kifayətdir. Burada yuxarı və aşağı indekslər fəza-zaman və rayihə qrupunu göstərir. Bu halda, daxili kalibrəmə sahəsinin diaqonal olmayan elementləri kalibrəmə nəzəriyyəsinin mezonlarını təsvir edən fluktuasiyalar kimi hesab etmək olar.  $A_M^u \equiv (A_M^0 + A_M^3)$  və  $A_M^d \equiv (A_M^0 - A_M^3)$  daxil etsək, yeni daxil edilmiş kalibrəmə sahəsinin zaman komponenti u və d kvarkları təsvir edə bilər. Təsirin (1) ifadəsi u və d kvarklar üçün aşağıdakı kimi yazılı bilər:

$$S = \int d^5x \sqrt{G} \left[ \frac{1}{2k^2} (-\mathcal{R} + 2\Lambda) + \frac{1}{16g^2} F_{MN}^u F^{uMN} + \frac{1}{16g^2} F_{MN}^d F^{dMN} \right] \quad (2)$$

Burada, kalibrəmə qrupu  $U(2)$ -dən  $U(1) \times U(1)$ -ə parçalanır və onların sahə gərginlik tensoru Abel qrupu üçün olduğu kimi olur:

$$F_{MN}^\alpha = \partial_M A_N^\alpha - \partial_N A_M^\alpha, \quad \alpha = u, d \quad (3)$$

Onda, Eynsteyn və Maksvel tənlikləri aşağıdakı şəkli alar:

$$\begin{aligned} & \mathcal{R}_{MN} - \frac{1}{2} g_{MN} \mathcal{R} + g_{MN} \Lambda \\ &= \frac{k^2}{4g^2} \sum_{\alpha=u,d} \left[ g^{PQ} F_{MP}^\alpha F_{NQ}^\alpha - \frac{1}{4} g_{MN} F_{PQ}^\alpha F^{\alpha PQ} \right], \\ & \frac{1}{\sqrt{G}} \partial_M \sqrt{G} g^{MP} g^{NQ} F_{PQ}^\alpha = 0. \quad (4) \end{aligned}$$

Bu ifadə iki  $U(1)$  yükə malik olan Eynsteyn-Maksvel nə-zəriyyəsi üçün adı hərəkət tənliyidir. Beləliklə, bu tənliyin ən ümumi həllinin Reissner-Nordström AdS (RNAdS) qara dəlik olduğunu söyləyə bilərik:

$$ds^2 = \frac{R^2}{z^2} \left( f(z) dt^2 + \frac{1}{f(z)} dz^2 + d\vec{x}^2 \right) \quad (5)$$

u və d kvarkları təsvir etmək üçün kalibrəlmə sahəsinin zaman komponentini yalnız z koordinatdan asılı olaraq qəbul edirik:

$$A_0^\alpha = A_\alpha(z), \quad A_i^\alpha = 0 \quad (\alpha = u, d \text{ və } i = 1, 2, 3) \quad (6)$$

Onda, Maksvel tənliyinin həlli aşağıdakı kimi verilir:

$$A_\alpha(z) = i(\mu_\alpha - Q_\alpha z^2) \quad (7)$$

Kalibrəlmə nəzəriyyəsi baxımından  $\mu_\alpha$  və  $Q_\alpha$  kimyəvi po-tensial və u və d kvarkların say sıxlığı kimi baxıla bilər.

### Ədəbiyyat

1. Chanyong Park. Holographic symmetry energy of nuclear matter. / Physics Letters B (2012), p. 325-326
2. B.-H.Lee, S.Mamedov, S.Nam, C.Park. Holographic meson mass splitting in the Nuclear JHEP 08 (2013) 045

## **$e^- e^+$ -TOQQUSMASINDA HİQQS BOZONUN VEKTOR BOZON TƏRƏFİNDƏN ŞÜALANMASI**

**Məsimova D.U., Qocayev M.S.\***

*Bakı Dövlət Universiteti  
Fizika fakültəsi, II kurs (magistrant)  
macidqocayev@bsu.edu.az*

**Açar sözlər:** Standart model (SM), skalyar və vektor bozon, fermion cütü, Vaynberq parametri.

Böyük Adron Kollayderində ATLAS və CMS kollaborasiyaları tərəfindən 2012-ci ildə SM-in öncədən söylədiyi Hiqq s bozon təcrübədə tapıldıqdan sonra bu zərrəciyin müxtəlif yaranma və çevrilmə kanallarının nəzəri öyrənilməsinə maraq xeyli artmışdır.

Ixtiyari polyarlaşmış elektron-pozitron toqquşmalarında skalyar Hiqq s bozon və uzununa polyarlaşmış yüngül fermion cütünün doğulması

$$e^-(p_1, s_1) + e^+(p_2, s_2) \rightarrow (Z^*) \rightarrow H(k) + f(q_1, h_1) + \bar{f}(q_2, h_2), \quad (1)$$

prosesinin (mötərizədə zərrəciklərin müvafiq olaraq 4-ölçülü impulsları və spirallıqlar göstərilmişdir) Hiqq s bozonun vektor bozon tərəfindən şüalanmasına uyğun Feynman diaqramına (şək. 1) uyğun matrisa elementi

$$\begin{aligned} M = i & \left( \frac{e}{2 \sin \theta_w \cos \theta_w} \right)^2 g_{ZZH} D_Z(s) D_Z(xs) \cdot \bar{v}(p_2, s_2) \gamma_\mu \times \\ & \times [g_L(e)(1+\gamma_5) + g_R(e)(1-\gamma_5)] \mu(p_1, s_1) \times \\ & \times \bar{u}(q_1, h_1) \gamma_\mu [g_L(f)(1+\gamma_5) + g_R(f)(1-\gamma_5)] v(q_2, h_2) \end{aligned} \quad (2)$$

şəklində yazılır. Bu matrisa elementi əsasında (1) prosesinin diferensial effektiv kəsiyi üçün aşağıdakı ifadə alınmışdır:

$$\begin{aligned} d\sigma = \frac{N_c}{96\pi} & \left( \frac{\alpha_{QED}}{x_w(1-x_w)} \right)^3 M_z^2 s k_H dE_H |D_Z(s)|^2 |D_Z(xs)|^2 \times \\ & \times [g_L^2(f)(1-h_1)(1+h_2) + g_R^2(f)(1+h_1)(1-h_2)] \times \\ & \times \left\{ [g_L^2(e)(1-\lambda_1)(1+\lambda_2) + g_R^2(e)(1+\lambda_1)(1-\lambda_2)] \times \right. \\ & \times \left. \left( 2x + \frac{k_H^2}{s} \sin^2 \theta \right) - 2g_L(e)g_R(e) \frac{k_H^2}{s} \eta_1 \eta_2 \sin^2 \theta \cos(2\varphi - \Phi) \right\}. \end{aligned} \quad (3)$$

Burada  $\lambda_1$  və  $\lambda_2$  ( $\eta_1$  və  $\eta_2$ ) – elektronun və pozitronun spirallıqları (spin vektorlarının eninə komponentləri),

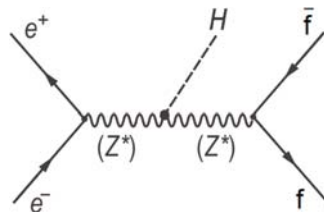
$$g_{ZZH} = \frac{eM_z}{\sin \theta_w \cos \theta_w}$$

- $ZZH$  təpəsinə uyğun əlaqə sabiti,
  - $D_Z(s) = (s - M_Z^2 + iM_Z\Gamma_Z)^{-1}$ ,  $D_Z(xs) = (xs - M_Z^2 + iM_Z\Gamma_Z)^{-1}$ ,
  - $M_Z$  və  $\Gamma_Z$  –  $Z^0$ -bozonun kütləsi və parçalanmasının tam eni,  $s = (p_1 + p_2)^2$
  - k.m.s.-də  $e^-e^+$ -cütünün tam enerjisinin kvadratı,  $g_L(e)$  və  $g_R(e)$  ( $g_L(f)$  və  $g_R(f)$ ) – elektronun (fermionun)  $Z$ -bozonla sol və sağ əlaqə sabitləri:
- $$g_L(e) = -\frac{1}{2} + x_W, \quad g_R(e) = x_W, \quad g_L(f) = I_3(f) - Q_f x_W, \quad g_R(f) = -Q_f x_W, \quad x_W = \sin^2 \theta_W$$
- Vaynberq parametri,  $I_3(f)$  və  $Q_f$  – izospinin üçüncü proyeksiyası və fermionun elektrik yükü,  $\theta$  – Higgs bozonun elektronun impulsuna nəzərən uçuş bucağı,  $N_C$  – rəng vuruğu ( $N_C = 1$  – lepton cütünün doğulmasına,  $N_C = 3$  – kvark cütünün doğulmasına uyğundur),  $x$  – fermion cütünün  $s$  vahidlərində invariant kütləsi:

$$x = \frac{(q_1 + q_2)^2}{s} = 1 - \frac{2E_H}{\sqrt{s}} + \frac{M_H^2}{s}, \quad E_H \text{ və } M_H \text{ – skal-$$

yar } H \text{ bozonun enerjisi və kütləsidir.}

Tədqiqatın növbəti mərhələlərində prosesin effektiv kəsiyinin və poliarizasiya xarakteristikalarının skalar bozonun enerjisindən, uçuş bucağından asılılığı öyrənilmiş, nəticələr qrafik təsvir olunmuşdur.



Şək. 1

## BÖLMƏ II

# MOLEKULYAR FİZİKA VƏ İSTİLİK FİZİKASI

### PENTAPEPTİD FRAQMENİN FƏZA QURULUŞUNUN ÖYRƏNİLMƏSİ

Rəsulova F.N., Abbasova G.C.\*

Bakı Dövlət Universiteti  
Fizika fakültəsi, IV kurs  
abbasova1962@mail.ru

Təbii peptid molekuları yüksək spesifikasiyi, kiçik konsentrasiyalarda belə təsir göstərmək qabiliyyətinə malikdirlər. Bu xassə liqand və ona uyğun reseptorun mütəhərrik konformasiyaları ilə təyin olunur. Qarşılıqlı təsirdə olan molekulların sterik cəhətdən uyğunluğu fəza quruluşunun spesifikasiyi ilə, peptid molekulunun dinamik konformasyalarının xassələri izah olunur. Peptid molekulunun kimyəvi quruluşu və konformasiya xassələri arasında asılılıqlar təyin olunmuşdur ki, bu da peptid molekulunun funksiyalarını öyrənmək üçün zəruridir. Verilmiş işdə tədqiq edilmiş peptid fragmenti lazımi peptidlərdəndir.

Tyr 1 – Ala 2 - Gly 3 – Ala 4 – Val 5 -NHC $\alpha$  fragməntinin optimal konformasiyalarını təyin etmək üçün əvvəlcə Tyr 1 və Val 5-in yan zəncirinin bükülmüş f f f şeypinin R R R R R formasına baxılmışdır. Bu zaman Tyr 1 və Val 5-in yan zəncirinin üç maksimum vəziyyətində R R R R R formalarının doqquz konformasiyası hesablanmışdır. Hesablamalar göstərmişdir ki, Tyr 1 və Val 5 – in bükülmüş yan zəncirin ffff şeypi üçün  $\chi^1=180^\circ$  qiyməti üçün bir konformasiya hesablanmışdır. Əgər trozin və valinin əsas zənciri R formadadırsa, onda Tyr 1 və Val 5 yan zəncirinin ikiüzlü bucaqları  $180^\circ$ -yə yaxın qiymət alır.

Ikinci etapda N-tərəf pentapeptid fragmənetin Tyr 1 və Val 5-in yan zəncirinin optimal vəziyyətlərində e e e e açılmış şeypinə uyğun B B B B B formaları təyin edilmişdir. Burada Tyr 1 və Val 5 yan zəncirlərinin ( $\chi^1=60^\circ$ ,  $180^\circ$  və  $-60^\circ$ ) mümkün qiymətlərində hesablamalar aparmaqla, uyğun kombinasiyalar qurulmuşdur. Hesablamalar göstərmişdir ki, e e e e açılmış şeypin B B B B B formasında Tyr 1 yan zəncirinin  $\chi^1=180^\circ$ , Val 5-in  $\chi^1=-60^\circ$  bucaqlarının qiymətləri energetik cəhətdən daha əlverişlidir. Əgər digər şeyplər üçün tirozinin əsas zənciri B formasındadırsa, deməli  $\chi^1$  bucağının qiyməti  $180^\circ$ -yə yaxındır. Tyr 1 – Ala 2 - Gly 3 – Ala 4 – Val 5 -NHC $\alpha$  pentapeptid fragməntin hesablamaları göstərir ki, əsas zəncirin forma və şeypləri arasında güclü energetik differensasiya baş verir. 0-5 kkal/mol enerji intervalına pentapeptid fragməntin əsas zəncirinin 13 şeypinin 32 forması düşür.

Tyr 1 – Ala 2 - Gly 3 – Ala 4 – Val 5 -NHC $\alpha$  amin turşu qalıqları ardıcılılığı özünəməxsus xüsusiyyətlərə malikdir. Bu fragmənt yan zəncirə malik olmayan

qlisindən, kiçik yan zəncirə malik olan alanılardan ibarətdir. Ardıcılığa daxil olan valinin isə yan zənciri kifayər qədər həcmlidir. Bu amin turşu qalıqlarının bu və ya digər konformasiya verdiyi pay çox böyük deyil. Bununla yanaşı, bu paylar hər hansı konformasiyanın stabillaşməsində çox da mühüm rol oynamır. Amin turşu qalıqları ardıcılığında əsas rolu əsas zəncirlərin qarşılıqlı təsiri oynayır. Qlisin, alinin, valin amin turşu qalıqları effektif stabillaşdırıcı kontaktlar yaradan peptid zəncirin lazımi formalarını qurma xüsusiyyətlərinə malikdir.

### **Ədəbiyyat**

1. Аббасова Г.Д. Теоретический конформационный анализ фрагмента Тир – Ала – Гли – Ала - Вал // Bakı Dövlət Universiteti aspirantlarının və gənc tədqiqatçılarının elmi konfransının materialları. Bakı – 2000, səh.25.

## METAL TƏRKİBLİ NANOHİSSƏCİKLƏRİN MAQNİT XASSƏLƏRİNİN NƏZƏRİ TƏDQİQİ

Abdullayeva S.F., Həsənov A.Q.\*

Bakı Dövlət Universiteti

Fizika fakültəsi, II kurs (magistrant)

subhaneabdullayeva0620@gmail.com

**Açar sözlər:** metal tərkibli nanohissəciklər, maqnit qavrayıcılığı, maqnit xassə, paramaqnit, superparamaqnit.

Hissəciklərin fiziki və kimyəvi xassələrinə təsir edən əsas amillərdən biri ölçünün azaldılması ilə onlarda "səthi" atomların nisbi payının artırılmasıdır. Bunun nəticəsində hissəciyin daxilində və səthində olan atomlar arasında qarşılıqlı təsirin xarakterinin dəyişməsi ilə fiziki-kimyəvi xüsusiyyətlərdə kəskin dəyişiklik baş verir [1]. Həcmi quruluşlu cisimlərdə domenlər bir-birindən domen divarları ilə ayrılır, xarakterik ölçüyə və enerjiyə malik olurlar. Domen divarlarının hərəkəti, əksər hallarda, maqnit sahəsinin əks istiqamətdə dəyişməsinə səbəb olur. Ölçü müəyyən kritik qiymətdən aşağı olduqda hissəcik vahid domen halında olur. Bu vəziyyətdə, maqnitlənmənin dəyişdirilməsi artıq spinlərin fırlanması ilə əlaqəlidir ki, bu da koertsivliyin artmasına səbəb olur. Bu halda istilik fluktuasiyaları spin hərəkətinə daha çox təsir göstərir və sistem superparamaqnit xassə göstərir [2, 3, 4]. Maqnit xassələrində bu cür kəskin dəyişiklik ölçünün müəyyən kritik qiymətə qədər azaldılması və makroskopik materiallara xas olan çoxdomenli maqnit strukturunun tək domenli hala çevrilməsi nəticəsində baş verir.

Hazırda nanohissəciklərin unikal fiziki xüsusiyyətləri intensiv şəkildə öyrənilir. Xüsusilə, göstərilir ki, maqnitlənmə və nanohissəciklərin maqnit doyması həcmi nümunədən kəskin şəkildə fərqlənir. Bu fərqlərə bir sıra qeyri - adı xüsusiyyətləri: mübadilə qarşılıqlı təsirinin kifayət qədər böyük olması, Küri temperaturlarındakı fərqləri, qeyri-adı böyük maqnit effektleri və s. göstərmək olar [5]. Nanohissəciyin maqnit xassəsindən asılı olaraq  $\chi$  maqnit qabiliyyətinin ala biləcəyi qiymətlər cədvəl 1-də verilmişdir:

Cədvəl 1.  $\chi$  maqnit qavrayıcılığının qiymətləri

S/N	Maqnit qavrayıcılığı	Maqnit xassəsi olmayan		Maqnit xassəli	
		Diamaqnit	Paramaqnit	Superparamaqnit	Ferromaqnit
1	$\chi$	$-10^{-3} \div -10^{-6}$	$10^{-6} \div 10^{-3}$	5000	$10^3 \div 10^6$

Dəmir və dəmir oksid nanohissəcikləri üçün müxtəlif ölçülərdə  $\chi$  - nın qiymətlərini hesabladıq. Cədvəl 1-dəki qiymətlərlə müqayisəsindən müəyyən etdi ki, dəmir nanohissəciyinin ölçüləri artdıqca onların maqnit xüsusiyyətlərini xarakterizə edən kəmiyyətlərin qiymətləri də artır, 5 nm-dən kiçik ölçülərdə baxılan nanohissəcklər paramaqnit, 5 nm - dən böyük qiymətərdə isə

özlərini maqnit xassəli materiallar kimi aparırlar. Bu isə nanohissəciyin xassələrinin onun ölçü və formasından asılı olduğunu göstərir.

***Ədəbiyyat***

1. Leeuwen D.A., Ruitenbeek J.M., Jongh L.J., Ceriotti A., Pacchioni G., Haberlen O.D., Rosch N., “Quenching of Magnetic Moments by Ligand-Metal Interactions in Nanosized Magnetic Metal Clusters”, *Phys. Rev. Lett.*, 1994, 73, 10, 1432-1436.
2. Bean C.P., Jacobs I.S., “Magnetic Granulometry and Super-Paramagnetism”, *J. Appl. Phys.*, 1956, 27, 1448-1452.
3. Bean C.P., Livingston J.D., “Superparamagnetism”, *J. Appl. Phys.*, 1959, 30, 120S-129S.
4. Neel L., “Influence of thermal fluctuations on the magnetization of ferromagnetic small particles”, *C.R. Acad. Sci. Paris*, 1949, 228, 664-668.
5. Srajer G., Lewis L.H., Bader S.P., Epstein A.J., Fadley C.S. et al., “Advances in nanomagnetism via X-ray techniques”, *JMMM*, 2006, 307, 1-31.

## HİS-ALA-İLE FRAQMENİN KONFORMASIYA İMKANLARININ TƏDQİQİ

**Quliyeva R.R., Abbasova G.C.\***

*Bakı Dövlət Universiteti  
Fizika fakültəsi, II kurs (magistrant)  
abbasova1962@mail.ru*

Nanobiotexnologiyanın tətbiq sahələrindən biri nanozərrəciklərin köməyi ilə dərman preparatlarının daşınması və diaqnostikası ilə bağlıdır. Dərman maddəsi molekulları ilə yüklənmiş nanozərrəciklər kimyəvi birləşmələri zədələnmiş toxuma və hüceyrələrə, sağlam orqanlara zərər vermədən çatdırır. Dünyada minlərlə dərman preparatları təpilmasına baxmayaraq, hələ də yeni birləşmələr aşkar edilir. Müasir dövrdə xərçəng hüceyrələrinin terapiyasında istifadə edilən birləşmələrin sintez edilməsi zərurəti yaranır. T7 peptidi məhz belə birləşmələrdəndir. His-Ala-İle-Tyr-Pro-Arg-His amin turşu ardıcılılığı transferrin reseptorlarının aktivasiya proseslərində və dərman preparatlarının hüceyrə daxilinə daşınmasında unikal qabiliyyətə malikdir.

His1-Ala2-İle3-Tyr4-Pro5-Arg6-His7 (HAİYPRH) molekulunun fəza quruluşu fraqmentlərlə öyrənilmişdir. İlk önce tripeptid His – Ala – İle fraqmentinin mümkün olan konformasiya imkanları araşdırılmışdır.

Fraqmentin fəza quruluşunu öyrənərkən peptid skeletinin əsas zəncirinin forma və şeyplərini müəyyən etmək lazımdır. Bir amin turşu qalığının konformasiyası verilmiş valent bucaqları və rabitələrin uzunluğu ilə təyin olunur. Əsas zəncirin  $\phi$ ,  $\psi$ ,  $\omega$  ikiüzlü bucaqlarının, yan zəncirin  $\chi$  ikiüzlü bucaqlarının qiymətləri təpilir.

His1-Ala2-İle3 fraqmentin fəza quruluşu histeinin, alaninin və izoleysinin kiçik enerjili konformasiyalara görə öyrənilmişdir. N-tərəf tripeptid fraqmenti üçün əsas zəncirin iki B və R formaları seçilmişdir. Belə ki, bu fraqment üçün B və L formaları bir-birindən fərqlənmir. Histeinin yan zəncirinə  $\chi$  bucaqlarının  $\chi_1 = 60^\circ$  və  $\chi_1 = 180^\circ$  vəziyyətlərində baxılmışdır. Bu vəziyyətdə yan zəncir molekuldan əks tərəfə çevrilir və digər amin turşu qalıqları ilə effektiv qarşılıqlı təsirdə ola bilmir.

His – Ala – İle tripeptid fraqmentinin fəza quruluşunu öyrənərkən 256 variant hesablanmışdır. Tripeptid fraqment üçün hesablanmış konformasiyalardan 0-3 kkal/mol enerji intervalına yalnız 14 konformasiya düşmüşdür. His1-Ala2-İle3 tripeptid fraqmentin əsas zəncirinin forma və şeypləri, eləcə də ümumi və nisbi enerjilərinin qiymətləri cədvəldə göstərmişdir.

Nº	Formalar	Şeyplər	Ümumi enerji	Nisbi enerji (kkal/mol)
1	R <sub>2</sub> BB <sub>1</sub>	fe	-4.79	2.42
2	R <sub>3</sub> BB <sub>1</sub>	fe	-4.88	2.33
3	B <sub>2</sub> BB <sub>1</sub>	ee	-6.02	1.19
4	R <sub>2</sub> RB <sub>1</sub>	ff	-5.97	1.24
5	R <sub>3</sub> RB <sub>1</sub>	ff	-6.00	1.21
6	B <sub>2</sub> RB <sub>1</sub>	ef	-7.21	0.0
7	R <sub>2</sub> BB <sub>2</sub>	fe	-4.49	2.72
8	R <sub>3</sub> BB <sub>2</sub>	fe	-4.53	2.68
9	B <sub>2</sub> BB <sub>2</sub>	ee	-6.67	0.54
10	R <sub>2</sub> RB <sub>2</sub>	ff	-6.06	1.15
11	R <sub>3</sub> RB <sub>2</sub>	ff	-6.09	1.12
12	B <sub>2</sub> RB <sub>2</sub>	ef	-6.81	0.40
13	B <sub>2</sub> RB <sub>3</sub>	ef	-7.04	0.17
14	R <sub>3</sub> RB <sub>3</sub>	ff	-6.10	1.11

### **Ədəbiyyat**

1. Аббасова Г.Д., Алиева И.Н., Омарова А.И., Годжаев Н.М. Пространственная структура и конформационные свойства аналогов пептида CREKA // Известия НАНА (серия физ.-мат. и технических наук), 2010, том XXX, № 5, с.112-120.
2. Аббасова Г.Д., Алиева И.Н., Омарова А.И., Моделирование пространственной структуры и конформационные свойства пептида T7 //“Fizikanın müasir problemləri” V Respublika Elmi Konfransı, 16-17 dekabr, 2011, s.175-177.

## **POLİMER-DUZ-SU İKİFAZALI SİSTEMLƏRİNİN TƏTBİQ İMKANLARI**

**Hüseynli A.C., Həsənova X.T.\***

*Bakı Dövlət Universiteti*

*Fizika fakültəsi, I kurs (magistrant)*

*aytac\_ha@mail.ru*

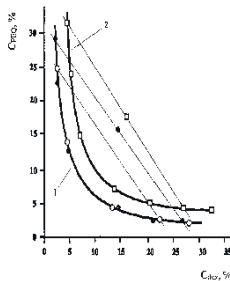
Elə maddələr var ki, hər biri ayrılıqda eyni bir həllədicidə yaxşı həll olduqları halda, həmin həllədicidə bəzən birlikdə həll olmaları çətinləşir və komponentlərin konsentrasiyalarının müəyyən qiymətindən sonra onların birlikdə həllolması mümkün olmur və sistemin digər hissələrindən kəskin sərhədlə ayrılan makroskopik hissə ayrılır. Bu hala fazalara ayrılması deyilir. Bu cür termodinamik uyuşmazlıq nəticəsində sistemdə iki və daha çox faza ola bilər.

Bir-birindən kəskin sərhədlə ayrılan və bir çox xüsusiyyətləri ilə fərqlənən fazaların termodinamik tarzlığı, xarici şərait və daxili parametrlər dəyişməsə dəyişmir. Bu fazaların termodinamik tarzlıq şərti aşağıdakı kimidir;

$$T_1=T_2, \quad P_1=P_2, \quad \mu_1=\mu_2$$

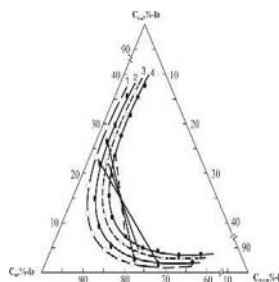
Sistemin fazaları bir-birindən öz həcm ləğətirən komponentlərin və həllədicinin konsentrasiyalarına görə kəskin fərqlənir. Qeyd etmək lazımdır ki, fazaları bir birindən fərqləndirən və ikifazalı sistemlərin geniş tətbiq imkanlarını şərtləndirən ən vacib fərqli xüsusiyyəti onların hidrofobluqlarıdır. Belə ki, fazaların yanaşı mövcud olması və dayanıqlı hali, canlı aləmdə gedən proseslərin modelləşdirilərək öyrənilməsinə imkan verir. Belə ki, çoxkomponentli, çoxfazalı sistemlər olan canlı aləmdə o cümlədən hüceyrədə gedən çoxsaylı və mürəkkəb proseslər, maddələr mübadiləsi və s. proseslərin öyrənilməsi üçün ikifazalı sistemlər model ola bilər. Biomimetika təbiətdə olan sistem və modellərin, makro və nanomiqyaslı problemlərin həlli üçün yeni texnologiyaların hazırlanmasına imkan verir. İkifazalı sistemlərin binodal əyrisi birləşdirici xəttidir. Bu parametrlərin bu və ya digər səbəblərdən dəyişməsi qanuna uyğunluqlarının öyrənilməsinin böyük elmi praktik əhəmiyyəti var.

Şəkil 1-də suyun strukturuna dağıdıcı təsir göstərən karbamidin ikifazalı polimer-duz-su sisteminin əlavələrsiz və 0,25mol/l teokarbamid əlavə edilərək binodal əyrisi verilmişdir.



**Şəkil 1.PEQ--C4O6H4Na2-H<sub>2</sub>O ikifazalı sisteminin hal diaqramları:**  
 1-əlavələrsiz (o), 2 - 0,25 mol/l tiokarbamidlə (•), 3- 0,1mol/l karbamidlə (□)

Polimer-polimer-su ikifazalı sistemlərindən fərqli olaraq polimer-duz-su ikifazalı sistemlərdə temperaturun artması ilə sistemdə fazə əmələgəlmə asanlaşır və komponentlərin daha kiçik qiymətlərində fazalara ayrılma baş verir.



*Şəkil 2. PEQ--C<sub>4</sub>O<sub>6</sub>H<sub>4</sub>Na<sub>2</sub>-H<sub>2</sub>O ikifazalı sisteminin müxtəlif temperaturlarda hal diaqramları:*

1 -  $70^{\circ}C$ ; 2 -  $50^{\circ}C$ ;  
3 -  $30^{\circ}C$ ; 4 -  $10^{\circ}C$ .

Ədəbiyyat

1. Per-Oke Albertson. Разделение клеточных частиц и макромолекул.
  2. Тагер А. А. Физико-химия полимеров. Издательство «Химия», Москва 1968.
  3. Məsimov E.Ə., Paşayev B.G., Həsənov H.Ş., Hüseyinova S.V. Polietilenlikolun (PEQ) sulu məhlulunun struktur xüsusiyyətləri. Bakı Universitetinin Xəbərləri, fizika-riyaziyyat elmləri seriyası, 2007, № 1, s.101-108.
  4. Məsimov E.Ə., H.Ş. Həsənov. Bioloji sistemlərin termodinamikası. Bakı, “Ləman Nəşriyyat Poliqrafiya” 2007.418 c.

## VAL-VAL-ASN-ASP-LEU MOLEKULUNUN OPTİMAL KONFORMASIYALARI

Adigözəlova J.T., Abbasova G.C.\*

Bakı Dövlət Universiteti  
Fizika fakültəsi, IV kurs  
abbasova1962@mail.ru

Təbii peptidlərin və zülalların üçölçülü sturukturunu yaxud fəza quruluşunu bilmək və onların bu quruluşunun əmələ gəlməsi prinsiplərini başa düşmək müasir dövrün aktual mövzularından sayılır.

Val-Val-Asn-Asp-Len təbii peptidin kiçik fragmetidir. Bu soyuqdəymə zamanı əmələ gələn fermentdir.

*C<sup>a</sup> CO – Val 5 – Val 6 – Asn 7 – Asp 8 – Len 9 – OH* C-sonlu pentapeptid molekulunun fəza quruluşu valinin, asparaqinin, asparaqin turşusunun və leysinin aşağı enerjili konformasiyaları əsasında öyrənilmişdir. Valinlər üçün əsas zəncirin R, B, L kimi üç formasına baxılmışdır. Bu formalar yan zəncirlərin  $\chi_1 = 180^\circ$  ikiüzlü bucaqlarının qiymətlərində seçilmiştir. Valinin yan zənciri demək olar ki, digər amin turşu qalıqları ilə qarşılıqlı təsirdə olmur. Asparagin amin turşu qalığına əsas zəncirin R, B, L formalarında baxılmışdır. Bununla yanaşı, yan zəncirin  $\chi_1$  buağının üç mümkün qiymətleri  $60^\circ$ ,  $180^\circ$  və  $-60^\circ$ ,  $\chi_2$  buağının iki mümkün qiymətleri  $90^\circ$  və  $-90^\circ$  seçilmiştir. Asparagin turşusu üçün yan zəncirin ikiüzlü buağının üç mümkün  $60^\circ$ ,  $180^\circ$  və  $-60^\circ$  qiymətlərində üç formasına R, B, L baxılmışdır. Leysin üçün əsas zəncirin üç mümkün forması R, B, L seçilmiştir.

Fragmentin hesablanması feyplərə görə aparılmışdır. Əvvəlcə əsas zəncirin tam yiğilmiş BBBB formalarının konformasiyaları hesablanmışdır. Valinlərin yan zəncirinin  $\chi'_1 = \chi'_2 = 180^\circ$  vəziyyətləri daha əlverişli olmuşdur. Birinci etapda asparagin amin turşusunun yan zəncirinin ikiüzlü buağı  $\chi'_4 = -60^\circ$  qiyməti energetik cəhətdən əlverişli olduğu təyin olunmuşdur. İkinci etapda Asparagin və leysinin yan zəncirlərinin qarşılıqlı təsirlərinə baxılmışdır. Beləliklə, BBBB forması üçün 18 konformasiya hesablanmışdır. Həmçinin, yan zəncirlərin yiğilmiş feyplərinin energetik əlverişli vəziyyətləri müəyyən olunmuşdur. Hesablamaların nəticələri göstərir ki, ən aşağı nəzəri konformasiya B<sub>2</sub>, B<sub>2</sub>, B<sub>2</sub>, B<sub>3</sub>, B<sub>3</sub> konformasiyasıdır. *eeee* feypi üçün əsas zəncirin 10 forması mümkündür. Əsas zəncirin yerdə qalan doqquz forması üçün yan zəncirlərin ikiüzlü bucaqlarının qiymətləri BBBB formasındaki kimi seçilmiştir.

Əsas zəncirin *ffff* feypinin RRRR formalarının konformasiyaları aşağıdakı kimi hesablanmışdır: valinlərin yan zəncirində  $\chi'_1 = \chi'_2 = 180^\circ$  ikiüzlü bucaqların qiymətləri seçilmiştir. Əvvəlcə leysinin yan zəncirinin bir vəziyyətində asparagin və asparagin turşusunun yan zəncirlərinin qarşılıqlı təsirlərinə baxılmışdır. İkinci

etapda yuxarıda qeyd etdiyimiz valin və asparaginin yan zəncirlərinin vəziyyətləri asparagin turşusu və leysinin yan zəncirlərinin qarşılıqlı təsirləri öyrənilmişdir. Hesablamaların nəticələri göstərir ki, əsas zəncirin formaları və konformasiyaları arasında güclü energetik differensasiya baş verir. Əsas zəncirin 105 mümkün formasından 0-5 kkal/mol intervalına əsas zəncirin yalnız 34 forması düşmüşdür.

### **Ədəbiyyat**

1. G.D.Abbasova , N.A.Ahmadov, R.I.Khalilov // Structural and functional organization of subunit 2 C-terminal region of herpes virus ribonucleotide reductase, Eastern Medical Journal, 2000
2. Г.Д.Аббасова, Годжаев Н.М., Н.А.Ахмедов // Структурно-функциональная организация С- концевого участка субъединицы 2- рибонуклеотидредуктазы вируса герпеса, Bakı Universitetinin Xəbərləri, fizika-riyaziyyat elmləri seriyası, 2000.

## SU-BUXAR FAZALARININ TARAZLIQ XƏTTİ BOYUNCA SUYUN ÖZLÜ AXINININ AKTİVLƏŞMƏ PARAMETRLƏRİ

Məmmədova Z.İ., Paşayev B.G.\*

Bakı Dövlət Universiteti

Fizika fakültəsi, I kurs

mammadovazabita@gmail.com

**Açar sözlər:** su, su-buxar fazalarının tarazlıq xətti, özlü axının aktivləşmə parametrləri

Su ( $H_2O$ ) sadə kimyəvi formulaya malik olan maddə olsada, tədqiqatlar göstərir ki, o olduqca mürəkkəb fiziki-kimyəvi xassələrə malikdir. On son tədqiqatlar göstərir ki, su insanın fikirlərini duyur və müəyyən yaddaşa malikdir. Digər mayelərlə müqayisədə suyun əksər xassələri anormaldır. Suyun xassələrinin tədqiqi maraqlı, vacib və aktualdır.

İşdə suyun bir sıra xassələri özlü axının aktivləşmə parametrlərinin dəyişməsinə görə araşdırılmışdır. Qeyd edək ki, özlü axının aktivləşmə parametrləri dedikdə, sistemin özlü axını zamanı yaranan Gibbs sərbəst enerjisinin ( $\Delta G_\eta$ ), entalpiyanın ( $\Delta H_\eta$ ) və entropiyanın dəyişməsi ( $\Delta S_\eta$ ) başa düşülür. Bu parametrlərin təhlili hər hansı xarici təsir (temperatur, təzyiq, konsentrasiya və s.) nəticəsində mayedə yaranan enerji və struktur dəyişmələrini müəyyənləşdirməyə, sulu məhlullarda hidrogen rabitələrinin yaranması və dağıılması haqqında məlumat almağa imkan verir. Özlü axın prosesini xarakterizə edən aktivləşmə parametrləri mayenin axın ( $G_a, H_a, S_a$ ) və ilkin sükünet ( $G_s, H_s, S_s$ ) halindəki uyğun termodynamik parametrlərin fərqi bərabərdir:  $\Delta G_\eta = G_a - G_s$ ,  $\Delta H_\eta = H_a - H_s$ ,  $\Delta S_\eta = S_a - S_s$ . Qeyd edək ki, mayelərdə özlü axının aktivləşmə Gibbs enerjisi verilmiş təzyiq və temperaturda axın zamanı görülən işdir. Özlü axının aktivləşmə entalpiyası axın prosesini enerji baxımından xarakterizə edir, yəni  $\Delta H_\eta$  verilmiş təzyiq və temperaturda suyu axın halına gətirmək üçün sərf olunan tam enerjidir. Özlü axının aktivləşmə entropiyası mayedə yaranan struktur dəyişmələrini xarakterizə edir. Məlumdur ki, maye nə qədər strukturlu olsa entropiya ( $S_s$ ) bir o qədər kiçik olur və axın zamanı dəyişməsi daha böyük olur və əksinə.

İşdə tarazlıq xətti boyunca suyun özlülüyünün və sıxlığının temperaturdan asılılığına əsasən özlü axının aktivləşmə parametrləri hesablanmışdır. Bu parametrlərin hesablanması üsulu işində verilmişdir. Müəyyən olunmuşdur ki, temperaturun artması ilə su-buxar fazalarının tarazlıq xətti boyunca suyun özlü axının aktivləşmə Gibbs enerjisi əvvəlcə azalır, minimumdan keçir və sonra isə artır, özlü axının aktivləşmə entalpiyası və entropiyası isə azalır. Temperatur artdıqca su molekullarının istilik hərəkəti artır, molekullar arşındakı rabitə zəifləyir, suyun axını asanlaşır. Bütün bunlar yekunda temperaturun artması ilə  $\Delta G_\eta^\neq$ -nin qiymətinin azalmasına səbəb olur. Temperaturun artması ilə suyun sükünet halının entalpiyası ( $H_s$ ) və entropiyası ( $S_s$ ) artır.  $\Delta H_\eta > 0$ ,  $\Delta S_\eta > 0$  olması və temperatur artdıqca onların

azalması onu göstərir ki, bütün temperaturlarda  $H_a > H_s$  və  $S_a > S_s$  şərtləri ödənir, lakin temperaturun artması ilə onların fərqi azalır.

### **Ədəbiyyat**

1. Məsimov E.Ə., Həsənov H.Ş., Paşayev B.G. Mayelərin özlülüyü. "Ləman Poliqrafiya MMC", Bakı 2016, 285 s.

## LAKTOFERROKSİN A MOLEKULUNUN N-TƏRƏF TETRAPEPTİD FRAQMENТИNİN NƏZƏRİ KONFORMASIYA ANALİZİ

Nəhmədov İ.Ə., Ağayeva L.N.\*

Bakı Dövlət Universiteti

Fizika fakültəsi, IV kurs

nehmedovibrahim6@gmail.com

**Açar sözlər:** laktferroksin, opioid, fəza quruluşu, konformasiya

Qida maddələrindən alınmış bir sıra ekzogen peptidləri opioidəbənzər xassələrə malikdir. Laktferroksin süddə və az miqdarda öd və göz yaşı kimi ekzokrin mayelərdə mövcud olan qlikoproteindir. O, bir zəncirli polipeptiddən ibarətdir və proteolizə nisbətən davamlıdır. İnsan südü, neytrofillər və inək südündən alınan laktferroksin üçün tam DNT-lərin olduğu bildirildi və rekombinant zülallar istehsal edildi. Belə bir fərziyyə irəli sürülüb ki, özünün dəmir birləşdirmə xüsusiyyətləri sayəsində laktferroksin bağırsaq mukozası tərəfindən dəmirin udulmasında rol oynayır və dəmir tələb edən bakteriyalarda dəmiri saxlayaraq bakteriostatik maddə kimi təsir edir. Bundan əlavə, laktferroksin, böyümə faktoru və bakterisidal maddə kimi dəmirlə əlaqələndirilməyən yollarla hərəkət edə bilər.

Laktferroksin A molekulu Tyr1-Leu2-Gly3-Ser4-Gly5-Tyr6-NH<sub>2</sub> altı aminturşu qalığından ibarətdir. Molekulun fəza quruluşunu öyrənmək üçün sistemin potensial enerjisi qeyri-valent, elektrostatik, torsion qarşılıqlı təsir enerjilərinin və hidrogen rabitəsi enerjisinin cəmi şəklində seçilmişdir.

Laktferroksin A molekulunun fəza quruluşu molekulu fraqmentlərə ayırmaqla öyrənilir. Bunun üçün ilk yaxınlaşmada molekulun N-tərəf tetrapeptid fraqmentinin fəza quruluşu onu əmələ gətirən uyğun aminturşu qalıqlarının stabil konformasiyaları əsasında öyrənilmişdir. Tyr1 aminturşu qalığı üçün əsas zəncirin R, B forması seçilmişdir. Hər formada da  $\chi_1$  bucağının torsion potensiala görə mümkün olan 60°, 180° və -60° vəziyyətlərinə baxılmışdır. Məlum olduğu kimi,  $\chi_2$  bucağının torsion potensiala görə mümkün olan 90° qiyməti,  $\chi_3$  bucağının isə 0° qiyməti seçilmişdir. Leu2 aminturşu qalığı üçün əsas zəncirin aşağıenerjili R, B formalarına baxılmışdır. Hər formada da  $\chi_1$  və  $\chi_2$  bucaqlarının torsion potensiala görə mümkün olan 60°, 180° və -60° qiymətləri seçilmişdir. Gly3 aminturşu qalığı üçün əsas zəncirin mümkün ola bilən R, B, L, P formaları, Ser4 üçün isə əsas zəncirin R, B formaları seçilmişdir.

Hesablamaların nəticələri göstərir ki, şeyplərin, əsas zəncirin formalarının və konformasiyaların enerjilərinə görə kəskin differensiasiya gedir. 0 – 5.0 kkal/mol enerji intervalına mümkün olan 8 şeypə mənsub əsas zəncirin 16 formalarının konformasiyası düşür. Molekulun ən stabil konformasiyası B<sub>2</sub> R<sub>21</sub> R R<sub>32</sub> formasındadır. Bu konformasiyada Tyr1 özündən sonra gələn üç aminturşu qalığı ilə əlverişli qarşılıqlı təsir yaradır. Onların ümumi enerjiyə verdikləri pay (-6.3) kkal/moldur. Leu2 aminturşu qalığının özündən sonra gələn 2 aminturşu qalığı ilə qarşılıqlı təsiri ümumi enerjiyə (-4.6) kkal/mol, Gly3 aminturşu qalığı isə özündən

sonra gələn Ser aminturşu qalığı ilə qarşılıqlı təsiri isə ümumi enerjiyə -1.3 kkal/mol qədər pay verir.

Laktoferroksin A molekulunun N-tərəf tetrapeptid fraqmentinin fəza quruluşunun öyrənilməsi göstərir ki, molekul elə fəza quruluşları yiğimina malik olur ki, o müxtəlif bioloji funksiyaları yerinə yetirə bilər və müxtəlif reseptor molekulları ilə əlaqəyə girə bilər.

### **Ədəbiyyat**

1. Чеснокова Е.А., Сарычева Н.Ю., Дубынин В.А., Каменский А.А. Опиоидные пептиды, получаемые с пищей и их влияние на нервную систему. Успехи физиологических наук, 2015, т. 46, №1, с. 22-46.

## **PEQ-LİMON TURŞUSUNUN Na DUZU-SU İKİFAZALI SİSTEMİNDE FAZƏMƏLƏĞƏLMƏ PROSESİNƏ PEQ-İN MOLEKUL ÇƏKİSİNİN TƏSİRİ**

**Ağazadə S.F., Şahbazova G.M.\***

*Bakı Dövlət Universiteti  
Fizika fakültəsi, II kurs (magistrant)  
sagazade97@gmail.com*

**Açar sözlər:** ikifazalı sistemlər, polietilenqlikol, limon turşusunun natrium duzu

Məlumdur ki, suda həll olan iki polimer qarışığının komponentlərin konsentrasiyalarının müəyyən qiymətlərindən böyük qiymətlərində bir-biri ilə tarazlıqda olan iki fazaya ayrılır [1]. İkifazalı sulu polimer sistemlərinin tədqiqinin aktuallığı onunla əlaqədardır ki, belə sistemlərdə gedən proseslər canlı orqanizmdə gedən proseslərin modeli kimi qəbul oluna bilər. Doğrudan da, sistemin bir-birindən hidrofobluqlarına görə fərqlənən eyni zamanda mövcud olan fazaları arasında bioloji maddələrin paylanmasından araşdırılması orqanizmdə daşınması qanla həyata keçirilən maddələr mübadiləsi mexanizmini başa düşməyə kömək edə bilər. Fazaların çox hissəsini su təşkil etdiyindən belə mühitdə biomakromolekulların konformasiyasını və strukturunu formalasdırıq qarşılıqlı təsirlərin kəmiyyətcə öyrənilməsi çox əhəmiyyətlidir [2,3].

Təqdim olunan işdə PEQ-limon turşusunun Na duzu-su ikifazalı sistemi tədqiq edilmişdir. Belə ki, PEQ-C<sub>6</sub>O<sub>7</sub>H<sub>5</sub>Na<sub>3</sub>-H<sub>2</sub>O ikifazalı sistemində fazalara ayrılma iki müxtəlif strukturlu suyun yaranması hesabına baş verir. Aydındır ki, suyun strukturuna təsir edən istənilən xarici amilin təsiri ilə sistemin hal diaqramının əsas xarakteristikalarının dəyişməsi ilə müşaiyyət olunacaqdır. Belə xarici təsirlərdən biri faza əmələ gətirən komponentlərdən biri olan polimerin molekulyar kütləsi ola bilər.

Təqdim olunan işdə polietilenqlikolun molekul kütləsinin PEQ (1500, 3000, 6000)-C<sub>6</sub>H<sub>5</sub>O<sub>7</sub>Na<sub>3</sub>-H<sub>2</sub>O ikifazalı sisteminin hal diaqramına təsiri öyrənilmişdir. Bu məqsədlə polietilenqlikol (PEQ)- limon turşusunun natrium duzu (kimyəvi təmiz) və bidistillə sudan istifadə olunmuşdur. Bu sistemlərin binodal əyriləri qurulmuş, birləşdirici xəttin meyl bucağı təyin edilmişdir. Təcrübələr nəticəsində müəyyən olunmuşdur ki, PEQ-in molekulyar kütləsi artıqca komponentlərin daha kiçik konsentrasiyalarında fazalara ayrılma prosesi baş verir. Bu faktı belə izah etmək olar ki, polimerin molekulyar kütləsi artıqca onun hidrat təbəqəsindəki su molekullarının sayı artır və sistemdə sərbəst su molekullarının sayı azalır, həllolma çətinləşir, müxtəlif strukturlu suyun fazalara ayrılması baş verir. Yəni sistemin fazalara ayrılması daha asanlıqla baş verir.

**Ədəbiyyat**

2. Albertson P. ... Separation of cell particles and macromolecules. - M.: Mir, 1974, 381 p.
3. Hatti-Kaul R. Aqueous Two-Phase Systems: Methods and Protocols. Berlin: Springer Science & Business Media; 2000.
4. Масимов Э., Аббасов Х., Багиров Т., Гасanova Х., Гурбанов Дж.Т. Структурные особенности двухфазной системы полиэтиленгликоль-  $C_4O_6H_4Na_2-H_2O$ //Журнал Физика Институт Физики НАН Азербайджана, 2007, том 13, № 1-2, с.334-336.

## POLİMER GELLER

Qarayeva Ş.M., Orucov A.K.\*

Bakı Dövlət Universiteti

Fizika fakültəsi, III kurs

semsiyye2001@gmail.com

Polimer gellər təbabətdə, yeyinti və fotoqrafiya sənayesində, təbii və süni sapların istehsalında, rezin məhsullarının alınmasında və texnikanın başqa sahələrində geniş istifadə olunur.

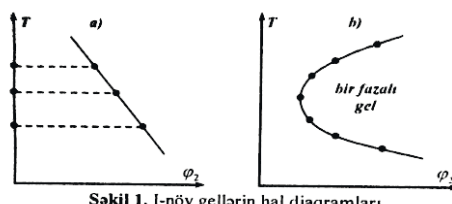
Gel elə sistemdir ki, bu sistemdə makromolekullar **fəza toru** yaradırlar. Kiçik molekullu maye molekulları bu fəza torunda paylanırlar. Belə fəza torları yüksək konsentrasiyalı məhlullarda da yaranır bilər. Gelin məhluldən fərqi ondan ibarətdir ki, məhlulda fəza toru fluktuasiya xarakterinə malikdir, yəni arasıkəsilmədən yaranırlar və yox olurlar. Geldə isə fəza toru dayanıqlıdır, istilik hərəkəti nəticəsində dağılmır. Temperatur dəyişikdə fəza torunda şaxələnmə istiqamətlərində rabitə qırılırsa, onda gel məhlula keçir. Bu prosesə **gelin əriməsi** deyilir. İki növ gel mövcuddur:

**I-növ gel.** Bu növ gel elə polimer-kiçik molekullu maye sistemdir ki, bu sistemdə fəza toru molekullar arasında kimyəvi rabitələrlə yaranır. Bu növ gel qızdırıldıqda müəyyən temperaturda sistem dağılır. Proses dönən deyildir, yəni pozulmuş sistemi soyutduqda gel yaranmır.

**II-növ gel.** Bu növ gel elə polimer sistemdir ki, bu sistemdə fəza toru molekullar arasında müxtəlif təbiətli rabitələrin varlığı ilə yaranır. Müəyyən şəraitdə bu rabitələr dayanıqlıdır, lakin şərait dəyişikdə onlar dağla bilərlər. Bu halda homogen həqiqi məhlul yaranır. Bu proses dönəndir, yəni sistemi başlangıç şəraitə qaytarıldıqda yenidən molekullararası rabitələr yaranır və gel əmələ gəlir.

**I-növ gel** aşağıdakı hallarda əmələ gəlir:

Fəza tor quruluşlu polimerlərin özbaşına şisməsi zamanı, məhlulda üç ölçülü polimerləşmə, həllədicinin iştiraki ilə kimyəvi birləşmə reaksiyası baş verdiyi zaman. I-növ gellərin hal diaqramının tipik nümayəndələri şəkil 1 a) və b)-də göstərildiyi kimiidir.



Şəkil 1. I-növ gellərin hal diaqramları.

Şəkil 1 a)-də düz xəttin hər bir nöqtəsi verilmiş temperaturda tarazlıqda olan bir fazalı gelə uyğundur.

Temperaturun artması ilə tarazlıq halına uyğun gələn  $\varphi_{1\text{tar}}$  artar,  $\varphi_{2\text{tar}}$  isə azalır. I-növ geldə polimer həll olmur, şışir, həlledicinin, yəni kiçik molekullu mayenin molekulları polimerdə paylanır. Odur ki, faza dedikdə həlledicinin fazası başa düşülür. Düz xətdən sağda tarazlıqda olmayan bir fazalı gel əmələ gəlir, yəni polimerə verilmiş temperaturda əlavə maye daxil ola bilər. Belə diaqramlar kiçik molekullu mayenin qaynama temperaturuna qədər müşahidə oluna bilər.

### **Ədəbiyyat**

1. E.A.Məsimov,H.Ş.Həsənov. Mayelərin özlülüyü Ləman Nəşəriyyat Poliqrafiya, 2016, 285 sah.

## **TYR-ALA-GLY MOLEKULUNUN KONFORMASIYA İMKANLARININ TƏDQİQİ**

**Əhmədova A.R., Abbasova G.C.\***

*Bakı Dövlət Universiteti  
Fizika fakültəsi, I kurs (magistrant)  
abbasova1962@mail.ru*

Təbii peptidlərin və zülalların üçölçülü sturukturunu, yaxud fəza quruluşunu bilmək və onların bu quruluşunun əmələ gəlməsi prinsiplərini başa düşmək müasir dövrün aktual mövzularından sayılır. Bioloji molekulların fəza quruluşunu öyrənməklə onların xassələrini, fizioloji xüsusiyyətləri haqqında məlumat vermək olar. Fəza quruluşunu öyrənmək üçün məhz onların konformasiya imkanlarını bilmək lazımlıdır.

Yüksək molekullu peptidlərin konformasiya imkanlarının öyrənilməsində onların hesablamaları məsələləri yalnız hissə-hissə yalnız bir sıra məsələlərin həlli şəklində həll oluna bilər. Belə etaplı yaxınlaşma yaxın, orta və uzaq qarşılıqlı təsirlərə əsaslanır. Bunlara əsasən bir çox fizioloji xassələrinə görə fərqli olan peptid molekullarının düz sturuktur məsələlərinin həllinə gəlib çıxmaq olur. Bütün ardıcılqla fragməntlərin konformasiya imkanlarına baxılmaqla peptidlərin üçölçülü strukturlarını öyrənmək olar.

Kiçik molekullu təbii peptidlər öz konformasiya xassələrinə görə sintetik, daha doğrusu sünü oлиqomerlərdən, eyni zamanda yüksəkmolekullu zülal molekullarından fərqlənir. Sintetik birləşmələr molekulda enerjilərinə görə çox yaxın olan külli miqdarda konformerlərə malikdir. Burda atomların koordinatlarını və ayrı ayrı konformasiyaların qeyri valent qarşılıqlı təsir enerjilərini qiymətləndirmək problemi meydana çıxmır. Bu birləşmələrin düz struktur məsələsi molekulun həndəsi quruluşunu təsvir edən statistik xarakteristikasının yaranmasından ibarətdir. Təbii peptidlər üçün düz struktur məsələsinin həlli bu sinfə aid olan digər struktur funksional quruluşlu molekulların quruluşunu öyrənmək üçün atılan növbəti addımdır. Təbii pepditlərin struktur fonksional təşkilini öyrənmək üçün ilk növbədə düz struktur məsələləri, yəni oлиqopeptidin mümkün olan aşağı konformasiya hallarını müəyyən etmək lazımdır. Seçilmiş üstün olan konformasiyalar oлиqopeptidin fizioloji aktiv funksiyalarını təsvir edir. Növbəti addım oлиqopeptidin quruluşu ilə bioloji təsirləri arasında asılılığıñ təyin edilməsidir.

Tyr-Ala-Gly tripeptid fragməntinin fəza quruluşunu, daha doğrusu konformasiya imkanlarını təyin etmək üçün dipeptid fragməntin konformasiya imkanları tədqiq edilmişdir. Dipeptid fragməntin hesablanması hər bir amin turşu qalığının özündən əvvəlki və özündən sonrakı amin turşu qalıqlarının konformasiyalarını qiymətləndirməyə imkan vermişdir. Tripeptid fragməntin konformasiyaları uyğun monopeptidlərin aşağı enerjili hallarına hesablanmışdır. Sonrakı etapda iki qarışq dipeptidlərin stabil konformasiyaları tədqiq edilmişdir. Burada müəyyən olunmuşdur ki, peptid zəncirin böyüməsi ilə konformasiyalarının enerjiləri arasında

differensasiya baş vermişdir. Yüklenmiş polyar yan zəncirlərin elektrostatik qarşılıqlı təsirləri digər qarşılıqlı təsirli formaları stabillaşdırırlar. Optimal konformasiyaların yaranmasında hidrogen rabitəsi böyük rol oynayır.

### **Ədəbiyyat**

1. Аббасова Г.Д. Теоретический конформационный анализ фрагмента Тир – Алар – Гли – Алар - Вал // Bakı Dövlət Universiteti aspirantlarının və gənc tədqiqatçılarının elmi konfransının materialları. Bakı – 2000, səh.25.
2. Аббасова Г.Д., Алиева И.Н., Омарова А.И., Моделирование пространственной структуры и конформационные свойства пептида T7 //“Fizikanın müasir problemləri” V Respublika Elmi Konfransı, 16-17 dekabr, 2011, s.175-177.

## DURU POLİMER MƏHLULLARININ ÖZLÜLÜYÜ

Cəfərova N.S., Paşayev B.G.\*

Baki Dövlət Universiteti,  
Fizika fakültəsi, II kurs (magistrant)  
ceferovanigar36@gmail.com

**Açar sözlər:** Polimer məhlullarının özülülüyü, özülük əmsalı, duru məhlul.

Polimer məhlullarının özülülüyü ( $\eta$ ), gərginliyin ( $\sigma$ ), maye laylarının bir-birinə nəzərən sürüşmə sürətinin ( $\dot{\gamma}$ ), polimerin molekul kütləsinin ( $M$ ), temperaturun ( $T$ ), təzyiqin ( $p$ ), konsentrasiyanın ( $c$ ), həllədicinin keyfiyyətini və s. funksiyasıdır, yəni  $\eta = f(\sigma, \dot{\gamma}, M, T, p, c)$ , həllədicinin keyfiyyəti və s).

Birinci yaxınlaşmada qəbul etmək olar ki, məhlulun özülülüyü komponentlərin özülüyüünün additiv cəminə bərabərdir:

$$\eta = x_1\eta_1 + x_2\eta_2 \quad (1)$$

burada  $\eta$ ,  $\eta_1$ ,  $\eta_2$  -məhlulun və uyğun komponentlərin özüllük əmsalları,  $x_1$  və  $x_2$  -uyğun komponentlərin məhlulda molyar hissələridir.

Təcrübə göstərir ki, ən ideal məhlullar üçün belə (1) münasibəti özünü doğrultmur. Kiçik molekullu iki mayenin məhlulunun özülüyüünün konsentrasiyadan asılılığı düzxətli yox, əyrixətli olur. Duru və qatı məhlulların axma mexanizmi bir-birindən fərqlənir.

Duru məhlul dedikdə elə məhlul təsəvvür olunur ki, bu məhlulda həllolan maddənin molekülləri praktiki olaraq bir-biri ilə qarşılıqlı təsirdə olmurlar. Təbiidir ki, polimerin molekul kütləsi artdıqca duru məhlul almaq üçün onun konsentrasiyası daha az olmalıdır. Müasir təsəvvürlərə görə duru polimer məhlullarında xətti ölçülü mütəhərrik makromolekul yumaq formasına keçir. Belə bir sual meydana çıxır ki, axma zamanı bu yumaq özünü necə aparır? Bir-birinə zidd olan iki yanaşma mövcuddur.

Birinci yanaşmaya görə yumaqlar elə quruluşa malik olurlar ki, onlardan həllədicinin molekülləri sərbəst keçirlər. Bu onu göstərir ki, mühitin hərəkəti seqmentlərin hərəkətindən asılı deyildir və hər bir seqmentə mühitin göstərdiyi sürtünmə başqa seqmentlərin olub, olmamasından asılı deyil.

İkinci yanaşmaya görə hər bir yumaq müəyyən miqdarda həllədicinin molekullarını udur və onları özləri ilə birlikdə daşıyırlar. Belə yumağa digər həllədici molekülləri daxil olmurlar və onlar özlərini effektiv radiusu  $R_{ef}$  olan sferik zərrəciklər kimi aparırlar. Belə makromolekul yumaqları həllədicinin moleküllərinə nisbətən irəliləmə hərəkəti edə bilərlər. Laminar hərəkətdə sürət qradiyentindən asılı olaraq yumaqlar müxtəlif sürətə malik ola bilərlər. Bu halda yumağa cüt qüvvələr təsir edə bilər ki, bunun nəticəsində makromolekul axında firlana da bilər.

**Ədəbiyyat**

1. Масимов Э.А., Пашаев Б.Г., Раджабов М.Р. Журнал структурной химии, 2020, том 61, № 6, с. 932-939.
2. Məsimov E.Ə., Həsənov H.Ş., Paşayev B.G. "Mayelərin özlülüyü", Bakı, "Ləman Nəşriyyat Poliqrafiya", 2016, 285 s.

## **MOLEKULLARIN FƏZA QURULUŞUNUN ÖYRƏNİLMƏSİ**

**Səfərli A.R., Abbasova G.C.\***

*Bakı Dövlət Universiteti*

*Fizika fakültəsi, I kurs*

*abbasova1962@mail.ru*

Maddənin fiziki xassələri onları təşkil edən molekulların quruluşu ilə əlaqədardır. Daha mürəkkəb, məsələn bioloji molekullarda və polimer molekullarında fiziki xassə təkcə molekulun quruluşu ilə deyil, həm də bu quruluşun dəyişmə imkanlarından asılıdır. Maddənin fiziki xassələri haqqında məlumat əldə etmək üçün onu təşkil edən molekulların quruluşunu öyrənmək mühüm əhəmiyyət kəsb edir. Molekulun quruluşunu onu təşkil edən atomların bir-birinə nəzərən fəzada necə yerləşmələri ilə müəyyən olunur. Ancaq bioloji molekullara gəldikdə isə məsələ bir qədər çətinləşir. Bunun səbəbi bioloji molekulların birqat kimyəvi rabitələrlə bir-birinə birləşmiş çoxlu sayıda atomlardan ibarət olmasıdır. Birqat kimyəvi rabitələr ətrafında firlənmalar mövcud olduğundan, eyni kimyəvi quruluşa malik olan molekul enerjilərinə görə bir-birindən fərqlənən çoxlu sayıda fəza quruluşlarına (konformasiyalara) malik olur.

Biomolekullar organizmdə müxtəlif funksiyalar yerinə yetirirlər. Biomolekulların yerinə yetirdiyi funksiyalar onların fəza quruluşu ilə sıx əlaqədardır. Digər tərəfdən biomolekulların fəza quruluşunu tədqiq etməklə tibbdə bir sıra dərman peraparatlarının hazırlanmasında geniş istifadə olunur. Ona görə də, biofizikada edilən kəşflər elmin bir çox sahələrdə biofizika, molekulyar biologiya, farmakologiya və s. sahələrdə çox böyük maraqla qarşılanır. Çünkü biomolekulların fəza quruluşunu öyrənməklə onların canlı organizmdə yerinə yetirdikləri funksiyalar haqqında geniş məlumat almaq mümkündür.

Molekulun fəza quruluşunun öyrənilməsi onun reaksiya qabiliyyəti haqqında fikir söyləməyə imkan verir.

Peptidlər fəza quruluşuna görə olduqca mürəkkəb molekullardır. Biomolekulların quruluşunu tədqiq etməkdən ötrü bir çox üsullardan istifadə olunur. Bunlara nüvə və elektron paramaqnit rezonansı üsullarını (NPR və EPR), infraqırmızı spektroskopiya və s. göstərmək olar. Bu adlarını çəkdiyimiz üsullar eksperimental üsullardır və bu üsulların əksəriyyəti dolayı, birqiyəməli olmayan məlumat verirlər. Ona görə də polimerlərin və zülalların quruluşlarını tədqiq etməkdən ötrü nəzəri üsullardan geniş istifadə olunur. Bu üsullara misal olaraq nəzəri konformasiya analizi üsulu, Monte -Karlo üsulu, molekulyar dinamika üsulunu göstərmək olar. Molekulun quruluşunu öyrənən nəzəri üsulları iki hissəyə ayırmış olar.

Kvant kimyası üsulu. Kvant kimyası üsulu molekullar mürəkkəb olduqda istifadə oluna bilmir. Bu sahədə edilən bir çox cəhdlərə baxmayarq, peptidlərin tədqiq olunmasında yalnız amin turşularının konformasiyalarını təyin etmək mümkün olmuşdur.

Biomolekulların fəza quruluşunun öyrənilməsində ən çox tətbiq olunan üsul nəzəri konformasiya analizi üsuludur. Bioloji molekulun konformasiya analizini aparmaq, onun ala biləcəyi müxtəlif fəza quruluşlarını (konformasiyalarını) və hər hansı fəza quruluşuna (konformasiyaya) uyğun gələn enerjini təyin etmək deməkdir. Nəzəri konformasiya analizi üsuluna həmçinin atom-atom potensial funksiyalar üsulu, molekulyar mexanika üsulu, yarımempirik qüvvə sahəsi üsulu və.s kimi adlandırırlar.

### **Ədəbiyyat**

1. Аббасова Г.Д., Алиева И.Н., Омарова А.И., Годжаев Н.М. // АМЕА-nın Xəbərləri (fizika-riy. və texnika elm.seriyası), 2010, cild XXX, N.5, s.112-120
2. Аббасова Г.Д., Алиева И.Н., Омарова А.И. // Journal of Qafqaz University, 2013, vol.1, № 1, с.47-54

## MET-CALLATOSTATİN MOLEKULUNUN FƏZA QURULUŞUNUN TƏDQİQİ

**Məmmədova F.M., Vəliyeva L.İ.\***

*Bakı Dövlət Universiteti  
Fizika fakültəsi, II kurs (magistrant)  
faridamamadlee1@gmail.com*

**Açar sözlər:** neyropeptidlər, quruluş, konformasiya analizi,  
peptidlər, molekulyar mexanika.

İşdə atom-atom potensial funksiyaları yaxınlaşmalarından (3-6) istifadə olunaraq molekulyar mexanika üsulu vasitəsi ilə allatostatinlər ailəsinə mənsub olan Met-callatostatin (1,2) neyropeptidinin fəza quruluşu və konformasiya xüsusiyyətləri tədqiq edilmişdir. Tədqiqat işinin mahiyyəti molekulu təşkil edən amin turşu qalıqlarının - monopeptidlərin stabil konformasiyalarının fəzada bütün kombinasiyaları nəzərə alınaraq, onların daxili fırınma bucaqları ətrafında molekulda xüsusiyyətləri tədqiq etməkdir. Hesablamalarda istifadə olunan potensial funksiyalarda su mühitini nəzərə almaq üçün dielektrik nüfuzluğunun qiyməti 10 götürülmüşdür. Tədqiqat nəticəsində Met-callatostatin neyropeptidinin nisbi konformasiya enerjisi 0-10 kkal/mol intervalında olan on kiçikenerjili stabil konformasiyası tapılmışdır. Müəyyən edilmişdir ki, hidrogen rabitələri sisteminin ümumi enerjiyə verdiyi payın az olmasına başmayaraq, bu rabitələr neyropeptidin dayanıqlı stabil quruluşunun yaranmasında və mütbəhriliklərinin azalmasında mühüm rol oynayır.

Qalıqlararası qarşılıqlı təsirlərin ümumi enerjiyə verdiyi payların təhlili nəticəsində o qənaətə gəlmək olar ki, bütün callatostatin molekullarının kiçikenerjili konformasiyalarında dispersiya stabilitəsinin mərkəzi məhz Phe<sup>6</sup> amin turşusu qalığıdır. Alınan nəticələrin tədqiqi görsətdi ki, Tyr<sup>4</sup> və Phe<sup>6</sup> amun turşularının yan zəncirlərinin optimal yerləşməsi aromatik halqalarının paralel oriyentasiyasına uyğun gəlir. Bu zaman onların qeyri-valent qarşılıqlı təsirləri maksimum olub, -6,2 kkal/mol amin turşusunda hidroksil qruplarının oriyentasiyاسını təmin edən  $\chi_3$  bucağı  $0\div 90^\circ$  intervalda ixtiyari qiymət ala bildiyi üçün, molekulun həllədicilər tərəfindən tanınmasını daha əlverişli edir.

Hesablamaların nəticəsindən aydın görünür ki, molekulun kiçikenerjili konformasiyalarının stabillaşməsində qiyməti 80-90 kkal/mol ətrafında dəyişən qeyri-valent qarşılıqlı təsirləri də mühüm rol oynayır.

### **Ədəbiyyat**

1. Duve H., Johnsen A.H., Scott A.G., Thorpe A. "Isolation, identification and functional significance of [Hyp2]Met-callatostatin and des Gly-Pro Met-callatostatin, two further post-translational modifications of the blowfly neuropeptide Met-callatostatin". Regul. Pept., 1995, v.57, N.3, p.237-245
2. Duve H., Johnsen A.H., Scott A.G., Yu C.G., Yagi K.J. "Callatostatins: Neuropeptides from the blowfly Calliphora vomitoria with sequence homology to cockroach allatostatins". Proc. Nat. Acad. Sci. USA, 1993, v.90, p.2456-2460
3. Momany F.A., McGuire R.F., Burgess A.W., Scheraga H.A. Energy parameters in polypeptides: Geometric parameters, partial atomic charges, nonbonded interaction for naturally occurring amino acid // Phys. Chem., 1975, v.79, p.2361-2381
4. IUPAC-IUB Quantity, Units and Symbols in Physical Chemistry, Blackwell Scientific Publications, Oxford, v. 39, 1988
5. Липкинд Г.М., Архипова С.Ф., Попов Е.М. "Теоретическое исследование конформаций N-ацетил-L-аланина в различных средах". Ж. Структ. химии, 1970, т.11, с.121-126.
6. Полозов Р.В. Метод полуэмпирического силового поля в конформационном анализе биополимеров, М., "Наука", 1981, 120 с.

## **1D QURULUŞLU Ag GÜMÜŞ NANONAQİLLƏRİN SİNTEZİ**

**K.M.Həsənov, S.Q.Nuriyeva\***

*Bakı Dövlət Universiteti*

*Fizika Fakültəsi, I kurs (magistrant)*

*hasanovkanan11@gmail.com*

Son zamanlar 1D nanomateriallar özünəməxsus elektrik, termik, mexaniki və optik xüsusiyyətlərinə görə tədqiqatçıların böyük maraq dairəsinə çevrilmişdir[1]. Nəcib metalların (Ag, Au, Pd və Pt) yüksək keçiriciliyə malik nanonaqilləri elektrik, termik, optik qurğular, həmçinin, bir çox keçirici polimer əsaslı nanokompozitlər üçün istehsal olunur. Bütün nəcib metallar arasında gümüşün fərqliliyi, təkcə onun yüksək elektrik və termik keçiriciliyi ilə deyil, həmçinin, polimer kompozitlərdə elektrik və optik xassələrinin artımı ilə də əlaqədardır. Gümüş nanonaqillər adətən diametri 10-200 nm və uzunluğu 5-100  $\mu\text{m}$  aralığında olan bir ölçülü gümüş nanostrukturlarıdır.

Son on ildə nanostrukturları sintez etmək istiqamətdə tədqiqatçıların təklif etdikləri fiziki metodlar əsasən mexaniki pulverizasiya üsuluna əsaslanır[2]. Pulverizasiya prosesində isə aparat çirkəndiyindən yüksək qabiliyyətə malik gümüş nanonaqillər adətən kimyəvi metodlarla sintez olunur. Kimyəvi metodlar üçün prosesin asanlığı, rahat iş prosesi və asan ölçüləndirmə xarakterikdir. Ag nanonaqillərinin kimyəvi alınma metodlarına poliol, fotoreduksiya, solvotermal və s. kimi metodlar daxildir.

Hal-hazırda gümüş nanonaqillərinin hazırlanması üçün müxtəlif sintez üsulları arasında daha az xərc və kütləvi istehsal kimi üstünlükləri ilə poliol metodu əsas üsullardan biridir[3]. Poliol metoddə istifadə edilən prekursorlar arasında etilen qlikol əsasən həllədici və reduksiyaedici maddə, polivinilpirrolidon (PVP) örtük maddə və  $\text{AgNO}_3$  isə gümüş mənbəyi kimi istifadə olunur. Poliol metodu ilə sintezi edilən gümüş nanonaqillərinin parametrlərini prosesdə iştirak edən komponentlərin tərkibini, konsentrasiyasını dəyişməklə, həmçinin, reaksiyanın şəraitini variasiya etməklə tənzimləmək mümkündür. Belə ki,  $\text{AgNO}_3$ -ün konsentrasiyası və reaksiyaya əlavə olunma sürəti onun morfolojiyasına, uzunluq-en nisbətinə və məhsul çıxımına təsir edir. PVP-nin uzun molekulyar zəncirləri Ag hissəciklərinin sonraki aqlomerasiyasının qarşısını alaraq, onların sonraki böyümə sürətini yavaşlaşdırır. Nəticədə kristallaşma mərkəzlərinə doğru Ag hissəcikləri absorbsiya olunaraq bir ölçülü gümüş nanonaqilləri formalaşır[4].

### **Ədəbiyyat**

1. W. J. Liu, M. L. Liu, S. Lin, J. C. Liu, M. Lei, H. Wu, C. Q. Dai, Z. Y. Wei. Synthesis of high quality silver nanowires and their applications in ultrafast photonics. Vol.27, No.12, 10Jun2019. Optics express 16440
2. Yue Shi, Liang He, Qian Deng, Quanxiao Liu, Luhai Li, Wei Wang, Zhiqing Xin, Ruping Liu. Synthesis and Applications of Silver Nanowires for Transparent Conductive Films. Micromachines 2019, 10, 330.
3. Lin Cao, Qin Huang, Jie Cui, Huaijun Lin, Wei Li, Zhidan Lin, Peng Zhang. Rapid and Facile Synthesis of High-Performance Silver Nanowires by a Halide-Mediated, Modified Polyol Method for Transparent Conductive Films. Nanomaterials 2020, 10, 1139.
4. Nekahi, A; Marashi S.P.H.; Davoud, H.F. High yield polyol synthesis of round- and sharp-end silver nanowires with high aspect ratio. Mater. Chem. Phys. 2016, 9, 1–8.

## DEKSTRANIN SULU MƏHLULLARININ STRUKTUR TEMPERATURUNA KOH-İN TƏSİRİ

Əsgərova E.Q., Həsənov A.Ə.\* , Həsənova X.T.\*

Bakı Dövlət Universiteti

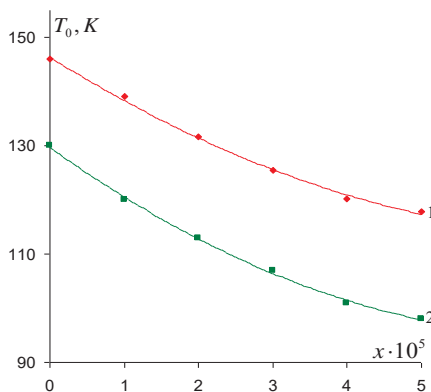
Fizika fakültəsi, II kurs (magistrant)

elnareesgerova98@mail.ru

Dekstranın təbabətdə və neft sənayesində geniş istifadə olunması onun müxtəlif fraksiyalarının sulu məhlullarının fiziki xassələrinin temperaturdan və konsentrasiyadan asılılığının öyrənilməsi zərurətini yaradır. İşdə su-dekstran-KOH sistemlərinin 288.15-323.15 K temperatur və dekstranın 0.00001-0.00005 molyar hissə konsentrasiyası intervalında məhlulun struktur temperaturunun ( $T_0$ ) konsentrasiyadan asılılıqları təhlil olunmuşdur. Qeyd edək ki, işdə dekstranın 70000 molyar kütləli fraksiyasına baxılmışdır və KOH-in konsentrasiyası 0.05 molyar hissə götürülmüşdür.

Təcrübədən alınan nəticələrdən istifadə edərək, tədqiq olunan temperatur və konsentrasiyalarda məhlulun struktur temperaturunun ( $T_0$ ) qiymətləri hesablanmışdır. Bu kəmiyyətlərin konsentrasiyadan asılılıqları təhlil olunmuş və bunlara əsasən məhlulda baş verən struktur xüsusiyyətləri öyrənilmişdir.

Məhlulların özlü axın xassələrinin təhlili onu deməyə imkan verir ki, baxılan bütün konsentrasiya intervalında dekstran həm suyun, həm də su-KOH sisteminin strukturuna dağıdıcı təsir göstərir, KOH-in iştirakı dekstranın dağıdıcı təsirini müəyyən qədər gücləndirir. Bu isə KOH-in struktura göstərdiyi dağıdıcı təsirlə əlaqədardır.



Şəkil 3.5. Su-dekstran-KOH sisteminin struktur temperaturunun dekstranın konsentrasiyasından asılılığı (,).

1- Su-dekstran, 2- Su-dekstran-KOH

### **Ədəbiyyat**

1. Məsimov E.Ə., Həsənov H.Ş., Bioloji sistemlərin termodinamikası. Bakı: "Ləman Nəşriyyat Poliqrafiya" 2007.418 c
2. Məsimov E.Ə., Həsənov H.Ş., Ultrasəs metodu ilə biosistemlərin tədqiqi
3. Məsimov E.Ə., Paşayev B.G., Həsənov H.Ş., Hüseyinova S.V. Polietilenqlikolon (PEQ) sulu məhlulunun struktur xüsusiyyətləri. //Bakı Universitetinin Xəbərləri, fizika-riyaziyyat elmləri seriyası, 2007, № 1, s.101-108
4. Məsimov E.Ə., Paşayev B.G., Həsənov H.Ş., İbrahimov N.Ə. Su-etanol-karbamid sistemlərində özlü axınının aktivləşmə parametrləri və struktur xüsusiyyətləri.//Bakı Universitetinin Xəbərləri, fizika-riyaziyyat elmləri seriyası, 2008, № 1, s.120-125.
5. Məsimov E.Ə., Paşayev B.G., Həsənov H.Ş. Suyun özlü axınının aktivləşmə

## **SU-PEQ-LiOH SİSTEMLƏRİNİN XARAKTERİSTİK ÖZLÜLÜYÜNÜN VƏ HAGGİNS SABİTİNİN TƏYİNİ**

**Mahmudova L.Ə., Paşayev B.G.\***

*Bakı Dövlət Universiteti,  
Fizika fakültəsi I kurs (magistrant)  
lila1\_99@mail.ru*

Xarakteristik özlülük həlledicinin keyfiyyətindən, yəni onun polimerə olan termodinamik hərisliyindən asılıdır. Bu asılılığı ilk dəfə Mark öyrənmişdir. Makromolekulyar yumaq müxtəlif həlledicilərdə müxtəlif cür şisir. Həlledicinin hərisliyi böyük olduqca polimer daha çox şisir, onun ölçüləri böyüyür və nəticədə polimerin xarakteristik özlülüyü  $[\eta]$  daha böyük qiymətlər alır. Haggins sabiti  $k_H$  da həlledicinin təbiətindən asılıdır. Lakin Haggins sabiti  $k_H$  ilə həlledicinin polimerə hərisliyi arasında korrelyasiya yalnız mütəhərrik zəncirli polimerlər üçün müəyyən edilmişdir. Bu halda həlledicinin polimerə hərisliyi böyük olduqda  $k_H$  kiçik olur. Sərt zəncirli polimerlər üçün bu iki kəmiyyət arasında heç bir korelyasiya yoxdur. Bir çox hallarda həlledicinin keyfiyyətinin pisləşdirilməsi (polimerə hərisliyin azadılması) ayrı-ayrı mayeləri seçməklə yox, yaxşı həllediciyə pis həlledici əlavə etməklə əldə olunur. Sistemdə pis həlledicinin miqdarı artdıqca məhlulda polimer yumağı çox sixılır və nəticədə xarakteristik özlülük ( $\eta$ ) kiçik olur. Bəzi sistemlərdə yaxşı həllediciyə əlavə olunan pis həlledicinin konsentrasiyası artdıqca xarakteristik özlülüyünün azalması müşahidə olunur. Lakin bir çox sistemlər üçün  $[\eta]$  və  $k_H$ -in yaxşı həllediciyə əlavə olunan pis həlledicinin konsentrasiyasından asılılığı ekstremal xarakterə malikdir. Xarakteristik özlülük temperatur artlığında bəzi hallarda artır bəzi hallarda isə azalır. Bu dəyişmə həlledicinin polimerə termodinamik hərisliyinin temperatur əmsali ilə və xüsusi halda, sistemin sistemin İkinci virial əmsalının ( $A_2$ ) temperatur əmsali ilə əlaqədardır. Əgər həlledicinin polimerə termodinamik hərisliyi temperatur artdıqca yaxşılaşırsa  $A_2$  artır, polimer yumağı çox şisir və  $[\eta]$  artır. Bu, məhlulun fazalara ayrılmasının yuxarı böhran temperaturunun olduğu sistemlər üçün doğrudur. Bəzən əksinə, temperatur artdıqca polimerə hərislik ( $A_2$ ) və  $[\eta]$  azalır. Bu isə fazalara ayrılmanın aşağı böhran temperaturu olan sistemlər üçün doğru olur.

### **Ədəbiyyat**

1. Масимов Э.А., Пашаев Б.Г., Раджабов М.Р. Определение конформации и размеров макромолекул ПЭГ в системах вода-ПЭГ-НаОН методом вискозиметрии. Журнал физической химии, 2021, том 95, № 1, с. 57-62.

## SUYUN ÖZLÜ AXINININ AKTİVLƏŞMƏ PARAMETRLƏRİNİN TEMPERATURDAN VƏ TƏZYİQDƏN ASILILIĞI

Əliyeva Q.Y., Paşayev B.G.\*

Bakı Dövlət Universiteti  
Fizika fakültəsi I kurs  
egenire2@gmail.com

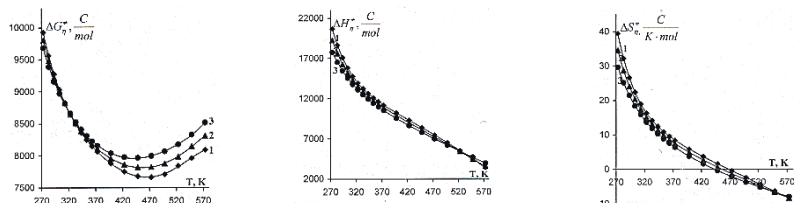
Mayelərin özlülüyü, laminar axın prosesində laylararası molekulların qarşılıqlı təsirləri nəticəsində bir layının qonşu layın axmasına göstərdiyi müqaviməti xarakterizə edir. Mayelərin özlülüyü mayeni təşkil edən molekulların quruluşundan və kimyevi tərkibində asılıdır.

Üç atomlu spirtin-qliserinin, özlülüyü iki atomlu spirtin-etilenqlikolun özlülüyündən 100 dəfədən də çoxdur. Mayelərin özlülüyündə müşahidə olunan bu fərq onların daxili quruluşu haqqında dolğun informasiya almağa imkan vermir. XX əsrin axırlarından (3) məlum olmuşdur ki, özlülüyü

Düsturuna daxil olan və özlü axının aktivləşmə parametrləri adlanan kəmiyyətlərinin hesablanması və alınan nəticələrin təhlili mayenin (və ya məhlulun) strukturunu haqqında informasiya almağa imkan verir.

Qeyd edək ki, mayelərdə özlü axının aktivləşmə Gibbs enerjisi verilmiş təzyiq və temperaturda axın zamanı görülen işdir. Özlü axının aktivləşmə entalpsiya axın prosesini enerji baxımından xarakterizə edir, yəni verilmiş təzyiq və temperaturda suyu axın halına gətirmək üçün sərf olunan tam enerjidir. Məlumdur ki, maye nə qədər strukturlu olsa entropiya ( $S_s$ ) bir o qədər kiçik olur və axın zamanı dəyişmə daha böyük olur və əksinə.

İşdə məqsəd normal atmosfer təzyiqində (273,15-573,15K) temperatur intervalında suyun özlü axının aktivləşmə parametrini təyin etmək və temperaturdan asılılığını təhlil etmək olmuşdur.



Cədvəl 2-dən göründüyü kimi normal atmosfer təzyiqində su üçün özlü axının aktivləşmə parametrləri temperaturun artması ilə azalırlar. Temperatur artıqca su molekulunun istilik hərəkəti artır, molekullar arasında rabiə zəifləyir, suyun axını asanlaşır. Bütün bunlar yekunda temperaturun artması ilə -nin qiymətinin azalmasına səbəb olur. Temperaturun artması ilə  $\Delta G‡$ un sükünət halının entalpiyası ( $H_s$ ) və entropiyası ( $S_s$ ) artır.

$\Delta H_{\eta}^{\neq} > 0$ ,  $\Delta S_{\eta}^{\neq} > 0$  olması və temperatur artıqca onarın azalması onu göstərir ki, bütün temperaturlarda  $H_a > H_s$  və  $S_a > S_s$  şərtləri ödənir, lakin temperaturun artması ilə onların fərqi azalır.

Müxtəlif təzyiqlərdə suyun özlü axının aktivləşmə parametrlərinin temperaturdan asılılıqları şəkil 1,2,3-də göstərilmişdir. Qeyd edək ki, müxtəlif təzyiqlərdə suyun dinamik özlüyünün və sıxlığının temperaturdan asılılığını uyğun olaraq 3-cü işlərdən götürülmüşdür.

Cədvəl 2

Müxtəlif temperaturlarda suyun sıxlığı [2], dinamik özlüyü [2] və özlü axının aktivləşmə parametrlər

T, K	$\rho, \frac{kg}{m^3}$	$\eta, mPa \cdot s \cdot an$	$\Delta G_{\eta}^{\neq}, \frac{C}{mol}$	$\Delta H_{\eta}^{\neq}, \frac{C}{mol}$	$\Delta S_{\eta}^{\neq}, \frac{C}{K \cdot mol}$
273,15	999,80	1,7921	9974	21433	41,95
278,15	999,99	1,5193	9774	20218	37,55
283,15	999,73	1,3073	9597	19154	33,75
288,15	999,13	1,1383	9436	18219	30,48
293,15	998,23	1,0020	9292	17397	27,65
298,15	997,07	0,8902	9160	16672	25,20
303,15	995,67	0,7973	9039	16031	23,06
308,15	994,06	0,7191	8928	15462	21,20
313,15	992,24	0,6527	8826	14954	19,57
318,15	990,25	0,5961	8732	14500	18,13
323,15	988,07	0,5471	8645	14092	16,86
328,15	985,73	0,5044	8563	13722	15,72
333,15	983,24	0,4670	8488	13385	14,70
338,15	980,59	0,4339	8416	13076	13,78
343,15	977,81	0,4046	8349	12791	12,94
348,15	974,89	0,3785	8287	12525	12,17
353,15	971,83	0,3551	8228	12276	11,46
358,15	968,65	0,3341	8172	12040	10,80
363,15	965,34	0,3150	8119	11815	10,18
368,15	961,62	0,2978	8071	11598	9,58
373,15	958,38	0,2821	8023	11388	9,02

### Ədəbiyyat

- Физический энциклопедический словарь. Том. 1, М. 1960, 664 с.
- Краткий справочник физико-химических величин. Под ред. А.А. Равделя и А.М. Пономаревой. Ленинград 1983. с. 111.

## **GÜMÜŞ-GÜMÜŞ SULFİD HİBRİD NANONAQİLLƏRİNİN ALINMASI VƏ BƏZİ FİZİKİ XASSƏLƏRİ**

**Mirsultanova R.M., Hüseynov Ə.H.\***

*Bakı Dövlət Universiteti*

*Fizika fakültəsi, I kurs (magistrant)*

*reyhanmirsultanova@gmail.com*

**Açar sözlər:** gümüş, gümüş sulfid, nanonaqıl, poliol metod

Yarımkeçirici və nəcib metallar əsasında alınmış nanoheterostrukturlar geniş tətbiq imkanlarına malik maraqlı tədqiqat obyektləridir. Gümüş və gümüş sulfid əsasında əldə edilmiş nanoheterostrukturlarda bu strukturların qarşılıqlı təsiri gümüş sulfidin qadağan olunmuş zolağının eninin quruluşunu modulyasiya edə bilər. Eyni zamanda, belə strukturlarda rekombinasiya proseslərinin mexanizmi də dəyişə bilər. Təqdim olunan işdə Ag-Ag<sub>2</sub>S hibrid nanonaqilləri sintez olunmuş və onlar rentgen difraksiyası, Skanedici Elektron Mikroskopu ilə tədqiq edilmişdir.

Gümüş nanonaqilləri daşına bilən elektronik cihazlar üçün əvəzolunmaz və yüksək keçiriciliyə malikdir. Belə ki, bu materialın geniş tətbiq imkanları vardır [1]. Gümüş sulfidin bu elastik xüsusiyyəti, mexaniki cəhətdən möhkəm və çevik kontaktların hazırlanmasına kömək edə bilər.

Bu işdə gümüş-gümüş sulfid hibrid nanonaqillərinin alınması və onun bəzi xassələrinin öyrənilməsinə baxılmışdır [2]. Gümüş nanonaqilləri əsasən poliol metodu [3] ilə hazırlanır. Bəzən də sintez üçün bu metodun müxtəlif modifikasiyaları istifadə olunur. Poliol üsul ilə alınmış gümüş nanonaqilləri tərkibində sulfid ionları olan məhlula yerləşdirildikdə, sulfid ionları gümüş nanonaqillərinin səthində doğru diffuziya prosesi nəticəsində irəliləyir və bu zaman sulfid ionları gümüş nanonaqilləri ilə reaksiyaya girərək, onların səthində gümüş sulfid təbəqəsi əmələ gətirir. Sulfid ionlarının diametri PVP molekulunda olan məsamələrin ölçüsündən kiçik olduğundan onlar asanlıqla PVP təbəqəsindən diffuziya edərək gümüş nanonaqılı ilə təmasda olur və nəticədə Ag-Ag<sub>2</sub>S hibrid nanonaqilləri alınır. Ag-Ag<sub>2</sub>S hibrid nanonaqillərinin morfolojiyası Skanedici Elektron Mikroskopu(SEM) ilə öyrənilmişdir. SEM analizinin nəticələri göstərmışdır ki, Ag-Ag<sub>2</sub>S hibrid nanonaqillərinin diametri ilkin təmiz Ag nanonaqillərinin diametrindən böyükdür. Bu da onu göstərir ki, təmiz Ag nanonaqillərinin səthində digər təbəqə Ag<sub>2</sub>S yetişdirilmişdir. Alınan hibrid nanoheterostrukturların quruluşu rentgen difraksiyası, kimyəvi tərkibi isə EDAX analizi vasitəsi ilə öyrənilmişdir. Analizin nəticələri səthdə Ag<sub>2</sub>S təbəqəsinin formalasdığıını təsdiq etmişdir. Ag<sub>2</sub>S təbəqəsinin qalınlığı dəyişdikcə formalasan yarımkəcirici strukturun qadağan olunmuş zonasının eni də dəyişir. Bu da fotokataliz prosesinin effektivliyinin artmasına səbəb olur. Beləliklə, təqdim olunan işdə göstərilmişdir ki, sulfidləşdirmə vasitəsi ilə asan üsulla Ag-Ag<sub>2</sub>S hibrid nanonaqillərinin alınması mümkündür.

**Ədəbiyyat**

1. X. Shi, H. Chen, F. Hao, R. Liu, T. Wang, P. Qiu, U. Burkhardt, Y. Grin, L. Chen, Nat. Mater., 2018, **17**, 421
2. M. Pnag, J. Hu, H.C. Zeng, J. Am. Chem. Soc., 2010, 132, 10771.
3. Z. Niu, F. Cui, E. Kuttner, C. Xie, H. Chen, Y. Sun, A. Dehestani, K. Schierle-Arndt, P.Yang, Nano Lett., 2018, 18, 5329.

## **PEPTİD MOLEKULLARININ STRUKTUR TƏŞKİLİ**

**Əzimova L.Ü., Abbasova G.C.\***

*Bakı Dövlət Universiteti*

*Fizika fakültəsi, I kurs*

*abbasova1962@mail.ru*

Təbii peptid molekuları yüksək spesifikliyi, kiçik konsentrasiyalarda belə təsir göstərmək qabiliyyətinə malikdirlər. Bu xassə liqand və ona uyğun reseptorun mütəhərrik konformasiyaları ilə təyin olunur. Qarşılıqlı təsirdə olan molekulların sferik cəhətdən uyğunluğu fəza quruluşunun spesifikliyi ilə, peptid molekulunun dinamik konformasyalarının xassələri izah olunur. Peptid molekulunun kimyəvi quruluşu və konformasiya xassələri arasında asılılıqlar təyin olunmuşdur ki, bu da peptid molekulunun funksiyalarını öyrənmək üçün zəruridir.

Peptid molekullarının məhlulda fəza quruluşlarının fiziki-kimyəvi üsullarla təyin edilməsində istifadə edilən müasir interpretasiya imkanları məsələnin həllini həyata keçirə bilmir. Daha etibarlı üsul rentgenstruktur analiz üsuludur. Bu üsulla da molekulun fəza quruluşunu öyrənmək üçün bəzi çətinliklər yaranır. Bu çətinlik kiçik molekullu peptidlərin çox az kristallaşma qabiliyyətinə malik olmasındadır. Oliqopeptidləri rentgen struktur analizi üsulu ilə tədqiq etmək sadə üzvi molekulları tədqiq etməkdən daha çətindir. İndiyə qədər rentgen struktur analizi ilə daha sadə təbii və səni makromolekullar tədqiq edilmişdir.

Diffuziyanın sürəti həlledicinin molekullarının nazik membranlardan keçərək molekulyar quruluşu dəyişməyə imlan verir. Lakin diffuziyanın sürətini kifayət qədər dəyişməklə molekulların fəza quruluşu haqqında nəticə əldə etməyə şərait yaratmir. Maqnit nüvə rezonansı və spektroskopiya üsulu nəinki molekulların müxtəlif funksional qruplarındakı elektrik yüklerinin paylanması analiz etməyə imkan verir, hətta fəza quruluşundakı bəzi detalları üzə çıxarır.

Optik fırlanma dispersiyası və dairəvi dixroizm üsulları peptidlərin fəza quruluşlarının dəyişməsinə daha həssasdır. Ona görə də bu üsullar daha geniş tətbiq olunur.

NH qruplarının hidrogen rabitəsində iştirakı ilə peptidin digər həlledicilərdə infraqırmızı spektrlərinin öyrənilməsi molekullar daxilində hidrogen rabitəsinin qurulmasına istifadə edilə bilər.

Maqnit nüvə rezonansı spektroskopiya peptidlərin fəza quruluşu haqqında kifayət qədər məlumat verir. Maqnit nüvə rezonansı spektrinin ümumi görünüşü peptidin mümkün olan konformerlərinin sayı haqqında məlumat verir, həmçinin onların həndəsi quruluşu, daha doğrusu simmetriyasını aşkar etmək olar. Prinsipcə maqnit nüvə rezonansı üsulunun köməyi ilə əsas və yan zəncirin ikiüzlü bucaqlarını təyin etmək olar. Belə ki, peptid molekullarının fəza quruluşlarının təyinində bəzi çətinliklər meydana çıxır. Bu ikiüzlü bucaqlardan asılı olan sabitlərin periodikliyindən ibarətdir. Sabitin verilmiş qiymətinə ikiüzlü bucağın bir neçə qiyməti uyğun gələ bilər.

Peptid molekullarının strukturunu tədqiq etmək üçün ilk növbədə sərbəst amin turşu qalıqlarında atomlar arasındaki qarşılıqlı təsir qüvvələrinin rolunu təyin etmək lazımdır. Amin turşu qalıqlarının konformasiya imkanları oliqopeptidlərin fəza quruluşlarının öyrənilməsində əsas rol oynayır.

### **Ədəbiyyat**

1. Попов Е.М. Подход к решению проблемы структурно-функциональной организации природных пептидов //Молекуляр.биология. - 1985. - Т.19. I С.1107-1138.

## NƏZƏRİ KONFORMASİYA ANALİZİ ÜSULU

**Qədəşova F.M., Abbasova G.C.\***

*Bakı Dövlət Universiteti*

*Fizika fakültəsi, I kurs*

*abbasova1962@mail.ru*

Biomolekulların fəza quruluşunun öyrənilməsində ən çox tətbiq olunan üsul nəzəri konformasiya analizi üsuludur. Bioloji molekulun konformasiya analizini aparmaq, onunala biləcəyi müxtəlif fəza quruluşlarını (konformasiyalarını) və hər hansı fəza quruluşuna (konformasiyaya) uyğun gələn enerjini təyin etmək deməkdir. Nəzəri konformasiya analizi üsuluna həmçinin atom-atom potensial funksiyalar üsulu, molekulyar mexanika üsulu, yarımempirik qüvvə sahəsi üsulu və.s kimi adlandırırlar. Qeyd etmək lazımdır ki, nəzəri konformasiya analizi üsulu molekulun mexaniki modelinə əsaslanmışdır. Bu üsulun köməyi ilə molekulların həndəsi parametrlərini, qarşılıqlı təsir enerjilərini, atomlar arasında yaranan hidrogen rabitələri və onların enerjiləri haqqında dəqiq məlumat almaq olar.

Nəzəri konformasiya analizi üsulu aşağıdakı bəndlərlə xarakterizə olunan atomun mexaniki modelinə əsaslanır:

1. Molekul, bir-biri ilə qarşılıqlı təsirdə olan sərt rabitə ilə bağlı atomlar sistemi kimi qəbul edilir;
2. Valent rabitəsində olmayan atomların molekuldaxili qarşılıqlı təsirləri mərkəzi xarakter daşıyır;
3. Hər bir atom üçün uideal valent bucaqları mövcuddur, yəni hər bir atomun mərkəzindən qeyri-valent qarşılıqlı təsir olmadıqda mövcud olan istiqamətə uyğun valent xətləri keçirmək olar.
4. Valent bucaqlarının ideal qiymətlərdən kənara çıxmaları böyük enerji sərfi tələb edir.

Peptid molekulunda mövcud olan müxtəlif növ molekullararsı qarşılıqlı təsirləri (bura qeyri-valent, elektrostatik, torsion və hidrogen rabitələri daxildir) və onların atomlararası məsafədən asılılıqları nəzərdən keçirilir.

Nəzəri konformasiya analizi üsulundə biomolekulun fəza quruluşunu tədqiq etmək üçün molekul kiçik fragmənlərə bölünməlidir (di-, tri-, tetrapeptidlərə). Bəzən fragmənt özü böyük əhəmiyyət kəsb edir. Çünkü o molekula xas bütün xüsusiyyətləri özündə saxlıya bilər. Biz əvvəlcə ayrı-ayrı fragmənlərin həndəsi və enerji parametrlərini öyrənməliyik, daha sonra isə üst-üstə düşən hissələr əsasında bütöv molekulun fəza quruluşunu tədqiq etməliyik.

Nəzəri konformasiya analizi üsulundə atomların qeyri-valent qarşılıqlı təsirləri Skott və Şeraqanın parametrlər sistemindən istifadə edilməklə Lennard-Consun potensialı vasitəsilə verilir:

$$U_{q-v} = -A r_{ij}^{-6} + B r_{ij}^{-12}$$

burada  $r_{ij}$ - i və j aromları arasındaki məsafədir, A və B isə qarşılıqlı təsirdə iştirak edən i və j atomlarının növündən asılı olan parametrlərdir. Qarşılıqlı təsir potensialı üçün müxtəlif parametrlər toplusu mövcuddur və bu parametrlərin qiyməti, əsasən, müxtəlif təcrübi nəticələrdən (spektral, kalorimetrik, kristalloqrafik) və kvant-kimyəvi hesadlamalardan asılı olaraq seçilir.

### **Ədəbiyyat**

1. Biofizika, v.50, N 2, 2005, p.203-14
2. Biofizika, v.50, N 3, 2005, p.404-12
3. Qocayev.N.M., Molekulyar fizika/Bakı: 2010
4. Məsimov E.A., Maddə quruluşu/Bakı: 2011

## SU-SAXAROZA SİSTEMİNİN STRUKTUR XÜSUSİYYƏTLƏRİ

Balakişiyeva M.D., Paşayev B.G.\*

Bakı Dövlət Universiteti

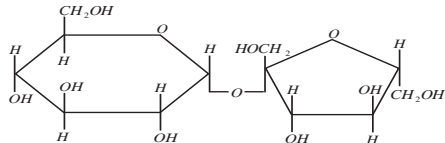
Fizika fakültəsi, II kurs

Mesumebalakisiyeva7@gmail.com

**Açar sözlər:** Saxaroza, özlü axının aktivləşmə parametrləri, struktur temperaturu, hidrogen rabitəsinin enerjisi.

İşdə saxarozanın sulu məhlulunun viskozimetr, piknometr və İQ spektrometr metodları ilə 293,15-323,15 K temperatur və 0-60% kütlə payı konsentrasiya intervalında struktur xüsusiyyətləri araşdırılmışdır. Təcrübə nəticələrdən istifadə edərək tədqiq olunan sistemin baxılan temperatur və konsentrasiyalarda özlü axının aktivləşmə parametrləri, struktur temperaturu, su molekülləri arasındakı hidrogen rabitəsinin enerjisi və uzunluğu hesablanmışdır və bu parametrlərin konsentrasiyadan asılılıqları təhlil olunmuşdur. Alınan nəticələrin təhlili göstərir ki, saxarozanın konsentrasiyasının artması ilə məhlul daha strukturlaşmış hala keçir.

Saxaroza ( $C_{12}H_{22}O_{11}$ ) molekulu iki monosaxariddən-altıüzlü tsiklik qlükozanın  $\alpha$ -formasından və beşüzlü fruktozanın  $\beta$ -formasından təşkil olunmuşdur. Onlar arasındaki rabitə hidroksid qrupları vasitəsilə yaranır (şəkil 1) [1].



### Ədəbiyyat

1. Məsimov, Həsənov H.Ş., "Bioloji sistemlərin termodinamikası", Bakı, 2007, 411 s.
2. Məsimov E.Ə., Paşayev B.G., Həsənov H.Ş. Suyun özlü axının aktivləşmə parametrlərinin temperaturdan və təzyiqdən asılılığı. Bakı Universitetinin Xəbərləri, fizika-riyaziyyat elmləri seriyası, 2010, № 3, s.109-116.

## BÖLMƏ III

### BƏRK CİSİMLƏR FİZİKASI

**İŞIQDA VƏ QARANLIQDA Pd<sub>2</sub>Si/n-Si ŞOTTKİ DİODU  
AC-KEÇİRİCİLİYİNİN ( $\sigma_{ac}$ ) GƏRGİNLİKDƏN ASILILIĞI**

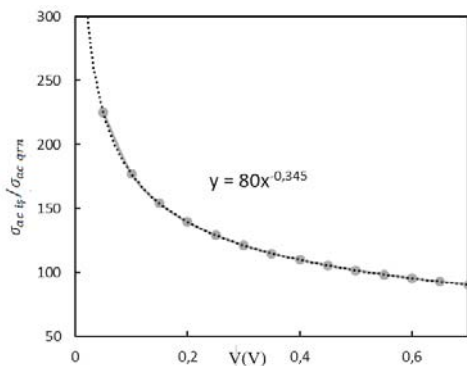
**Rasulova A.R., Əfəndiyeva İ.M.\***

*Bakı Dövlət Universiteti  
Fizika fakültəsi, II kurs (magistrant)  
afandiyeva@mail.ru*

**Açar sözlər:** Şottki diodları, Pd<sub>2</sub>Si/nSi, keçiriciliyə işığın təsiri, ac-keçiricilik.

Ucuz başa gələn, kiçik həndəsi ölçülü cihazların yaradılması müasir elm və texnikanın inkişafı qarşısında dayanan məsələlərdən birdir [1]. Təqdim olunmuş araşdırımada kiçik ölçülü ( $8 \times 10^{-6} \text{ sm}^2$ ) Pd<sub>2</sub>Si/n-Si Şottki diodlarının qaranlıqda və ağ işıqda ac-keçiriciliyinə ( $\sigma_{ac}$ ) sabit gərginliyinin təsiri tədqiq edilmişdir. Tədqiqat obyekti seçimində üstünlükler nəzərə alınmışdır. Termik tozlandırma və fotolitoqrafiya texnoloji metodlardan istifadə etməklə yaradılan Pd<sub>2</sub>Si/n-Si Şottki diodlarında TiW amorf diffuzion baryer yerləşdirilmişdir. Yarımkeçirici altlıq olaraq Si(111) 0.7Omsm seçilmiştir.  $\sigma_{ac}$ -in hesablanması üçün diodon tutum və götərilmiş keçiriciliyin (müvafiq olaraq C-V və G/ω-V) gərginlikdən asılılığının yüksəkşəkzələkli LCR-metr HP4275A (Hewlett Packard) sabit (0÷5V) və sinusoidal siqnal (20mV, 500kHz) verilməklə qaranlıqda və müxtəlif intensivlikli (W=5 mVt/sm<sup>2</sup>-20 mVt/sm<sup>2</sup>) işıqlandırma şəraitində ölçülmüşdür [2]. Tədqiqat nəticəsində (300K) aşkar edilmişdir ki, qaranlıqda və müxtəlif intensivlikli işıqlandırırmada  $\sigma_{ac}$  tətbiq olunan gərginlik qiymətindən asılılığı dəyişir. Gərginlik (0-0,7)V çərçivəsində dəyişdikdə işıqda və qaranlıqda alınmış  $\sigma_{ac}$ -in qiymətlərinin nisbəti aşağıda göstərilən ifadə ilə təsvir olunur [2,3]:

$$\frac{\sigma_{ac \text{ işq}}}{\sigma_{ac \text{ qrn}}} = 80V^{-0,345}$$



Şək.1.  $Pd_2Si/nSi$  Şottki diodu üçün alınmış  $\frac{\sigma_{ac\ isq}}{\sigma_{ac\ qrn}}$  nisbətinin gərginlikdən asılılığı

Alınan nəticələr  $Pd_2Si/n-Si$  Şottki diodlarının xarakterizə edən  $\sigma_{ac}$ -in gərginlikdən və işıq intensivliyindən asılılığı yeni cihazların yaradılmasında istifadə oluna bilər.

### Ədəbiyyat

1. Зи С.М. Физика полупроводниковых приборов. М.: Мир, 1984, часть 1, с.130-450.
2. I.M.Afandiyeva, Dökme İ., Altindal Ş. et.al. The frequency and voltage dependent electrical characteristic of Al-TiW-Pd2Si/n-Si structure using I-V,C-V and G/w-V measurements. Microelectronic Engineering,85, 2008, 365.
3. I.M.Afandiyeva, Üslü H.,Dökme İ, et.al. Illumination effect on I-V, C-V & G/w-V characteristics of Al-TiWPd2Si/ n-Si structures at room temperature. Surface and Interface Analysis.42( 2010) 807-811.

## ИЗУЧЕНИЕ ФИЗИЧЕСКИХ СВОЙСТВ НАНОКРИСТАЛЛОВ

Рагимли К.М., Гаджиева Л.С.\*

*Бакинский Государственный Университет  
Физический факультет, I курс  
rehimlikubra9@gmail.com*

**Ключевые слова:** анизотропия, наночастица.

Брэдли Фахльман, химик из Университета Централ Мичиган в США описал нанокристалл как любой наноматериал, по крайней мере, с одним измерением 100 нм. Это по его выражению - единичный кристалл. Более точно, любой материал с размерами меньше, чем 1 микрометр, то есть, 1000 миллиграммов, должен упоминаться как наночастица, но не нанокристалл. В случае трехмерного расположения атомов в пространстве элемента твёрдого вещества логично вытекает название - нанокристалл. Были обнаружены также прозрачные наночастицы, сделанные с цеолитом используются в качестве фильтра, для перевода сырой нефти на дизельное топливо. Элементы, изготовленные из нанокристаллов, применяются в качестве различных преобразователей в радиоэлектронике, квантовой электронике, акустике, вычислительной технике. Первоначально использовались природные нанокристаллы, однако сейчас существуют различные методы выращивания. Химики из Университета Рочестера создали рекордно долгоживущую систему для производства водорода при помощи энергии солнечного света. Они использовали нанокристаллам полупроводников, которые способны поглощать свет определенной длины волн и получили довольно эффективную систему, в которой почти каждый третий поглощенный квант использовался для производства водорода. Водород часто рассматривают как перспективную замену ископаемому топливу в качестве аккумулятора энергии. В мировых научных центрах ученые ведут исследования по созданию вакцины от вируса SARS-CoV-2. Кевин Макхью из Массачусетского технологического института вместе с коллегами предложил записывать историю прививок непосредственно в теле человека, чтобы избавить врачей от необходимости вести документацию. Исследователи предположили, что вместе с вакциной можно вводить под кожу человека красители, которые будут сохраняться там годами. Краситель-вещество содержит квантовые точки-нанокристаллы на основе меди величиной около 4 нм, которые заключены в прозрачные биосовместимые капсулы и отражают ближний инфракрасный свет. Прочитать информацию о вакцинации можно будет с помощью смартфона. Нанокристаллы безопасны. Ученые использовали ядра из меди, индия и серы, а оболочку из алюминия и сульфид цинка. Им удалось откалибровать наночастицы так, чтобы они излучали в инфракрасном диапазоне. Затем их проверили на обесцвечивание: после дозы солнечного света, наночастицы сохранили около 13 процентов своей первоначальной интенсивности свечения.

Наночастицы заключили в полимерные капсулы, не вызывающие иммунного отторжения в коже. Для уколя использовали растворимые микроиглы. А чтобы идентифицировать кристаллическую метку в коже, они собрали простую конструкцию из инфракрасного диода, который светит на кожу из смартфона. Авторы рассчитывают, что их разработка сможет упростить задачу ведения медицинской документации.

### **Литература**

1. Fahlman, B. D. Materials Chemistry; Springer: Mount Pleasant, MI, 2007; Vol. 1, pp 282-283.

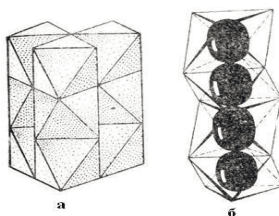
## TlIn<sub>0,97</sub>Dy<sub>0,03</sub>Se<sub>2</sub> BƏRK MƏHLUL KRİSTALINDA YÜKDAŞIYICILARIN SƏPİLMƏ MEXANİZMİ

Davudova N.F., Nurullayev Y.Q.\*

Bakı Dövlət Universiteti  
Fizika fakültəsi, II kurs (magistrant)  
nigar.davudova@inbox.ru

**Açar sözlər:** üçqat birləşmə, bərk məhlul kristalı, lantanoid elementi, relaksasiya müddəti, akustik fononlar.

TlInSe<sub>2</sub> üçqat birləşmələri əsasında bərk məhlul kristallarının alınması və onların fiziki xassələrinin tədqiqi xüsusi əhəmiyyət kəsb edir. İşdə TlIn<sub>0,97</sub>Dy<sub>0,03</sub>Se<sub>2</sub> bərk məhlul kristalı alınmış, nümunənin istilik və termoelektrik xassələri tədqiq olunaraq bu tip birləşmələrdə yükdaşıyıcıların səpilmə mexanizmi müəyyənləşdirilmişdir. Bu birləşmələr geniş praktik tətbiqə malikdir. Onlar əsasında alınan bərk məhlullardan yaxın infraqırmızı şüalanma, rentgen, qamma, neytron şüalanmalarının detektorları, günəş enerji çeviriciləri, termoelementlər, yaddaşlı çeviricilər və s. kimi cihazlar işlənilib hazırlanmasında istifadə olunur.



Şəkil 1. Zəncirvari struktur ailəsi.

TlIn<sub>1-x</sub>Dy<sub>x</sub>Se<sub>2</sub> tipli birləşmələr tetraqonal sinqoniyada kristallaşır və onlarda iki struktur vahidi mövcuddur (şəkil 1). Bu tip birləşmələrdə kimyəvi cəhətcə əsas struktur vahidi tetraedr hesab edilir və yalnız bu tetraedrlər arasında ikinci vahidin - səkkiztəpəlinin tiplinin və yaxud burulmuş kubun formallaşması baş verir. TlIn<sub>0,97</sub>Dy<sub>0,03</sub>Se<sub>2</sub> birləşməsində Dy və In atomları üçvalentlidirlər və onların ion radiusları yaxındır. Kristalda yükdaşıyıcıların qeyri-tarazlıq prosesləri qəfəs rəqsleri və müxtəlif xarakterli defekt mərkəzlərinin qarşılıqlı təsir mexanizmindən kəskin asılıdır. Dispersiyaın kvadratik qanununa tabe olan yarımkəcəricilər üçün bir sıra hallarda relaksasiya müddətinin yükün enerjisindən asılılı olur [1].

Yüksək temperaturlarda ( $kT > \hbar\omega$ ) atom qəfəsləri yarımkəcəricilərdə yükdaşıyıcıların səpilməsində əsas rolu uzununa akustik fononlar oynayır. Ion qəfəsləri yarımkəcəricilərdə elektronların optik fononlarla qarşılıqlı təsiri, onların akustik fononlarla qarşılıqlı təsirindən çox güclü olur. Aşağı temperatur oblastında akustik, eləcə də optik fononlar zəif həyəcanlanırlar. Bu halda elektronların səpilməsi ionlaşmış aşqarlardan baş verir. Alçaq temperaturlarda aşqarlar ionlaşdırıldından

elektronların neytral atomlardan səpilməsi əsas rol oynayır. Bu halda da  $\tau$ -relaksasiya müddəti  $\varepsilon$ -enerjidən asılı olur. Elektronların optik fononlardan səpilməsi iki intervala bölünür: aşağı temperaturlarda ( $\hbar\omega_0 \gg kT$ ), yüksək temperaturlarda, yəni  $\hbar\omega_0 \ll kT$  [2].

### **Ədəbiyyat**

1. Керимова Э.М. Кристаллофизика низкоразмерных халькогенидов. Баку, Изд. Элм. 2012,608 с
2. Ламперт М.А. Инжекционные токи в твердых телах: //М.: Мир, 1973, 200с.

## TlInSe<sub>2</sub> KRİSTALININ TERMOELEKTRİK XASSƏLƏRİNƏ DY ELEMENT ATOMLARININ TƏSİRİ

Davudova N.F., Nurullayev Y.Q.\*

Bakı Dövlət Universiteti  
Fizika fakültəsi, II kurs (magistrant)  
nigar.davudova@inbox.ru

**Açar sözlər:** bərk məhlul, termoelektrik h.q., həcmi yüksəklər, tutma mərkəzləri, səpilmə mexanizmi.

TlInSe<sub>2</sub> birləşməsində “c” oxuna nəzərən defektlərin paylanması konsentrasiyasının ( $10^{16}$ - $10^{17}$  sm<sup>-3</sup>) müxtəlifliyi TlInSe<sub>2</sub> kristallarının kimyəvi və fiziki xassələrin anizotroplığına səbəb olur. Qeyd olunan mexanizmlərin aydınlaşdırılması üçün nizamlı quruluşa malik monokristalların alınması və müxtəlif xarici amillərin termoelektrik xassələrinə təsirinin öyrənilməsi vacibdir. TlInSe<sub>2</sub> kristalları  $\gamma$ -şüalarına davamlı diod tipli fotoqəbuledicilərin, yaddaş elementləri və çeviricilərin hazırlanmasında istifadə olunur.

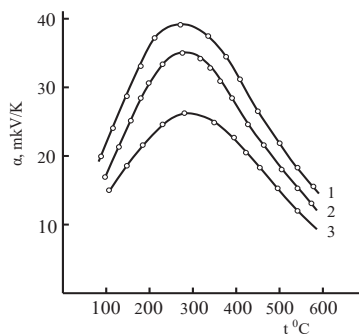
Tədqiqat işində müxtəlif atom faizli Dy element atomu əlavə olunmuş TlIn<sub>1-x</sub>Dy<sub>x</sub>Se<sub>2</sub> ( $x$ : 0,01, 0,03, 0,05 at. %) bərk məhlul kristalı alınmış Dy atomlarının kristalin termoelektrik xassələrinə 100-600 K temperatur intervalında təsiri tədqiq olunmuşdur.

TlInSe<sub>2</sub> monokristallarında həcmi yüksək məhdudlanmış cərəyan, yaddaş və çeviricilik effektləri, məxsusi photocərəyanın termik və optik sənmə effektləri kristalların qadağan olunmuş zonasında olan müxtəlif təbiətli *t*-tutma, *r*- və *s*-rekombinasiya mərkəzlərinin mərhələli dolub-boşalması ilə bağlıdır; TlInSe<sub>2</sub> monokristallarının qadağan olunmuş zonasında yerləşən akseptor tipli tutma mərkəzinin mövcud olması qaranlıq cərəyanın 300-400 K temperatur intervalında termik sənməsinə şərait yaradır. Termo e.h.q. mürəkkəb kinetik parametrdir, hətta maddədəki yükdaşıyıcılar eyni tipli olduqda belə olduqda çoxlu parametrlərdən asılı olur [1].

Zona nəzəriyyəsinə görə sabit potensiallı parabolik zona halında termo.e.h.q yükdaşıyıcıların konsentrasiyası və onların səpilmə mexanizmindən asılıdır. Bir növ

yük-daşıyıcıları olan cırlaşmış elektron qazı üçün  $\alpha$ - kəmiyəti  $\alpha = \frac{k}{e}(A - \ln n)$

ifadəsi ilə təyin olunur. Termo.e.h.q.-nın temperatur asılılığının öyrənilməsi yükdaşıyıcıların konsentrasiyasının temperatur asılılığı haqqında fikir söyleməyə imkan verir. Keçiricilikdə həm elektron, həm də deşiklərin iştirak etməsini sübut edir və hər iki növ yükdaşıyıcılar termo.e.h.q.-nə öz əlavəsini verir. Elektron və deşiklər əks işaretli olduğundan onlar termo.e.h.q.-nın temperatur asılığına da kəskin təsir edir [2]. Şəkil 1-də müxtəlif tərkibli TlIn<sub>1-x</sub>Dy<sub>x</sub>Se<sub>2</sub> bərk məhlul kristalı üçün termo.e.h.q.-nın temperatur asılılığı verilmişdir.



*Şəkil 1.  $\alpha = f(T)$  asılılığı. 1-0,01; 2-0,3; 3-005 at. %*

### **Ədəbiyyat**

1. Керимова Э.М. Кристаллофизика низкоразмерных халькогенидов. Баку, Изд. Элм. 2012,608 с
2. Лампарт М.А. Инжекционные токи в твердых телах: //М.: Мир,1973, 200с.

## ***Ga<sub>2</sub>S<sub>3</sub> MONOKRİSTALININ ELEKTRİK KEÇİRİCİLİYİ***

**Qurbanova N.E., Həsənova L.H.\***

*Bakı Dövlət Universiteti*

*Fizika fakültəsi, I kurs (magistrant)*

*nuranequrbanova9898@gmail.com*

**Açar sözlər:** parabolik zona, effektiv kütlə.

Məlumdur ki, məxsusi yarımkəcəricidə elektrik keçiriciliyi

$$\ln \sigma = A + \frac{1}{2} \ln(N_c N_v) - q \ln T - \frac{E_{g_0}}{2k} \frac{1}{T} \quad (1)$$

ifadəsi ilə təyin olunur. Burada  $N_c$  və  $N_v$  uyğun olaraq keçirici və valent zonasında hal sıxlıqları,  $E_{g_0}$ -0K tempuraturda qadağan olunmuş zolağın eni,  $q$ -yürüklüyün tempuratur asılılığının göstəricisidir, A-tempuraturdan asılı olmayan sabitdir. Aşqar keçiriciliyi də anoloji ifadə ilə xarakterizə olunur.

Yarımkəcəricinin parabolik zonaya malik olduğunu qəbul etsək və ya effektiv kütlələrin orta qiymətindən istifadə etsək onda (1) ifadəsi aşağıdakı şəkili alır.

$$\ln \sigma = c \ln(m_n m_p) + \left( \frac{3}{2} - q \right) \ln T - \frac{E_{g_0}}{2k} \frac{1}{T} \quad (2)$$

$m_n$  və  $m_p$ -elektron və deşiklərin effektiv kütləsidir. (2) ifadəsindən görünür ki,  $\ln \sigma$ -nın  $\frac{1}{T}$ -dən asılığına uyğun xəttin meylinin tangensini təyin etməklə  $E_{g_0}$ -ı təyin etmək olar.

Baxılan işdə  $Ga_2S_3$  monokristalında parametrləri təyin etmək, həmçinin keçiriciliyin mexanizmini müəyyənləşdirmək üçün dəyişən elektrik sahəsində elektrikkeçiriciliyin tempuraturdan asılılığı öyrənilmişdir. Nümunələrin xüsusi müqaviməti  $10^9$ - $10^{11}$  om·sm, tətbiq olunan gərginlik  $20\frac{V}{sm}$ -dən böyük olmamışdır. Belə yüksəkomlu nümunələrdə elektrikkeçiriciliyi ölçmək üçün xüsusi kompensasiya üsulundan istifadə olunub.

$Ga_2S_3$  Kristalının elektrikkeçiriciliyinin tempuratur asılılıından hesablanmış qadağan olunmuş zolağının eni (2.80-2.84)eV intervalında olmuşdur. Alınmış qiymət cərəyanın axma istiqamətindən asılı olmaqla  $E_{g_2} - E_{g_1} \sim 1$  eV olmuşdur.

Qadağan olunmuş eninin tempuratur əmsali  $6 \cdot 10^{-4} \frac{eV}{dər}$  olmuşdur. Aşağı tempuraturlarda hal sıxlıqlarının quyruğu əsasən boş olduğundan

$$\Delta E_{mak} = E_g - \Delta E_a$$

ifadəsinə əsasən qadağan olunmuş zolağın eninin tempuratur əmsalını izah etmək olar. Belə ki bu kristalda zonalararası keçid deyil akseptor səviyyəsindən keçirici zonaya keçid baş verir.

**Ədəbiyyat**

1. Гасанлы Ш.М., Бахышов А.Э., Гасанлы Н.М., Мусаева Л.Г. Схема для измерения электрических параметров высокоменных полупроводников. Уч.зал. АГУ им. С.М.Кирова, сер.физ.мат.наук 1973, N=2,63-64
2. Грибковский В.И., Теория поглощения и испускания света в полупроводниках, Минск.: Наука и техника ,1975, 460с

## GaTe MONOKRİSTALLARININ ELEKTRİK KEÇİRİCİLİYİNİN TƏDQİQİ

Hüseynova İ.F., Abasova A.Z.\*

Bakı Dövlət Universiteti

Fizika fakültəsi, I kurs (magistrant)

ilahe5999@gmail.com

**Açar sözlər:** məxsusi keçiricilik, lokal səviyyə, qadağan olunmuş zona.

GaTe kristalı 2 modifikasiyada kristallaşır.

1) Kubik sinqoniyada, fəza qrupu S43m, qəfəs sabitləri  $a = 0.78\text{ nm}$ ;  $z = 1.33$

2) Rombik sinqoniyada, qəfəs sabitləri  $a = 0.417\text{ nm}$ ;  $b = 2.366\text{ nm}$ ;  $c = 1.252\text{ nm}$ ;  $z = 8$ . Ərimə temperaturu  $790 \div 810^\circ\text{C}$ . Bu halda faza keçidi baş verir.

Məlumdur ki, həm elementar, həm də yarımkəçirici birləşmələrin fiziki xassələrinin tədqiqi və onların parametrlərinin təyini üçün ən geniş yayılmış üsullardan biri elektrik keçiriciliyinin temperaturdan asılılığının tədqiqidir. Elektrik keçiriciliyinin temperatur asılılığına görə qadağan olunmuş zolağın eni və aşqar səviyyələrin dərinliyi təyin olunur.

Tədqiq olunan birləşmə, tərkibində asan uçucu maddələrin olduğu xüsusi texnologiya ilə sintez olunmuşdur. Bu texnologiyaya görə içərisinə, valentliyə uyğun miqdarda maddə yığılaraq havası sorulub, ağızı lehimlənmiş ampulanın  $1/3$ -i, əvvəlcədən ərimə temperaturu alınmış sobanın içərisinə yerləşdirilir. Selen buxarı ampulanın boş hissəsinə toplanır, orada soyudularaq damcı şəklində geri qayıdır və beləliklə reaksiya sürətlə gedir. Sintez olunmuş homogen birləşmənin monokristalı yavaş soyutma üsulu ilə göyərdilir. İki monokristal bloklardan elektrikkeçiriciliyini ölçmək üçün ölçüləri  $(1 \div 2) \times (3 \div 5) \times (10 \div 15)\text{ mm}^3$  ölçüdə nümunələr kəsilir. Onlara gümüş pastadan elektrik kontaktları qoyulur. Zondlar üçün nümunənin yan səthlərində diametri  $0.1 \div 0.2\text{ mm}$  və  $0.1\text{ mm}$  dərinliklər yonulur. Onların baş hissələrindəki məsafə nümunənin enindən  $1.5$  dəfə kiçik olmamalıdır. Yarıqlar arasındaki məsafə  $3 \div 5\text{ mm}$  olur. Kontaktlar qoyulmadan əvvəl və sonra nümunələr çox diqqətlə yuyulur, əks halda aşağı temperaturlarda səth keçiriciliyinin rolü böyük olur. Aydındır ki, elektrik keçiriciliyi aşağıdakı düsturla hesablanır.

$$\sigma = 10^4 \frac{i(\text{mkA}) \Delta l(\text{mm})}{\Delta V_\sigma(\text{mkV}) h(\text{mm}) b(\text{mm})}$$

Elektrik keçiriciliyi, nümunədən bir neçə  $\text{mkA}$  cərəyan buraxmaqla ölçülür. Ölçülən nümunələrdə keçiricilik temperaturdan asılı olaraq eksponensial artır və iki meyl müşahidə olunur. Bu meyillərə uyğun xəttlərin tangensindən enerjilər hesablanmışdır. Nisbətən aşağı temperaturlardan  $0.34\text{ eV}$ , sonra kəskin artma oblastından isə  $1.7\text{ eV}$  tapılmışdır. Böyük enerji olan  $1.7\text{ eV}$  GaTe kristalının qadağan olunmuş zolağının eni,  $0.34\text{ eV}$  enerjisi isə aşqar səviyyəsinin dərinliyidir.

**Ədəbiyyat**

1. M.M. Zərbəliyev, Yarımkeçiricilər fizikası, Bakı-2008, 455s
2. V.I.Tahirov, Yarımkeçiricilər fizikasının əsasları, Bakı-1984, 325s

**$TlIn_{0,95}Dy_{0,05}Se_2$  BƏRK MƏHLUL KRİSTALINDA İNJEKSIYA  
CƏRƏYANININ XÜSUSİYYƏTLƏRİ**

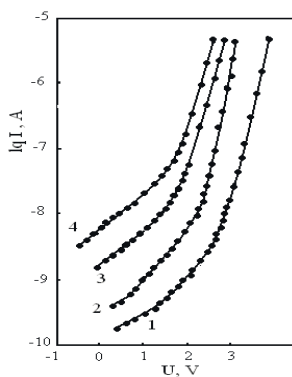
Rüstəmzadə N.Ə., Nurullayev Y.Q.\* , İsmailova R.N.\*

Bakı Dövlət Universiteti  
Fizika fakültəsi, I kurs (magistrant)

**Açar sözlər:** bərk məhlul, zəcirvari quruluş, lantanoid, injeksiya cərəyanı, tutma mərkəzi, volt-amper xarakteristikası.

Son vaxtlar alınan  $A^{III}B^{III}C_2^{VI}$  tip birləşmələr sinfinə daxil olan  $TlInSe_2$  tipli bərk məhlul kristallarına geniş maraq yaranmışdır.  $TlInSe_2$  kristalı defektli kristaldır. Zəncirvari quruluşlu  $TlInSe_2$  kristallarda defektləri kompensasiya etmək üçün kristala lantanoid əsaslı element atomları əlavə edilir. Bu tip materialın yarımkəcərici xassələri yükdaşıyıcıların konsentrasiyasından, kristalda yükdaşıyıcıların səpilmə mexanizmindən, qadağan olunmuş zonanın quruluşundan, istilikkeçirmənin mexanizmindən kəskin asılıdır. Belə xarakterik kəmiyyətlər tədqiq olunan materialı digər materiallarla müqayisə etməyə, onların uyğun xassələri arasındaki fərqi aşkar etməyə və bu materialların tətbiq sahəsini müəyyənləşdirməyə imkan verir.

$TlInSe_2$  bərk məhlul kristallarının elektrik xassələri, kristal qəfəsin periodikliyini pozan və atomların yerləşməsində lokal dəyişmələr yaranan defektlərin konsentrasiyasından asılıdır. Kontakt omik olduqda volt-amper xarakteristikası xəttidir. Amma nümunəyə tətbiq olunan xarici sahə artdıqda kontakt qeyri omik olur. Güclü elektrik sahəsinin təsiri altında elektrodlar arasında axan yükdaşıyıcıların konsentrasiyasının artması hesabına kontaktlardan axan cərəyan sixlığı kəskin artır. Volt-amper xarakteristikasındaki qeyri xəttiliyin başqa bir səbəbi qadağan olunmuş zonada müxtəlif təbiətli tutma mərkəzlərinin olmasıdır. Məsələn, tutma mərkəzləri kristala vurulmuş müxtəlif xarakterli element atomları – aşqarlar, defektlər, dislokasiyalar və digər növ qəfəs defektləri ola bilər. Bu defektlər qadağan olunmuş zonada əlavə lokal səviyyələr yaradır. Əgər yaranan tutma mərkəzi müsbətdirsə, onda belə mərkəz elektron üçün tutma mərkəzi rolunu oynayacaq. Belə tutma mərkəzləri qadağan olunmuş zonada Fermi səviyyəsi ilə valent zonanın aşağısında tutma enerji səviyyələrinin yaranmasına səbəb olur. Tutma səviyyələrinin dərinliyi kifayət qədər geniş intervalda dəyişə bilir. Əgər tutma mərkəzlərinin enerjisi  $kT$  enerjisi tərtibindədirse onda belə səviyyələr dərin tutma mərkəzləri, enerjisi  $kT$  enerjisindən kiçik olan səviyyələr isə dayaz tutma mərkəzləri adlanır. Şəkil 1-də  $TlIn_{0,95}Dy_{0,05}Se_2$  – kristalının nazik təbəqəsinin müxtəlif temperaturlarda volt-amper xarakteristikası göstərilmişdir [ 1 ].



*Səkill 1.  $TlIn_{0.95}Dy_{0.05}Se_2$  kristalinin volt-amper xarakteristikaları. 1-100 K; 2-300 K; 3-400 K; 4-600 K.*

### Ədəbiyyat

1. Керимова Э.М. Кристаллофизика низкоразмерных халькогенидов. Баку, Изд. Элм. 2012

**TlIn<sub>1-x</sub>Dy<sub>x</sub>Se<sub>2</sub> (x: 0,01, 0,03, 0,05) BƏR MƏHLUL KRİSTALLARININ  
ALINMASI VƏ HAL DİAQRAMI**

**Rüstəmzadə N.Ə., Nurullayev Y.Q.\* , İsmailova R.N.\***

*Bakı Dövlət Universiteti  
Fizika fakültəsi, I kurs (magistrant)*

**Açar sözlər:** lantanoid əsaslı, bərk məhlul kristalı, hal diaqramı, zona əritmə üsulu, struktur motivi, mikrostruktur.

Mikroelektronika sahəsində perspektivli materiallardan biri də lantanoid əsaslı  $TlInSe_2$  bərk məhlul kristalıdır. Bu tip birləşmələr əsasında alınan bərk məhlul kristalları infraqırmızı şüalanma, rentgen, qamma, neytron şüalanmalarının detektorları, günəş enerji çeviriciləri, termoelementlər, yaddaşlı çeviricilər və s. kimi cihazlar işlənib hazırlanmasında perspektivli materiallar sayılır. Tərkibində lantanoidlər olan belə birləşmə və bərk məhlullar yüksək mexaniki bərkliyə, kifayət qədər yuxarı ərimə temperaturuna malik olub, hətta yüksək temperaturlarda belə öz yarımkəcirici xassələrini saxlayırlar. Yeni yarımkəcirici materiallar axtarışı adətən məlum birləşmələrin kristalloquruluş qruplarının genişləndirilməsi istiqamətində aparılır.

Bu baxımdan  $TlSe$ -in kristal qəfəsi xüsusi maraq kəsb edir.  $TlSe$  tipli qəfəsdə tallium atomları dəyişkən valentlilik göstərir. Bu qəfəs  $TlSe \rightarrow Tl^+ [Tl^{3+}Se_2]$  kimi iki struktur vahidindən təşkil olunmuşdur. Onlarda həndəsi baxımdan həllədici rolü oktaedr, kimyəvi baxımdan isə tetraedr oynayır. Uyğun olaraq  $TlSe$ ,  $InSe$  kimi birləşmələrdə kristallik quruluşun formallaşmasında oktaedrdə birvalentli tallium və indium ionları, yarımkəcirici xassələr isə əsas etibarilə tetraedrdə üçvalentli tallium, indium ionarı ilə müəyyən olunur.  $TlSe - Tl_2Se_3$  tipli qəfəslərdə yarımkəcirici parametrləri idarə etmək məqsədilə tallium atomları lantanoid atomları ilə əvəz olunur. Bu birləşmələrdə lantanoid atomları adətən üçvalentlilik göstərir və onların ion radiusları 3 valentli indium ionlarının radiusuna yaxındır. Ona görə də  $TlSe$  qəfəslərində uyğun əvəzləmə həyata keçirməklə yeni birləşmə və bərk məhlul almaq mümkündür. Bu birləşmələrdə halkogen atomlarının xarici elektron təbəqəsi  $Tl$ -un  $6p^1$ , indiumun  $5s^25p^1$  və lantanoidlərin  $5d^15s^2$ - elektronları hesabına neytral arqon, kripton və ksenon kimi tamamlanır [1].

İşdə  $TlInSe_2 - TlLnSe_2$  bərk məhlul sisteminin sintezi üçün təmizlik dərəcəsi 99,98 % dən aşağı olmayan ilkin materiallardan istifadə olunmuşdur. Sintezdən əvvəl komponentlər ayrı ayrılıqda zona təmizləmə üsulu ilə oksid və kənar qarışığından təmizlənmişdir.  $TlInSe_2 - TlDySe_2$  sistemi üçün uyğun konsentrasiya tərkibinin 0÷15 mol % intervalı hal diaqramı qurulmuş və tərkibdə  $TlDySe_2$

birləşməsinin maksimum həll olması 11 mol % tərtibində olması müəyyən olunmuşdur. Monokristallar zona əritmə üsulu ilə Bricmen metodu ilə alınmışdır. Mikrostruktur, diferensial – termik və rentgenofaza analizlərinin nəticələrinə əsasən  $TlInSe_2 - TiDySe_2$  sistemlərinin hal diaqramları qurulmuş və hal diaqramında bərk məhlul oblastı müşahidə olunmuşdur. Alınan  $TlInSe_2$  birləşməsinin kristallik quruluşunun təhlili göstərdi ki, Se-nin koordinatının cüzi dəyişməsi zamanı  $TlInSe_2$ -nin struktur motivi  $TlSe$ -nin struktur motivini təkrarlayır.  $TlInSe_2 - TiLnSe_2$  bərk məhlullarında lantanoidlərin konsentrasiyası artdıqca lantanoidlərin valent elektronlarının bir qismi kollektiv hala keçir [2].

### **Ədəbiyyat**

1. Керимова Э.М. Кристаллофизика низкоразмерных халькогенидов. Баку, Изд. Элм. 2012, 600 s.
2. Зарбалиев М. М. Твердые растворы  $TlIn_{1-x}Yb_xS_2$ . РАН, Неорганич. Материалы. 2000. т.36. №5 с.619-623.

## NAZİK TƏBƏQƏLİ HETEROKEÇİDLƏRİN Si / Cd<sub>1-x</sub>Zn<sub>x</sub> FOTOELEKTRİK XASSƏLƏRİ

Məmmədova Z.V., Cahangirova S.Ə.\*

Bakı Dövlət Universiteti

Fizika fakültəsi, I kurs (magistrant)

*sona\_aliqizi@mail.ru*

*memmedovazohre1@gmail.com*

Baxılan işdə nazik təbəqəli heterokeçidlərin fotoelektrik xassələri işığın dalğalarının uzunluqlarının kifayət qədər geniş diapazonunda (0.3-1,4 m), temperaturdan (100-500°C), həmçinin termik emalın (TE) müddətindən (0-20 dəq) asılı olaraq öyrənilmişdir. Müəyyən edilmişdir ki, termik emala məruz qoyulmuş heterokeçidlər (0,4-1,25 m) dalğa uzunluqları oblastında daha yüksək fotohəssaslığa malikdir. Aşkar edilmişdir ki, bu parametrlərin qiymətləri digər amillərlə yanaşı həmçinin nazik təbəqələrin tərkibindən asılıdır. Tədqiq edilmiş heterostruktur "sendviç" quruluşuna malik idi. Onların hazırlanması zamanı altlıq (katod) qismində 0.4-0.5 mm qalınlıqlı monokristallik Si lövhələrindən istifadə edilmişdir. p-Si-un xüsusi müqaviməti müvafiq olaraq 8-20 Om x sm-ə bərabər olmuşdur. Anod materialı kimi kömür millərinin molibden lövhəsindən istifadə edilmişdir.

Müxtəlif mexaniki defektlərin, nazik oksid təbəqələrinin və başqa çirkənmələrin kənarlaşdırılması məqsədi ilə silisium altlıqlar əvvəlcə HCl-da, daha sonra isə KOH + KNO (1: 3) qarışığında 250-500 °C temperaturda, işçi məhlula salınmazdan əvvəl qabaqcadan tapılmış rejimə uyğun olaraq aşındırılmışdır. Elektrokimyəvi çökdürülmə prosesi bizim tərəfimizdən otaq temperaturunda xüsusi kvars qabda silisium lövhələrinin üzərində yerinə yetirilmişdir. Alınmış nazik təbəqələrin tərkibi 0-0,5 diapazonunda dəyişirdi və ona kimyəvi, termik və rentgen analizləri ilə nəzarət edildi. Müxtəlif nümunələr üçün onların qalınlığı 2 m-ə bərabər idi. Nazik təbəqələr n-tip keçiriciliyə qabiliyyətinin malikdir; bu, termo-e.h.q.-nin işarəsinə görə müəyyən edilmişdi. Alınmış heterokeçidlərin işçi sahələri 0.04-2 sm<sup>2</sup> diapazonunda idi. Ölçmələrin tələblərindən asılı olaraq omik kontakt materialları kimi metallik indiumdan və ya gümüş pastadan istifadə edilmişdi. Kontaktların omikliyi xarakterioqrafda müşahidə edilən volt-amper xarakteristikalarına (VAX) görə yoxlanılmışdır. Şuşədə nanoölçülü nazik təbəqələrinin elektrofiziki xarakteristikalarının ölçmələri və p- strukturunun VAX-larının qiymətləndirilməsi kimyəvi məhlulunun optimal tərkibini aşkar etməyə imkan vermişdir. Aparılmış ölçülərdən aydın olmuşdur ki, termik emal keçməmiş heterokeçidləri 0,4-1,25 m dalğa uzunluqları diapazonunda yüksək fotohəssaslığa malikdir. Bu strukturlar geniş zonalı Cd<sub>1-x</sub>Zn<sub>x</sub>S yarımkəcərinin tərəfindən işıqlandırıldıqda, onlarda işarəsi işığa həssaslıq diapazonunun boyunca dəyişməyən fotoelektrik hərəkət qüvvəsi (e.h.q.) yaranır.

***Ədəbiyyat***

1. Jafarov M.A., Mechtiev N.M. Infrared quenching of photoconductivity in  $\text{Cd}_{1-x}\text{Zn}_x\text{S}$  films deposited from the solution / Physical Problems in material science of semiconductors. Chernivitsi: 1997,p.327.
2. Jafarov M.A. Noise characteristics of CdZnS films deposited from the solution. / Physical problems in material science of Semiconductors, Chernivitsi: 1997, p.278.
3. HM Mammadov,MA Jafarov,EF Nasirov,D Piriyeva Photoelectrical Properties of p-Si/ $\text{Cd}_{1-x}\text{Zn}_x\text{S}$  (Se) y Heterojunctions Chalcogenide Letters 18(1),31-38,2021

## Cd<sub>1-x</sub>Zn<sub>x</sub>S NAZİK TƏBƏQƏLƏRİNDE VAX-ın XÜSUSİYYƏTLƏRİ

İbrəhimova A.E., Cahangirova S.Ə.\*

Bakı Dövlət Universiteti

Fizika fakültəsi, II kurs (magistrant)

ibrahimovaaynur64@gmail.com

Açar sözlər: Cd<sub>1-x</sub>Zn<sub>x</sub>S, VAX, təbəqə, gərginlik, cərəyan.

İşdə Cd<sub>1-x</sub>Zn<sub>x</sub>S nazik təbəqələri təqdim olunan texnoloji rejimə nəzarət etməklə müxtəlif tərkiblərdə ( $0 \leq x \leq 0.8$ )

In<sub>2</sub>O<sub>3</sub> SnO<sub>2</sub> altlıqlar üzərində alınmışdır. Alınmış təbəqələrə omik kontakt yaratmaq üçün Ag pastasından və ya In-dan istifadə edilmişdir. Aparılmış tədqiqatlar maye azot (T=80K) və otaq (T=300K) temperaturlarında aparılmışdır

Şəkil 1-də 80K-də temperaturda müxtəlif tərkibli Cd<sub>1-x</sub>Zn<sub>x</sub>S nazik təbəqələrinin bilavasitə çökdürmədən sonra VAX-ları göstərilmişdir. Şəkildən göründüyü kimi nazik təbəqələrin VAX-i bir neçə hissədən ibarətdir. Nazik təbəqələrin VAX-da əvvəlcə gərginliyin nisbətən kiçik ( $U \leq 5V$ ) qiymətlərində eksponensial nisbətən böyük ( $U \geq 5V$ ) qiymətlərində isə üstlü J=U<sup>n</sup> qanunu üzrə dəyişən hissələr müşahidə edilir. Eksponensial hissədə cərəyanın və üstlü hissədə n-dərəcəsinin qiyməti nümunələrin tərkibindən yəni x və y-dən aslı olur. Belə ki Cd<sub>1-x</sub>Zn<sub>x</sub>S nazik təbəqələri üçün məhlulda Zn-in miqdarının artması ilə VAX-dakı eksponensial hissə tədricən itir.  $x \geq 0.6$  qiymətlərində VAX demək olar ki yalnız üstlü qanuna (n=3) tabe olur.

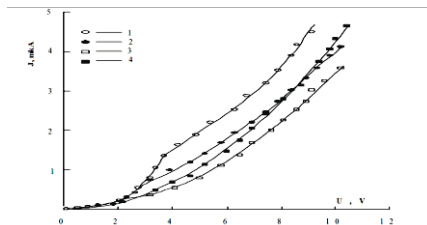
Müəyyən edilmişdir ki Cd<sub>1-x</sub>Zn<sub>x</sub>S nazik təbəqələrinin VAX-nın forması həmin təbəqələrin açıq havada termik emal rejimində güclü asılıdır.

Cd<sub>1-x</sub>Zn<sub>x</sub>S nazik təbəqələri üçün termik emalın ilkin anlarında ( $t=100-600^{\circ}\text{C}$ ) və müddətlərdə ( $t=2-3$  dəqiqə) VAX-da zəifdə olsa müşahidə olunan qeyri-xətti hissə xətti hissə ilə əvəz olunur. Termik emalın temperaturu və müddətinin sonrakı qiymətlərində ( $t=100-150^{\circ}\text{C}$  5-6 dəqiqə) VAX-da xətti hissə müşahidə olunur.

Artıq qeyd edildiyi kimi bilavasitə çökdürmədən sonra Cd<sub>1-x</sub>Zn<sub>x</sub>S nazik təbəqələri polikristallik quruluşa malik olub bütövlükdə coxlu sayıda yüksək və alçaq omlu "adacıqlar"dan ibarətdir. Nəzərə alsaq ki kimyəvi məhluldan açıq havaya çıxarılanда atmosferdə olan oksigen molekulları bu nazik təbəqələrin səthində adsorbsiya olunur. Onda belə fərəz etmək mümkündür ki nazik təbəqələrdə cərəyanın daşınması iki cür potensial çəpər arasındaki münasibətlə təyin olunur.

1)yüksək və alçaq omlu "adacıqlar" arasındaki potensial çəpər.

2)oksigenlə bağlı potensial çəpər.



Şəkill.T=80K-də müxtəlif tərkibli  $\text{Cd}_{1-x}\text{Zn}_x\text{S}$  təbəqələrinin çökdiürmədən sonra VAX-ları.

### Ədəbiyyat

1. Radu M. V.Ohenescu I.Stan L.Ion C.Besleaga A.Nicolae T.Mitran C.Tazlaoanu O.Porumb M.Ghenescu M.Gugan and S.Anthoe Photovoltaic Properties of the CdS\CdTe Heterojunction Solar Cells Before and After Proton Irradiation Chalcogenide Letters 8(8) (2011) 477-485
2. Максимов, А.И. Основы золь-гель-технологии нанокомпозитов / А. И. Максимов, В.А. Мошников, Ю.М. Таиров, О.А. Шилова// СПб: ГЭТУ "ЛЭТИ". – 2007. – 255 с.

## ARQON MÜHİTİNDƏ MÜXTƏLİF REJİMLƏRDƏ TERMİK İŞLƏNMƏNİN p-GaAs/n-Cd<sub>1-x</sub>Zn<sub>x</sub>S<sub>1-y</sub>Tey HETEROKEÇİDLƏRİNİN DÜZLƏNDİRMƏ ƏMSALINA TƏSİRİ

Hüseyinli S.İ., Məmmədov V.U.\*

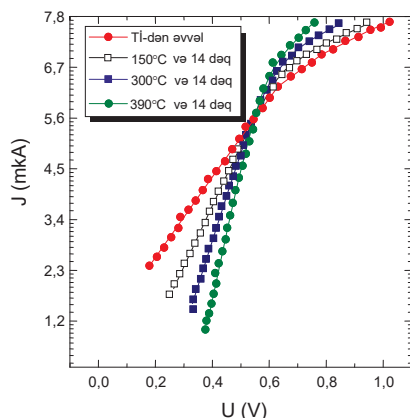
Bakı Dövlət Universiteti

Fizika fakültəsi, II kurs

huseyinliseneruberli2699@gmail.com

**Açar sözlər:** Arqon mühit, p-GaAs/n-Cd<sub>1-x</sub>Zn<sub>x</sub>S<sub>1-y</sub>Tey heterokecidlər.

Otaq temperaturunda sulu məhluldan bilavasitə çökdürülmüş müxtəlif tərkibli p-GaAs/n-Cd<sub>1-x</sub>Zn<sub>x</sub>S<sub>1-y</sub>Tey VAX-ını tədqiq edərkən, bütün tərkib heterokecidlərin düzləndirmə xüsusiyyətinə malik olduğunu görürük. Tədqiqatlar zamanı müəyyən edilmişdir ki, düzləndirmə əmsalı (k) və VAX-in qeyri xəttilik əmsalı (A) Cd<sub>1-x</sub>Zn<sub>x</sub>S<sub>1-y</sub>Tey nazik təbəqələrinin tərkibindən asılıdır. Nazik təbəqələrin tərkibindən asılı olaraq  $k = 1,7 \div 200$  və  $A = 1,6 \div 2,7$  intervalında dəyişir.  $x=0.75$  və  $y=0.2$  tərkibli nazik təbəqələr əsasındakı heterokecidlərdə düzləndirmə əmsalı maksimal ( $k=200$ ), VAX-in qeyri-ideallıq əmsalı isə minimal qiymətə ( $A=1.6$ ) malik olur. Bu da göstərilən tərkibli Cd<sub>1-x</sub>Zn<sub>x</sub>S<sub>1-y</sub>Tey nazik təbəqələr ilə GaAs kontakt materiallarının qəfəs parametrlərinin uzlaşdığını göstərir.



Şəkil 1. p-GaAs/n-Cd<sub>0.25</sub>Zn<sub>0.75</sub>S<sub>0.8</sub>Te<sub>0.2</sub> heterokecidlərinin arqon  
mühitində müxtəlif rejimlərdə termik işlənmədən sonra  
yarımloqarifmik miqyasda otaq temperaturunda düzüñə VAX-ı

Bilavasitə çökdürülmədən sonra heterokecidlərin kiçik qiymətli düzləndirmə nümayiş etdirməsi onların ardıcıl müqavimətinin böyük olmasını göstərir.

Arqon mühitində bir neçə dəqiqəlik termik işlənmə heterokecidlərdə keçid oblastından cərəyanın daşınma mexanizmini dəyişir (şəkil 1). Belə ki, termik

işlənmədən sonra rekombinasiya cərəyanlarının qiyməti və nəticədə, heterokeçidlərin ardıcıl müqaviməti kəskin azalır. Arqon mühitində  $390^{\circ}\text{C}$  temperaturda 14 dəqiqə ərzində termik işlənmədən sonra p-GaAs/n-Cd<sub>0.25</sub>Zn<sub>0.75</sub>S<sub>0.8</sub>Te<sub>0.2</sub> heterokeçidlərində düzləndirmə əmsalı  $k = 3000$  və VAX-in qeyri-ideallıq əmsalı isə  $A = 1.4$  qiymətini alır (cədvəl 1). Qeyri-ideallıq əmsalının kəskin azalması keçid oblastında cərəyan daşınmasında diffuziya mexanizminin üstünlük təşkil etdiyini və heterokeçidlərin ideallığa yaxınlaşmasını göstərir.

**Cədvəl 1.** p-GaAs/n-Cd<sub>0.25</sub>Zn<sub>0.75</sub>S<sub>0.8</sub>Te<sub>0.2</sub> heterokeçidlərinin müxtəlif rejimlərdə termik işlənmədən sonra düzləndirmə əmsalı və ardıcıl müqavimətləri

Termik işlənmə termeraturu və müddəti	Duzləndirmə əmsalı ( $k$ )	Ardıcıl müqavimət (Ra, Om·sm <sup>2</sup> )
Tİ-dən əvvəl	200	260
$150^{\circ}\text{C}$ ; 14 dəq	540	200
$200^{\circ}\text{C}$ ; 14 dəq	970	176
$250^{\circ}\text{C}$ ; 14 dəq	1700	93
$300^{\circ}\text{C}$ ; 14 dəq	2450	54
$350^{\circ}\text{C}$ ; 14 dəq	2600	30
$390^{\circ}\text{C}$ ; 14 dəq	3000	24
$430^{\circ}\text{C}$ ; 14 dəq	6	1300

### Ədəbiyyat

2. Məmmədov V.U. Arqon mühitində termik emalın p-GaAs/n-Cd<sub>1-x</sub>Zn<sub>x</sub>S<sub>1-y</sub>Se<sub>y</sub> heterokeçidlərində cərəyanın daşınma mexanizminə təsiri / Doktorantların və gənc tədqiqatçıların XVI Respublika Elmi Konfransının materialları, s.15, Bakı, 2010
3. Məmmədov H.M., Məmmədov V.U., Müxtəlif mühitlərdə termik işləmənin Cd<sub>1-x</sub>Zn<sub>x</sub>S<sub>1-y</sub>Te<sub>y</sub> nazik təbəqələrinin optik xassələrinə təsiri // Journal of Qafqaz University, № 34, p.71-78, 2012

## EROZİYA TIPLİ İMPULS PLAZMA SÜRƏTLƏNDİRİCİ VASİTƏSİLƏ PLAZMA SELİNİN ALINMASI

Ramazanova X.Q., Davudov B.B.\*

Bakı Dövlət Universiteti

Fiziki fakültəsi, I kurs (magistrant)

ramazanovabike333@gmail.com

**Açar sözlər:** Eroziya tipli plazma sürətləndiricisi, ftoroplast, səth boşalması, plazma seli

İmpuls plazma sürətləndiriciləri Yerin süni peyklərinin trayektoriyalarını stabillaşdırmaq üçün istifadə olunan plazma mühərriklərinin və nazik təbəqələr fizikasında tətbiq edilən plazma buxarlandırıcılarının əsasını təşkil edir. Konstruktiv quruluşuna görə bunlar müxtəlif olur: koaksial, konik, relsəkilli və s. Bunların bəzilərində işçi maddə kimi müxtəlif qazlardan, bəzilərində isə elektrodların və dielektriklərin eroziyası (ablyasiyası) nəticəsində alınan buxar halında olan kütlədən istifadə olunur. Axırıncılara eroziya tipli plazma sürətləndiriciləri deyirlər. Bunlar əsasən, impuls rejimində işləyir.

İşimizdə eroziya tipli koaksial impuls plazma sürətləndiricisinə baxılır. Belə sürətləndiricinin sxemi [1] işində göstərilmişdir. Sürətləndirici biri-birindən yaxşı elektrik möhkəmliyinə malik olan ftoroplastla (teflonla) ayrılmış koaksial metal elektrodlar sistemindən təşkil olunub. Qurğunun qida mənbəyi olaraq  $U=1000V$  gərginliklə yüklənmiş, tutumu  $C=200\text{m}\mu\text{F}$  olan kondensator batareyasından istifadə edilib. Elektrodlar arasında elektrik boşalması alışdırıcı elektroda yüksək gərginlik impulsu verməklə həyata keçirilib. Sistemdə axan cərəyan şiddəti  $I=4-5 \text{ kA}$  tərtibində olub, cərəyan impulsunun davameti müddəti  $t=200\text{mksan}$  olmuşdur.

Metal və dielektrik materiallarının buxarlanması nəticəsində alınan çoxkomponentli həyəcanlanmış atom və ionlardan ibarət olan plazma seli qazokinetik və elektromaqnit qüvvələrin təsiri ilə böyük sürətlə ( $v=10^4 \div 10^5 \text{m/san}$ ) irəliyə atılır.

İmpuls plazma sürətləndiricilərdə plazma əmələ gətirən işçi maddə kimi həm metal elektrodlardan həm də müxtəlif dielektriklərdən istifadə oluna bilər. Belə dielektriklər əvəzində böyük müqavimətə malik yarımkəcirici materiallardan da istifadə etmək olar. Sürətləndiricinin elektrodları ilə kontaktda olan dielektrik və yarımkəcirici materiallar onların səthində baş verən "səth" boşalması nəticəsində yaranan plazma selinin təsirinə məruz qalır ki, bu da onların dağılması, buxarlanması və nəhayət plazmaya çevrilməsinə səbəb olur. Spektroskopik tədqiqatların göstərdiyinə görə plazma, əsasən, elektrodlarla bilavasitə kontaktda olan dielektrik və ya yarımkəcirici nümunə kimi götürülən elementlərin həyacanlaşmış və ionlaşmış atomlarından ibarət olur. Materialların güclü buxarlanması onun səthində yüksək enerji sıxlığının əmələ gəlməsini göstərir. Belə enerji sıxlığını yalnız plazmanın şüalanması təmin edə bilər. Bu tip impuls plazma

sürətləndiricilərində plazma şüa seli  $5 \times 10^5$  Vt/sm<sup>2</sup>-dan çox olur. Impuls boşalmalarında alınan enerji sıxlığının lazer şüalanmasının enerji sıxlığı ilə müqayisəsi göstərir ki, sıxlığı  $10^5$  Vt/sm<sup>2</sup>-dən böyük olan lazer şüalanmasının təsiri ilə materialların dağılması, onların impuls boşalmasının təsiri zamanı olan istilik xarakterli dağılması kimidir.

Bosalma kanalına daxil olan ümumi enerji ionlaşma enerjisini, molekulyar rəbitələrinin qırılması enerjisini, plazma axınının kinetik enerjisini, elektrodların qızması üçün lazıim olan enerjiyə, və şüalanma enerjisini sərf olunur.

### **Ədəbiyyat**

1. Давудов Б. Б., Мамедов Н. А. Известия БДУ, сер. Физ. -мат. наук, N1, 2009, с. 173.

## SOTTKİ DİODLARINDA POTENSİAL ÇƏPƏRİN YARANMASI VƏ CƏRƏYAN AXININA ƏLAVƏ ELEKTRİK SAHƏSİNİN TƏSİRİ

İsamalıyeva T.E., Məmmədov R.K.\*

Bakı Dövlət Universiteti  
Fizika fakültəsi, II kurs (magistrant)  
*turacisamali2@gmail.com*

**Açar sözlər:** Şottki modeli, səth hadisələri, metal kontakt, ideal kontakt, real kontakt, səth potensialı,

Metal – yarımkəcirici keçidlərinin (MYK) omik xassə ilə yanaşı, düzləndirmə xassəsinə də malik olması, hələ 1874-cü ildə alman alimi Braun tərəfindən metal – sulfid keçidlərində aşkar edilmişdir. Sərhəd səthi bircins və qeyri-məhdud olan monokristal quruluşa malik metal və yarımkəciricinin nəzəri olaraq ideal qəbul edilən keçidlərinin omik və düzləndirmə xassələrə malik olmasının fiziki mahiyyətinin aydınlaşdırılması üçün 1940-cı illərdə bir sıra alımlar fundamental tədqiqatlar aparmışdır. Nəticədə ideal (bircins və qeyri-məhdud səthli) metal-yarımkəcirici keçidlərinin (MYK) omik və düzləndirmə xassələrinə malik olmalarını müəyyən edə bilən enerji modellər işlənib hazırlanı ki, onlardan da ən mükəmməli V.Şottki tərəfindən təklif olunan enerji modelidir. Bu model MYK-1 əmələ gətirən metal və yarımkəciricinin kontakt potensialları fərqinin yaranmasına əsaslanmış və yarımkəciricinin tipindən asılı olaraq, kontakt səthlərinin çıxış işləri ilə müəyyən olunan potensial çəpərin formalşma şərtlərini müəyyən etmişdir. Belə ki, n-tip yarımkəcirici əsaslı MYK-ni yaradan metalın çıxış işi ( $\Phi_M$ ) yarımkəciricinin çıxış işindən ( $\Phi_Y$ ) böyük olarsa ( $\Phi_M > \Phi_Y$ ), belə keçid düzləndirici xassəsinə, əksinə bərabər və kiçik olarsa ( $\Phi_M \leq \Phi_Y$ ), belə keçid omik xassəyə malik olar. p-tip yarımkəcirici əsaslı MYK-nin düzləndirici və omik olması üçün - əks şərtlər ödənməlidir.

Aparılan nəzəri və eksperimental tədqiqatlar nəticəsində müəyyən olunmuşdur ki, real (qeyri-bircins və məhdud səthli) metal-yarımkəcirici keçidlərinin fiziki mənzərəsi çox mürəkkəbdir. Real metal-yarımkəcirici kontaktının sərhəd səthi elektron emissiyası baxımından qeyri-bircins olur və o, metal və yarımkəciricinin sərbəst səthləri ilə məhdudlanırlar. Belə real metal-yarımkəcirici keçidlərin potensial çəpərinin əmələ gəlməsində sərhəd sərhədinin emissiya qeyri-bircinsliyi və məhdud səthli olması mühüm rol oynayır.

Aparılan tədqiqat işləri göstərmişdir ki, ideal kontaktlar bir potensial çəpərlili energetik qruluşla müəyyən olunduğu halda real metal-yarımkəcirici kontaktlar iki potensial çəpərlili energetik qruluşla təyin olunur. İkinci potensial çəpərlərin yaranmasına səbəb kontaktda yaranan əlavə elektrik sahəsinin təsiridir. Real halda iki çəpərlili potensial energetik qruluşla praktiki olaraq təcrübədə alınan nəticələri ətraflı izah eləmək mümkündür.

**Ədəbiyyat**

1. P.K.Мамедов Контакт, металл- полупроводник с электрическим полям пятен , Баку, 2003
2. M.Talibi, Mikroelektronika Bakı 1981

## **НЕЛИНЕЙНОЕ ПОГЛОЩЕНИЕ В КРИСТАЛЛАХ INSE ПРИ ЛАЗЕРНОМ ВОЗБУЖДЕНИИ**

**Бахрамли Т.М., Салманов В.М.\***

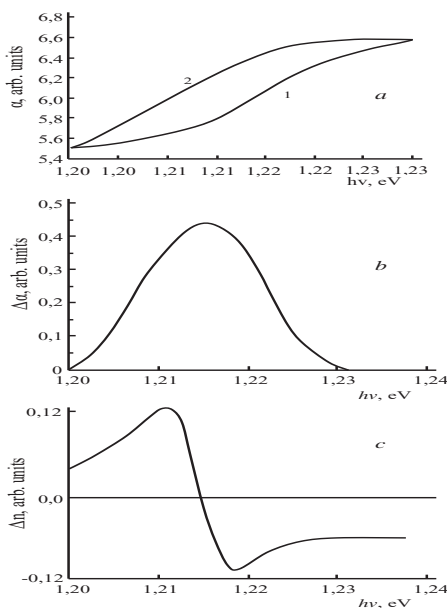
*Бакинский Государственный Университет  
Физический факультет, I курс (магистрант)  
tbehremli@inbox.ru*

**Ключевые слова:** InSe, лазер, нелинейное поглощение.

Кристаллы InSe являются одним из основных элементов квантовой электроники. Эти кристаллы выращивались методом Бриджмена. В качестве источника возбуждения использовался импульсный лазер на второй гармонике Nd: YAG лазера, с длиной волны 532 нм, с частотой 10 Гц, мощностью 12 МВт/см<sup>2</sup> и длительностью импульса 10нс. Вторым источником являлся галогенная лампа для измерения пропускания образцов.

Спектры поглощения InSe при низкой (кривая 1) и высокой (кривая 2) интенсивностях возбуждения представлены на рис.1(а). При высоких уровнях возбуждения коэффициент поглощения уменьшается и вместе с началом поглощения смещается в сторону низких энергий. Изменение коэффициента поглощения  $\Delta\alpha$  можно получить прямым вычитанием кривых 1 и 2. Результат представлен на рис.1(б). Из соотношения Крамерса-Кронига можно определить изменение показателя преломления  $\Delta n$ .

На наш взгляд, наблюдаемое нелинейное поглощение в InSe при лазерном возбуждении можно объяснить влиянием тепловой нелинейности. Действительно, при возбуждении полупроводников мощным лазерным излучением образуются электронно-дырочные пары. Рекомбинация этих носителей в основном происходит по двум каналам, радиационным или безызлучательным. При излучательной рекомбинации происходит испускание фотонов. В случае безызлучательной рекомбинации электронно-дырочные пары передают свою энергию кристаллу, что соответствует нагреву решетки.



В большинстве полупроводниковых кристаллов нагревание образца уменьшает ширину запрещенной зоны с соответствующим красным смещением относительно края полосы поглощения.

$$E_g(T) = 1250 \text{ meV} - \frac{0.58T^2}{T + 226 \text{ K}} \frac{\text{meV}}{\text{K}}$$

### Литература

1. Kalafî M., Bidadi H., Tajalli H., Salmanov V.M. Нелинейное поглощение света в кристаллах GaSe на границе фундаментального поглощения. Оптические материалы, 1996, 6, 117-120.
2. Панков Ж. Оптические процессы в полупроводниках. М. Мир, 1973, 456 с.

## Si/ Cd<sub>1-x</sub>Zn<sub>x</sub>S HETEROKEÇİDİNİN FOTOELEKTRİK XASSƏLƏRİNƏ TERMİK EMALIN TƏSİRİ

Məhərrəmova A.N., Cəfərov M.A.\*

Bakı Dövlət Universiteti

Fizika fakültəsi, II kurs (magistrant)

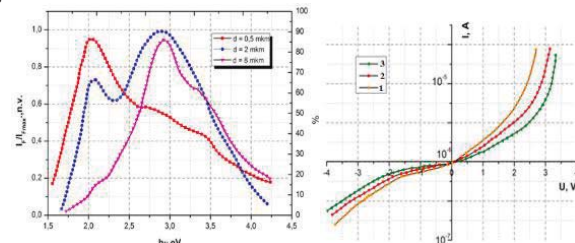
aygunmaharramovaa@gmail.com

**Açar sözlər:** fotoelektrik xassələr, nazik təbəqə, heterokeçidlər.

Heterokeçidlərin fotoelektrik xassələrinin tədqiqi fototranzistorlarda və günəş elementlərində praktiki tətbiqi baxımından çox aktualdır. Qeyri-ideal heterokeçidlərdə yarımkəcicilərin müxtəlif xassələri ilə bağlı bir sıra müxtalif effektlər və hadisələr müşahidə olunur. Qeyri-ideal heterokeçidlərin praktiki tətbiqinin perspektivi hər şeydən əvvəl monokristal heterostrukturla müqayisədə polikristal heterostrukturun daha sərfəli alınma texnologiyası ilə bağlıdır. Qeyri-ideal heterokeçidlərin öyrənilməsinin istiqamətlərindən biri də A<sup>2</sup>B<sup>6</sup> birləşmələrinin əsasında günəş elementlərinin tətbiqi imkanlarının araşdırılmasıdır[1-3].

Müxtəlif kimyəvi və faizcə tərkibli Cd<sub>1-x</sub>Zn<sub>x</sub>S nazik təbəqələri Si altlıqlar üzərində məhluldan kimyəvi çökdürmə metodu ilə alınmışdır. Si/ Cd<sub>1-x</sub>Zn<sub>x</sub>S strukturlarına havada 300<sup>0</sup>C temperaturda termik emalın təsiri öyrənilmişdir. Tədqiq olunan heterokeçidin fotohəssaslığın spektral paylanması, qaranlıq və işıqda volt-amper xarakteristikaları tədqiq olunmuşdur.

Fotohəssaslığın spektral paylanması (FSP) tədqiqi müxtəlif qalınlıqlı Cd<sub>1-x</sub>Zn<sub>x</sub>S nazik təbəqəsindən hazırlanmış heterostrukturlar üçün aparılmışdır. Nazik təbəqənin qalınlığı 0,3, 1 və 2 mkm olan nümunələr tədqiq edilmişdir. Nazik təbəqənin qalınlığının dəyişməsi bizə heterostrukturun maksimal fotohəssaslıq oblastını dəyişdirməyə imkan vermişdir. Şək.1.-də Cd<sub>1-x</sub>Zn<sub>x</sub>S (x=0,5) nazik təbəqələrinin müxtəlif qalınlıqları üçün heterokeçidin FSP göstərilmişdir. Bu asılılıqlar U<sub>c</sub> = 2,5 V üçün alınmış və maksimal fotocərəyanın qiymətinə normalaşdırılmışdır.



Şəkil 1. Si/ Cd<sub>1-x</sub>Zn<sub>x</sub>S izotip heterostrukturunun nazik təbəqələrin müxtəlif qalınlıqları üçün FSP, d, mkm: 1 – 0,3; 2 – 1; 3 – 3.

Şəkil 2. Si/ Cd<sub>1-x</sub>Zn<sub>x</sub>S heterokeçidinin T = 300 K temperaturda stasionar volt-amper xarakteristikaları. X=:, 1-0,2, 2-0,3, 3-0,5.

Si/ Cd<sub>1-x</sub> Zn<sub>x</sub> S heterokeçidinin termik emaldan əvvəl qaranlıq volt-amper xarakteristikaları müxtəlif tərkibli Cd<sub>1-x</sub> Zn<sub>x</sub> S təbəqələri üçün şək2.də göstərilmişdir. Təbəqələrin tərkibində Zn -in miqdarı artıraqca düzüñə və əksinə cərəyanların qiyməti azalır.

Müxtəlif müddətlərdə termik emal olunmuş Si/Cd<sub>1-x</sub> Zn<sub>x</sub> S (x=0,5) heterokeçidinin termik emaldan sonra qaranlıq və işıqda VAX-a əsasən termik emaldan sonra heterokeçidlərin VAX-1 daha kəskin qeyri simmetrik olur və düzləndirmə əmsali artır. Müxtəlif müddətdə termik emal olunmuş Si/ Cd<sub>1-x</sub> Zn<sub>x</sub> S (x=0,5) heterokeçidinin işıq VAX təhlili göstərir ki, havada 20 dəq. müddətində termik emal olunmuş heterokeçidlər üçün açıq dövrə gərginliyi 0,9V, qısa qapanma cərəyanı 36-38 mA/sm<sup>2</sup>-a çatır. Tədqiq olunan heterokeçidlərin əksinə VAX-da termik emaldan sonra aralıq təbəqələrinin iştirakı nəticəsində tunel proseslərinin ehtimalının azaldığı görünür.

### **Ədəbiyyat**

1. Schrier J., Demchenko D.O., Wang L.-W. Optical Properties of ZnO/ZnS and ZnO/ZnTe. Heterostructures for Photovoltaic Applications // Nano Lett., 2007, Vol.7(8), P.2377-2382.
2. C. Kumar, N. Hoa, S. Yoon and E. Kim, Highly Photoconductive CdS Thin Films Synthesized by Using Chemical Bath Deposition, Journal of Korean Physical Society, 55 1 (2009) 284-287.
3. C. Perkins, F. Hasson, Surfactant-Assisted Growth of CdS Thin Films for Photovoltaic Applications, J. Vac. Sci. Tech. A Vacuum Surfaces and Films, 24 3 (2006) 497-504.

## PLAZMON REZONANSINDA ƏKS OLUNMA ƏMSALININ MİNİMÜMLARININ ENERJİSİNİN BUCAQDAN ASILILIĞI

Hüseynova Ş.T., Cahangirli Z.A.\*

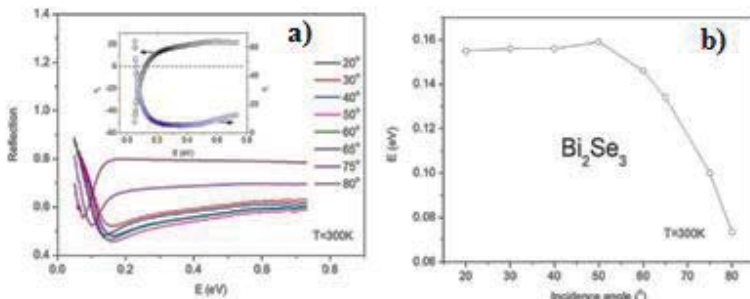
AMEA Fizika İnstitutu

Bərk cisimlər fizikası, I kurs (magistrant)

huseynovasharabani@gmail.com

Spektroskopik ellipsometriya metodу vasitəsilə 0.50-0.740 eV infraqırmızı energetik intervalda dar zolaqlı  $\text{Bi}_2\text{Se}_3$  yarımkəcərincinin monokristal nümunəsi tədqiq edilmişdir. Bu birləşmə plazmonik cihazlarda istifadə üçün perspektiv maddə hesab olunur. Bu səbəbdən optik xüsusiyyətlərinin öyrənilməsi vacibdir.

Verilmiş tədqiqat işində spektroskopik ellipsometriyada əsas parametrlər olan Psi və Delta eksperimental olaraq ölçülmüş və sonra bu nəticələrdən istifadə edərək psevdio-dielektrik funksiyasının həqiqi və xəyalı hissələri hesablanmışdır (Şəkil 1.a, daxili qrafik). Əldə edilən məlumatlara əsasən işığın əks olunma əmsalları əks olunma bucaqlarından asılı olaraq hesablanmışdır[1] (Şəkil 1a). Əks olunma əmsalinin minimumunun enerjisi plazma rezonansının enerjisini uyğundur. Şəkil 1b -də əks olunma əmsalinin minimumlarının enerjisinin bucaqdan asılılığı göstərilmişdir.  $20^\circ$  -  $50^\circ$  bucaq intervalında demək olar ki, minimumların energetik vəziyyəti dəyişmir,  $50^\circ$  - dən sonra minimum aşağı enerjili bölgəyə keçir. Minimumların energetik vəziyyətlərinin bucaqdan belə kəskin asılılığı səthi plazmon rezonansına xasdır.



Şəkil 1. a)  $\text{Bi}_2\text{Se}_3$  fərqli bucaqlarda əks olunma əmsali və daxili qrafikdə dielektrik funksiyasının foton enerjisindən asılılığı b) əks olunma əmsalinin minimumlarının enerjisinin bucaqdan asılılığı

### Ədəbiyyat

1. H. Fujiwara, Spectroscopic Ellipsometry: Principles and Applications, West Sussex John Wiley & Sons Ltd (2007).

## **PAYLANMIŞ DƏYİŞƏN TUTUMLU UZUN BORUDA İONLAŞMA DALĞASI**

**Kazimova N.N., Ağayev M.N.\***

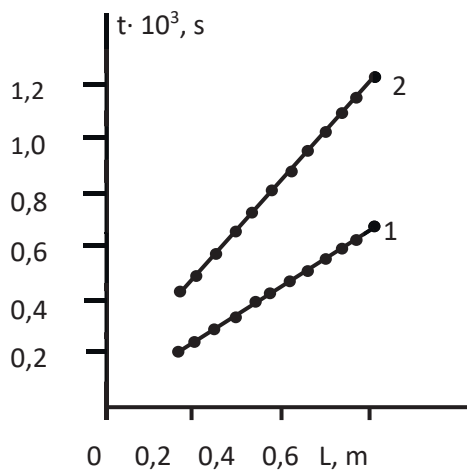
*Bakı Dövlət Universiteti  
Fizika fakültəsi, I kurs(magistrant)  
azmova12@gmail.com*

**Açar sözlər:** ionlaşma dalğası, uzun borular, soliton.

İonlaşma dalğaları boşalma aralığında qazların elektrik keçiriciliyi zamanı yarana bilər. Bu hərəkət paylanmış tutumunun yüksəlməsi ilə müşayiət olunur [1,2].

Elektroda verilən gərginliyin müntəzəm artımı zamanı elektrod yaxınlığında zəif işıqlanma baş verir və birinci halqanın dövrəsində cərəyan impulsları qeyd olunur. U gərginliyin sonrakı artımında işıqlanma və cərəyan impulsları getdikcə böyük məsafədə əmələ gəlir. Bu zaman daha uzaq halqalardakı impulslar müntəzəm şəkildə zamana görə sürüşürlər. Bu prosesin genişlənməsinin son sürətini göstərir. Hələ də yüksək impulsu qeydə alınan halqada impulsun yaranma müddəti alışdırıcı elektroda verilən gərginlik maksimumu ilə üst-üstə düşür. Nəhayət, U gərginliyinin daha böyük qiymətlərində proses bütün boru boyunca yayılır. Baxılan rejimdə divarlar üzərində yüksək yığılması baş vermir, belə ki hər dövrdə alışdırıcı elektrod ilə divar arasında iki qısamüddətli boşalma yaranır.

Boru boyunca dəyişən paylanmış tutumun ionlaşma dalğası cəbhəsinin və sürətinə təsirini təyin etmək üçün, boru boyunca paylanmış tutumun azalma istiqamətində ionlaşma cəbhəsinin borunun müxtələf məsafələrindən keçmə zamanının tipik qrafiki şəkil 1 – də verilmişdir. Təcrübə arqon qazında 0,27 Tor təzyiqində, alışdırıcı elektroda verilən gərginliyin  $f = 100\text{hs}$  qiymətində aparılmışdır. Sürət xəttin meyil bucağı ilə təyin edildiyindən, qrafikin xətti olması boru boyunca sürətin sabit qalmasına dəlalət edir. Baxmayaraq ki, borunun uzunluğu boyunca  $C_0$  tutumu müntəzəm azalır, amma boru boyunca sabit paylanmış tutumda olduğu kimi sürət sabit qalaraq, yalnız alışdırıcı elektroda verilən gərginliyin qiymətindən asılı olaraq bir necə fiksə olunmuş qiymət alır. Bu faktə əsasən belə nəticəyə gəlmək olar ki, dalğanın sürəti əsasən boşalma rejimi ilə müəyyən olunur.



Şəkil 1. İonlaşma cəbhəsinin yerdəyişmə müddətinin alışdırıcı elektrodon olan məsafədən asılılıq qrafiki.

Alınan nəticə öz izahını ionlaşma dalğalarının mexanizmi haqqındaki mövcud təsəvvürlər çərçivəsində tapır.

#### Ədəbiyyat:

- Недоспасов А.В, Новик А.Е. "Скорость распространения фронта ионизации при пробое длинных разрядных трубок", Ж.Т.Ф.т.30., №11, 1960. стр.1329,
- G.M.Sadiqzadə, M.N.Agayev. Tutumu qeyri-monoton dəyişən uzun boşalma borusunda ionlaşma dalğasının tədqiqi. Fizikanın müasir problemləri VII Respublika konfransı. 2013, c.159-161.

## DİSLOKASIYANIN MÜƏYYƏNLƏŞDİRİLMƏSİNİN SƏTH METODU

Abbasova Ç.Y., Səfərov V.H.\*

Bakı Dövlət Universiteti

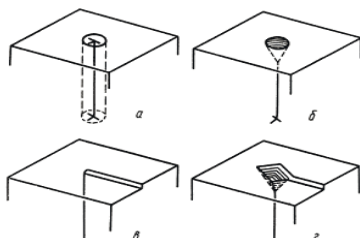
Fizika fakültəsi, II kurs (magistrant)

Chichek.1996@gmail.com

**Açar sözlər:** termal aşındırma, katod püskürmə, spiral dislokasiya, kənar dislokasiya

Dislokasiya olan bir kristal, atomları səthdən kənarlaşdırın (həll edən) bir mühitə qoyulursa, dislokasiyanın səthə və ətrafdakı matrisə çıxdığı nöqtəyə yaxın atomların həll dərəcələri fərqlənə bilər. Bu fərq dislokasiyanın aşağıdakı xüsusiyyətləri nəticəsində yaranır: a) kristal qəfəsin təhrif edilməsi və dislokasiyanın deformasiya sahəsi; b) spiral dislokasiyası ilə əlaqəli xəttlərin həndəsəsinin xüsusiyyətləri; c) dislokasiyadakı materialın kimyəvi tərkibini dəyişdirən dislokasiyada atomların konsentrasiyasının artırılması.

Dislokasiyanın çıxışına yaxın olan atomların çıxarılma sürəti kristalin əsas matrisindən daha çox olarsa, bu yerdə bir çuxur əmələ gəlir və səthdəki bir çuxur böyümənin əksinə bir proses tərafindən istehsal olunur. Büllur (Şəkil 1), daha az olarsa, kiçik bir təpə meydana gəlir. Atomların bir səthdən yavaş-yavaş nəzarət altında çıxarılması üçün bir çox metod var. Ən ümumi və rahat metod kimyəvi və elektrolitik aşındırma metodudur. Digər üsullara termal aşındırma (kristal vakuumda yüksək temperaturda qızdırıldığda atomlar buxarlanaraq çıxarılır) və katod püskürmə (atomlar ion bombardmanı nəticəsində səthdən çıxarılır) daxildir.



Şəkil 1. Səthdə çıxıntılarının əmələ gəldiyi yerlərdə aşındırma çuxurlarının əmələ gəlməsi: a - kənar dislokasiya, dislokasiyanın ətrafindakı silindrik zona ətrafdakı kristaldan fərqlənən fiziki və kimyəvi xüsusiyyətlərə malik bir bölgədir; b - defekt bölgəsindən atomların üstün çıxarılması nəticəsində kənar dislokasiya üzərində əmələ gələn konik çuxur; c - spiral dislokasiyasının çıxış nöqtəsi; d - spiral dislokasiyası ilə əmələ gələn sarmal çuxur; çuxur kristal böyüməsinin əksinə bir mexanizm nəticəsində meydana gəlir. Son iki metod ümumiyyətlə yalnız spiral dislokasiyasını aşkar edir. Ümumiyyətlə, səth metodları yalnız sağlı dislokasiya sıxlığı olan,  $1 \text{ sm}^2$ -ə 106-dan az olan kristallar üçün uyğundur, çünkü çuxurlar sonlu ölçülərə malikdir və üst-üstə qoyulduğda həll olunması çox çətindir. Dislokasiyaların həcmində paylanması (üç ölçüdə) kristalin ardıcıl bölmələrini araşdıraraq əldə edilə bilər.

**Ədəbiyyat**

1. Киттель Ч. Введение в физику твердого тела. / Пер. с англ.; Под ред. А. Гусева. - М.: Наука, 1978.
2. Д. Халл. Введение в дислокации. / Пер. с англ.; Под ред. В.Н. Быкова. - Атомиздат, 1968, 280 стр.

## BİNAR BƏRK MƏHLULLARDA K>1 OLDUQDA İLKİN ƏRIDİLMİŞ ZONANIN XƏLİTƏNİN SONUNDA YARADILMASI

Yaqubova A.M., Qəhrəmanov N.F.\*

Bakı Dövlət Universiteti  
Fizika fakültəsi, I kurs (magistrant)  
yaqubovaygun116@gmail.com

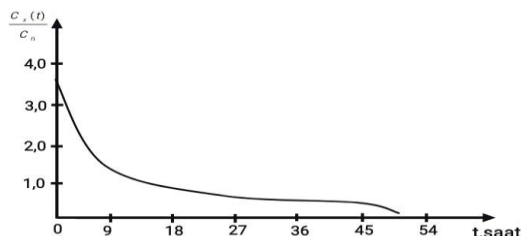
**Açar sözlər:** zona, xəlitə, komponent, konsentrasiya

Ğüclü seqreqasıiyaya malik olan bərk məhlulların monokristallarının alına bilməməsinin əsas səbəblərindən biri də kristallaşma cəbhəsində ifrat soyumanın baş verməsidir. Əvvəlki işlərimizdə istiqamətlənmış kristallaşma yolu ilə alınmış binar bərk məhlul xəlitəsi boyunca paylanmayı dəyişmək üçün zona əritmə üsulundan istifadə etdiyim ki,  $k>1$  olduqda daha əlverişli variant ilkin əridilmiş zonanı son ucunda yaratmadır. Ancaq bir sıra hallarda  $k>1$  olduqda ilkin əridilmiş zonanı istiqamətlənmış kristallaşma yolu ilə alınmış xəlitənin başlangıcında yaratmaq da uğurlu nəticə almağa imkan verir.

Xəlitə boyunca ikinci komponentin dəyişmə qanunu almaq üçün biz kəsilməzlik tənliyini yeni rejim üçün həll etməliyik. Bu halda  $k$ -nın qiyməti məlum olmalıdır, burada praktiki mənası olan ən sadə hal  $k=2$  qiymətidir. Kəsilməzlik tənliyinin həllindən zona əritmədən sonra bütün xəlitə boyunca ikinci komponentin konsentrasiyasının dəyişmə qanununu yiğcam şəkildə belə ifadə edə bilərik:

$$\frac{c_x(t)}{c_0} = \begin{cases} \left(2 + \frac{l}{L} - 2\frac{v}{L}t\right) + \left(2 - 3\frac{l}{L}\right) \exp\left(-2\frac{v}{l}t\right) \\ \frac{v}{l} \left[\frac{3l}{L} + \left(2 - \frac{3l}{L}\right) \exp\left(-\frac{2(L-l)}{l}t\right)\right] \left(\frac{L}{v} - t\right) \end{cases} \quad (1)$$

Alınan bu ifadədən  $\frac{c_x(t)}{c_0}$  nisbətinin xəlitə boyunca ikinci komponentin  $L=100\text{mm}$ ,  $l=10\text{mm}$ ,  $v=2\frac{\text{mm}}{\text{saat}}$ ,  $t=\frac{L-l}{v}=\frac{90}{2}$  saat qiymətləri üçün dəyişmə qanunu şəkil 1-də göstərilmişdir.



Şəkil 1.  $\frac{c_x(t)}{c_0}$  nisbətinin xəlitə boyunca zamandan asılı olaraq (1)-dən hesablanmış dəyişmə qanunu.

**Ədəbiyyat:**

1. A.İ.Şirinova.Fizika üzrə fəlsəfə doktoru dissertasiyanın avtoreferati
2. Tahirov V.İ,Cəfərov T.Q,Salmanova A.İ,Qəhrəmanov N.F,Qidalandırıcıının tətbiqi ilə binar bərk məhlulların bircins monokristallarının yeni alınma üsulu “SPU”, Elmi xəbərlər Cild 12 №4,2012,s.3-7.

## TRİBOELEKTRİK GENERATORLAR VƏ ONLARIN TƏTBİQ SAHƏLƏRİ

Ağayev Ş.M., Kim J. <sup>1\*</sup>, Güləhmədov O.G.<sup>1</sup>

Bakı Dövlət Universiteti

Fizika fakültəsi, IV kurs

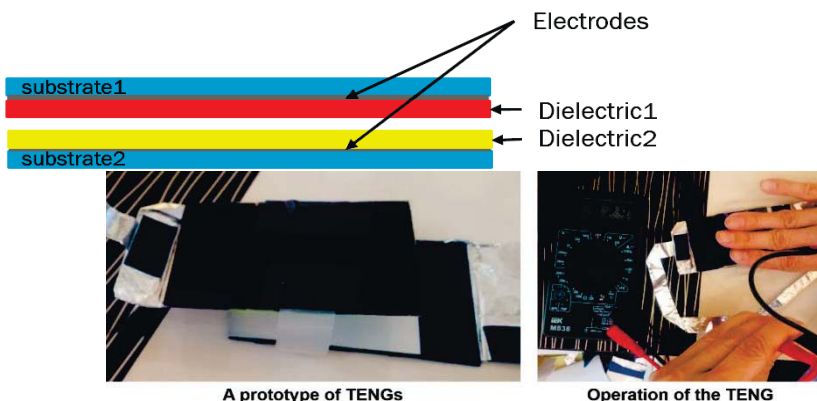
<sup>1</sup>Nanoaraşdırma mərkəzi

justjustinkim@gmail.com

**Açar sözlər:** Triboelektrik generator, dielektrik material, enerji mənbəyi, effektiv güc.

Hal-hazırda elm və texnologiyanın inkişafı nəticəsində yeni növ daşınabilən elektronik cihazların və onların işləməsini təmin edən enerji mənbələrinin yaradılması aktual məsələlərdən biridir. Beləki, bu tip cihazlar həyatın müxtəlif sahələrində (uzunmüddətli səyahətlərdə, hərbi kəşfiyyatda və s.) istifadə oluna bilər. Triboelektrik generatorlar (TEG) belə tip cihazların işləməsini təmin edən enerji mənbəyi kimi istifadə oluna bilər. TEG-lər digər enerji generasiya edən sistemlərə nisbətən bir sıra üstünlük'lərə (məs: daha sadə işləmə mexanizmi, ucuz başa gələn olması, yüngüllüyü, çevikliyi və s.) malik olub gündəlik həyatda müx-təlif (mexaniki, külək, su dalğaları və s.) enerji mənbə-lərindən elektrik enerjisini generasiya edə bilir.

TEG bir üzü müxtəlif metal elektrodlarla örtülmüş iki dielektrik materialdan ibarətdir. Dielektrik materiallar bir-biri ilə kontakta gətirilib ayrılan zaman elektrostatik induksiya hesabına onların səthində eks işarəli yüklerin əmələ gəlir. Bu yükler bağlı yükler olduğundan yaranan elektrik sahəsidə bağlı sahə olacaqdır. Bu sahənin təsiri ilə metal elektrodların səthində eks işarəli yükler yaranır və buda elektrodlarda potensiallar fərqinin əmələ gəlməsi ilə nəticələnir. TEG-in əsas parametrlərindən biri onun effektiv



Şəkil 1. TEG-in quruluşu və ilkin hazırlanmış versiyası.

gücü və güc sıxlığıdır. Hazırlanmış sistem əsasında əldə olunan gərginlik və cərəyanın qiymətinə uyğun olaraq effektiv güc sıxlığı aşağıdakı kimi təyin olunur:

$$W_{eff} = \frac{I^2 R_y}{S}$$

Burada  $W_{eff}$  effektiv güc sıxlığı,  $I$  çıkış cərəyanı,  $R_y$  yük müqaviməti,  $S$  isə TEG-in aktiv sahəsidir. BDU-nun Nano-araşdırırmalar mərkəzində dielektrik material kimi Neylon və Silikon, elektrod kimi isə alminium folqadan istifadə edilərək TEG hazırlanmış və ölçmələr aparılmışdır. Nəticədə 62 ədəd LED-dən ibarət “NANO” ifadəsi işıqlandırılmışdır.

**Ədəbiyyat:**

1. He Zhang, Linjie Yao, Liwei Quan ,Xianglong Zheng “Theories for triboelectric nanogenerators: A comprehensive review”, Nanotecnology Reviews, Vol. 9, no. 1, 2020, pp 610-6251.
2. Feng-Ru Fan, Long Lin, Guang Zhu, Wenzhou Wu, Rui Zhang, Zhong Lin Wang ”Transparent Triboelectric Nanogenerators and Self-Powered pressure Sensors Based on Micropatterned Plastic Films” Nano Lett. 2012,6, 3109-3114.

## (AgSbSe<sub>2</sub>)<sub>0,8</sub>(PbTe)<sub>0,2</sub>-NİN İSTİLİKKEÇİRMƏSİ

Bağirov T.T., Səddinova A.A.\*

Azərbaycan Milli Elmlər Akademiyası

Fizika İnstitutu, II kurs (magistrant)

turalbagirov607@gmail.com

Termoelektrik materiallar ayrılan istilik enerjisini birbaşa elektrik enerjisine çevirir və gələcəkdə enerji tələbatının ödənilməsinədə əhəmiyyətli rol oynayacaq. Lakin bunun üçün yuxarı temperaturlarda effektiv olan termoelektrik materialların alınması vacib məsələlərdən biridir.

AgSbSe<sub>2</sub> üçqat yarımkəcərici birləşməsi fəza qrupu Fm3m olan nizamsız NaCl tip kubik quruluşa malikdir və orta temperatur oblastında işləyən p-tip termoelektrik materialdır [1]. Məlum olduğu kimi, termoelektrik materiallara qoyulan əsas tələb onların termoelektrik effektivliyinin yüksək olmasıdır. Materialların termoelektrik effektivliyini artırmaq məqsədilə, müxtəlif aşqarlardan və ilkin materiallar əsasında yeni bərk məhlulların alınması üsullarından istifadə edilir [2].

Bu məqsədlə, (AgSbSe<sub>2</sub>)<sub>0,8</sub>(PbTe)<sub>0,2</sub> sintez edilmiş və onun istilikkeçirməsi tədqiq edilmişdir. İstilikkeçirmənin tədqiqi materialın bir sıra xassələri barədə dəyərli məlumat verir. Kristal qəfəsin istilikkeçirməsini tədqiq edərək ondakı bütün mümkün olan defektlər: yüklü və neytral aşqarlar, vakansiyalar, dislokasiyalar, elastiki gərginliklər və s məlumat əldə etmək olar. Həmçinin ümumi istilikkeçirmə böyük tətbiqi əhəmiyyətə malikdir. Termoelektrik soyuducuların və generatorların faydalı iş əmsalının təyinində, diod, tranzistor və lazerlərin iş rejimlərinin hesabatında ümumi istilikkeçirmədən istifadə olunur.

(AgSbSe<sub>2</sub>)<sub>0,8</sub>(PbTe)<sub>0,2</sub>-nin istilikkeçirməsi 80-300K temperatur intervalında tədqiq edilmişdir. Tədqiq olunan temperatur oblastında istilikkeçiciliyinin qiyməti praktik olaraq dəyişmir və aşağı qiymətə -  $8 \cdot 10^{-3}$  Vt/sm·K malik olmuşdur.

İstilikkeçiciliyinin elektron hissəsi Videman-Frans qanunu ilə hesablanıb və 1% təşkil edir.

$A^1B^2C_2^6$  qrupuna daxil olan kubik yarımkəcəricilərin qəfəs istilikkeçirməsi fonon-fonon keçidi ilə məhdudlanır. Bunun nəticəsi olaraq fononların sərbəst qaçış yolunun orta uzunluğu atomlar arası məsafə ilə məhdudlanır. Digər tərəfdən, (AgSbSe<sub>2</sub>)<sub>0,8</sub>(PbTe)<sub>0,2</sub> birləşməsi NaCl tip kubik quruluşda kristallaşır və Na atomlarının yerində statistik olaraq gümüş və stibium atomları yerləşir. Kristal qəfəsin eyni düyün nöqtələrində iki növ atomlar paylanmış və buna görə də, birləşmə özünü amorf cisim kimi aparır və istilikkeçirmə demək olar ki, temperaturdan asılı olmur. Fonon spektrlərinin hesablanması göstərmişdir ki,  $A^1B^2C_2^6$  qrupuna daxil olan kubik yarımkəcəricilərin optik rəqsləri çox aşağı tezliyə malikdir və istilik daşınması zamanı akustik rəqslər güclü şəkildə səpilməyə məruz qalır. Akustik fononların rəqsləri və mümkün olan Ag/Sb nizamsızlığı (AgSbSe<sub>2</sub>)<sub>0,8</sub>(PbTe)<sub>0,2</sub>-nin olduqca kiçik qəfəs istilikkeçiciliyinə malik olmasına səbəb olur.

**Ədəbiyyat**

1. Wojciechowski, K., Tobola, J., Schmidt, M., Zybalov, R. Crystal structure, electronic and transport properties of AgSbSe<sub>2</sub> and AgSbTe<sub>2</sub>. Journal of Physics and Chemistry of Solids, 2008, 69(11), 2748–2755
2. Дмитриев, А.В. Завягин, И.П. Современные тенденции развития физики термоэлектрических материалов. Успехи Физических Наук, 2010, т. 180, №8, с. 821-837

## LAYERED STRUCTURES IN NONLINEAR OPTICS

Abbaszade J.M., Kasumova R.J.\*

Baku State University,  
Physics faculty, III course  
*jamilya.abbaszade@mail.ru*

**Key words:** Regular Domain Structures (RDS), electronic polarization, second harmonic generation.

Maxwell's equations make it possible to find currents and charges from a known electromagnetic field, and also to find a field from known currents and charges. As is known, the propagation of light inside an optically anisotropic medium has specific features. In the chosen direction, two linearly polarized waves propagate in the medium at the same frequency with different velocities; wave polarization vectors are mutually perpendicular [1-2].

In recent years, micro- and nano-domain engineering has been actively developing, the main task of which is to create stable regular domain structures (RDS) in ferroelectrics to improve nonlinear optical, electro-optical and acoustic characteristics [3-5].

As is known, when the second harmonic is generated from the wave equation with quadratic nonlinear polarization, the following system of truncated equations is obtained [3]:

$$\begin{aligned} \frac{dA_1}{dz} + \delta_1 A_1 &= -i\gamma_1 A_2 A_1^* \exp(-i\Delta z), \\ \frac{dA_2}{dz} + \delta_2 A_2 &= -i\gamma_2 A_1^2 \exp(i\Delta z), \end{aligned} \quad (1)$$

where  $A_{1,2}$  are the complex amplitudes of interacting waves at frequencies  $\omega_{1,2}$  ( $\omega_2 = 2\omega_1$ ),  $\gamma_{1,2}$  are the coefficients of nonlinear coupling of interacting waves at the corresponding frequencies associated with the quadratic susceptibility of the medium,  $\Delta = k_2 - 2k_1$  is the phase mismatch between the pump and second harmonic waves,  $z$  is the coordinate along the direction of wave propagation.

In the approximation of a given field from this system, we have the following truncated equation in the absence of losses ( $\delta_{1,2} = 0$ )

$$\frac{dA_2}{dz} = -i\gamma'_2 A_{10}^2 \exp(i\Delta z), \quad (2)$$

where  $\gamma'$  is the coefficient of nonlinear coupling of waves,  $\Delta$  is the phase mismatch waves,  $A_{10}$  - complex amplitude of the fundamental wave with frequency  $\omega$ ,  $A_1(z=0) = A_{10}$ .

After leaving the first domain, the wave harmonics and fundamental radiation propagates in the second domain. Solving equations (1), we obtain:

$$A_2(z) = i(\gamma'_2 - \gamma''_2) A_{10}^2 z \operatorname{sinc}(\Delta z/2) \exp(i\Delta z/2) \quad (3)$$

Here  $\gamma''_2$  is the coefficient of nonlinear coupling of waves in the second domain. Such interactions in such inhomogeneous structures are called quasi-synchronous.

#### **References:**

1. [https://tspu.ru/res/fizika/1/KR\\_ELEC/l24.htm](https://tspu.ru/res/fizika/1/KR_ELEC/l24.htm)
2. Дмитриев В. Г., Тарасов Л. В. Прикладная нелинейная оптика. — 2-е изд., глава II, страница 32.
3. M.M. Fejer. G.A. Magel, D.H.Jundt, R.L. Byer. IEEE J. QE, 28 2631-2654 (1992).
4. Z.H. Tagiev, R.J. Kasumova. Phase effects at second harmonic generation in the layer media. Optics & Communications, 2008, v.281, p.814-823.
5. R.J. Kasumova. Quasi-phase-matched intracavity laser frequency summation. Applied Optics, 2012, v. 51, No 13, p.2250-2256.

## ПРЯМОЕ МЕЖЗОННОЕ ПОГЛОЩЕНИЕ СВЕТА В КВАНТОВЫХ ТОЧЕК ПРИ НАЛИЧИИ ВНЕШНЕГО ЭЛЕКТРИЧЕСКОГО ПОЛЯ.

Магеррамова Б.Е., Ибрагимов Г.Б.\*

*Бакинский Государственный Университет  
Физический факультет, II курс (магистрант)  
bahar.maharramova@bsu.edu.az*

В последнее время возрастает интерес к полупродниковым квантовым точкам (КТ), что обусловлено новыми физическими свойствами этих нульмерных объектов, которые в основном являются следствием размерного квантования (РК) носителей заряда в них. Развитие новейших технологий роста, таких как эпитаксиальный метод Странски-Крастонова и т.д., сделали реальным выращивание КТ различных форм и размеров. Энергетический спектр НЗ в КТ полностью квантован и напоминает энергетический спектр атомов, поэтому КТ иногда называют «искусственными атомами». В последние годы появилось много теоретических экспериментальных работ, где рассмотрены эллипсоидальные, пирамидальные, цилиндрические линеобразные КТ. В результате РК физические свойства НЗ в таких структурах сильно зависят от внешних формы объекта. В ряде работ было показано, что даже малое изменение внешней геометрической формы КТ сильно влияет на спектр НЗ в таких структурах. Иными словами, геометрическая форма и размеры конкретно взятого образца является рычагом управления энергетическим спектром и другими физическими характеристиками НЗ в КТ.

В настоящее время интенсивно исследуются полупроводниковыеnanoструктуры, схожие со структурами типа GaAs/Ga<sub>x</sub>Al<sub>1-x</sub>As. Во время роста КТ в результате диффузии формирующийся ограничивающий потенциал в большинстве случаев с большой точностью аппроксимируется параболическим потенциалом. Однако, эффективный параболический потенциал может возникнуть в КТ также в силу особенности ее внешней формы. В частности, речь идет о КТ, имеющей форму сильно сплюснутого (вытянутого) эллипса идущего вращения.

Перейдем к рассмотрению прямого межзонного поглощения света ССЭКТ в режиме сильного РК, когда кулоновское взаимодействием между электроном и дыркой можно пренебречь.

Рассмотрим случай тяжелой дырки. Коэффициент поглощения определяется выражением :

$$K = A \Sigma \left| \int \Psi \Psi^* dr \right|^2 \delta(hE_g - E^e - E^h) \quad 1.1$$

В режиме сильного РК окончательно для величины К и для края поглощения получим :

$$K = A \Sigma \delta(h\Omega - E_g - E^e - E^h) \quad 1.2$$

$$W_{100} = 1 + \pi a/4c^2 + \pi a/a_1 c_1 \quad 1.3$$

Формула 1.3 характеризует зависимость эффективной ширины запрещенной зоны от полуосей  $a_1$  и  $c_1$ . С уменьшением обеих полуосей КП сдвигается в коротковолновую область , однако зависимость от малой полуоси проявляется сильнее.

### **Литература**

1. М.К.Керимов, А.Ш.Мехтиев, В.М.Салманов. Современная оптика полупроводников .Баку: «ЭЛМ»,2006.-468 с
2. Салманов В.М.,Гусейнов А.Г., Мамедов Р.М.Оптические квантовые генераторы.Баку 2018.204стр

## BORN-QABER TSİKLİNƏ ƏSASƏN NaCl KRİSTALININ İLİŞMƏ ENERJİSİNİN HESABLANMASI VƏ DİSSOSASIYA ENERJİSİNİN TƏYİNİ

Hüseynova S.F., Orucov A.K.\*

Bakı Dövlət Universiteti  
Fizika fakültəsi

İon kristalı üçün ilişmə enerjisi-U, kristalin əmələgəlmə Q-enerjisini bərabər deyil, lakin ondan tapıla bilər. Bunun üçün Born və Qaber [1] təklif etdiyi dairəvi prosesdən istifadə etmək olar.(1) Prosesin birinci mərhələsində kristal ion qazına ayrılır. Bunun üçün kristalin  $U_{\text{NaCl}}$  enerjisi qədər enerji tələb edilir. Sonra ion qazının atomar Na və Cl qazına çevrilməsi baş verir. Bu zaman Na atomunun ionlaşma potensialına bərabər  $+J_{\text{Na}}$  enerjisi ayrılır. Cl atomu üçün is elektronun hərislik enerjisi qədər  $-\varepsilon_{\text{Cl}}$  enerji udulur. Daha sonra isə Na buxarlarının kondensasiya edərək metallik Na əmələ gətirməsinə və 2 atomlu Cl molekulunun yaranmasına baxılır. Hər 2 proses enerjinin ayrılması ilə müşayət olunur. Na üçün bu enerji kristalin sublimasiya istiliyinə  $+L_{\text{Na}}$  enerjisini və molekulyar Cl-un dissosasiya enerjisinin yarısına bərabər olurlar. Prosesin sonu standart şəraitdə götürülmüş komponentlərdən NaCl kristalinin əmələ gəlməsi prosesi olur. Bu zaman NaCl-un əmələ gəlmə istiliyinə bərabər qədər enerji ayrılır  $+Q_{\text{NaCl}}$ . Buradan,

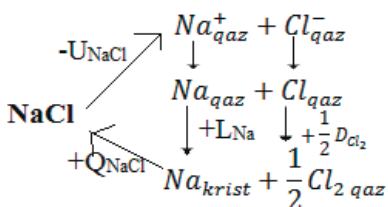
$$U_{\text{NaCl}} = Q_{\text{NaCl}} - \varepsilon_{\text{Cl}} + \frac{1}{2} D_{\text{Cl}_2} + J_{\text{Na}} + L_{\text{Na}} \quad (2)$$

(2) ifadəsində sağ tərəfdəki bütün hədlər məlumdur.Bu imkan verir ki, ion kristalının enerjisini eksperimental təyin etmək mümkün olsun.

Cədvəldə NaCl r üçün enerjinin hesablanmış qiymətləri verilmişdir.

Kristal	U, erq/mol·10 <sup>-12</sup>					U, kkal/mol	
	Ae <sup>2</sup> /r	C/r <sup>6</sup>	Be <sup>-1</sup> /ρ	ε <sub>0</sub>	U	Hesablanılmış	Eksperiment
NaCl	-14.18	-0.20	+1.63	+0.12	-12.63	-183.1	-181.3

Bu hesablamalarda ionların Kulon qarşılıqlı təsir enerjini, eləcə də Van-der-Vals cəzbətmə enerjisi c/r<sup>6</sup>, itələmə enerjisi və sıfırıncı ε<sub>0</sub> enerjisi nəzərə alınmışdır. Axırıncı 2 sütunda hesablamadan və təcrübədən tapılmış qiymətlər verilmişdir.Bir sıra alımlar, məsələn, A.E. Feresman və A.F. Kapustinski ion kristalının enerjisinin qiymətinin tapılmasına dair sadələşmiş düstur təklif etmişlər. A.F. Kapustinski

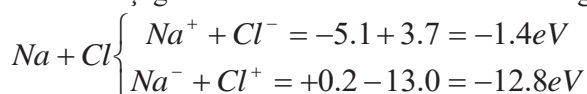


$$U_0 = -\frac{Z_1 Z_2 e^2 Na}{r_1} \left(1 - \frac{1}{n}\right) \quad (3)$$

(3) ifadəsinin köməyi ilə aşağıdakı düsturu vermişdir:

$$U_0 = -287.2 \frac{\sum m Z_1 Z_2}{r_A + r_k} \left(1 - \frac{0.345}{r_A + r_k}\right)$$

$r_A$  və  $r_k$ - ionların radiusları,  $Z_1$  və  $Z_2$ - isə onların yük ədədləridir. Atomlardan ion əmələ gəlməsi enerjisi ionlaşma enerjisi ilə hərislik enerjilərinin cəbri cəmi kimi müəyyən edilir. Aşağıda  $\text{NaCl}$  molekulundan ion əmələ gəlməsi göstərilmişdir:



Hər iki halda ionlar bir-birinə 2.5 -ə qədər yaxınlaşdıqda Kulon qarşılıqlı təsir enerjisi eyni olur və

$$U = eV = \frac{e^2}{r} = e \frac{4.8 \cdot 10^{-10}}{2.5 \cdot 10^{-5}} SQSE = 1.9 \cdot 10^{-16} SQSE = 5.7 \text{ eV} \text{ olur.}$$

$\text{NaCl}$  üçün enerjinin bu qiyməti spektroskopik təcrübədə tapılmış qiymətlə eynidir. Bu enerji birinci halda ionların əmələ gəlməsi işindən çıxdır, ikinci halda isə kifayət qədər azdır. İon molekulu neytral atomlara parçalanmaya nəzərən dayanıqsızdır.  $\text{Na}^+$ - $\text{Cl}^-$  ion molekulunun neytral atomlara dissosasiya enerjisi 4.6 eV olur. Nəzəri şəkildə hesablanmış bu enerjiləri səthi ionlaşma hadisəsinə görə də tapmaq mümkündür. Səthi ionlaşma dedikdə, yüksək temperaturlara qədər qızmış metalin səthində, molekulların dissosasiya edərək ionlaşması və yaxud atomların ionlaşması başa düşülü. [2]. Metalın səthinə düşən molekulun dissosasiya enerjisindən molekulun komponentlərinin ionlaşma enerjisindən, səthin çıxış işindən və s. asılıdır. Burada baxılan enerjiləri təyin etmək üçün Şottki tsiklindən istifadə edilir. Şottki tsiklində əgər səthə adsorbsiya etmiş atomun və ya molekulun buxarlanma istilikləri məlum olarsa, onda ionlaşma enerjisini və molekulun dissosasiya enerjisini tapmaq olar. [2]-də alınan nəticələrdən istifadə edərək  $\text{NaCl}$  molekulu üçün dissosasiya enerjisi komponentlərin ionlaşma enerjiləri və adsorbsiya desorbsiya sürətlərini ifadə edən əmsallar, o cümlədən tezlik faktoru da hesablanmışdır.

### Ədəbiyyat

- Оруджов А. К. Диссоциация молекул  $\text{NaCl}$  на поверхности рения и рения с углеродным покрытием. Вестник БГУ, серия физ-мат.наук, 2005, №4, с.36-40
- Жданов Г.С.Физика твердого тела .Москва .1962.с.498.

## **PEROVSKITE SOLAR CELL**

**Ganbarova S.V., Mammadov H.M.\***

*Baku State University*

*Physics Faculty, IV grade*

*sevinjganbarova@bsu.edu.az*

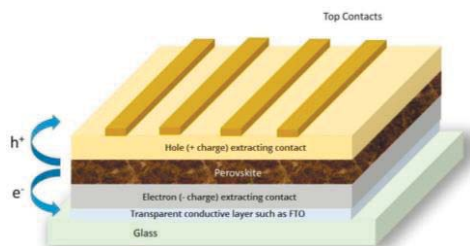
A solar cell is a device that converts light energy directly into electrical energy via photovoltaic effects. A photovoltaic solar cell is made of tree main parts: light absorber, carrier collector and metal contacts. And core of a solar cell is light absorber.

Next generation of photovoltaic technologies is Perovskite solar cell. Perovskite structure is any material with the same type of crystal structure as  $\text{CaTiO}_3$  ( $\text{ABX}_3$ ). Perovskite materials used in solar cells are a kind of organic-inorganic metal halide compound with the perovskite structure. “A” cation ( $\text{CH}_3\text{NH}_3^+$ ,  $\text{MA}^+$ ,  $\text{CH}(\text{NH}_2)_2^+$ ,  $\text{FA}^+$ ) is located the vertex of the face-centred cubic lattice. “B” cation ( $\text{Pb}^{2+}$ ,  $\text{Sn}^{2+}$ , etc.) is located at the core and halogen anion “X” ( $\text{Cl}^-$ ,  $\text{Br}^-$ ,  $\text{I}^-$ ) sits in the face centers.

Mostly studied organic-inorganic hybrid is methylammonium lead trihalide ( $\text{CH}_3\text{NH}_3\text{PbX}_3$ ).  $\text{CH}_3\text{NH}_3\text{PbI}_3$  is most used material due to making high efficiency perovskite solar cell. The material has excellent photoelectric properties, lower exciton binding energy, and high optical absorption coefficients ( $1.5 \times 10^4 \text{ cm}^{-1}$  at 550 nm). Perovskite absorber layer absorbs light efficiently. Electrons and holes can be effectively transmitted and collected.

The perovskite solar cell consists of three layers that are sandwiched between metal contacts. Firstly, starting transparent contact on a glass substrate. The transparent contact is made of fluorine doped tin oxide (FTO). On top of that, a layer of titanium dioxide deposited which is n-type semiconductor, that is used to conduct electrons. These first two layers make up the anode in solar cell. On top of that a perovskite ( $\text{CH}_3\text{NH}_3\text{PbX}_3$ ) deposited. On top perovskite layer the small molecule Spiro-OMeTAD deposited which is p-type layer. That is used to conduct holes. Lastly, on top of that a contact evaporated which made of gold. Spiro-OMeTAD gold layer makes up the cathode in solar cell.

Perovskite solar cells aim to increase the efficiency and lower the cost of solar energy. Perovskite PVs provide high efficiencies and reduced processing costs. A big advantage perovskite PVs is that they can react to various different wavelengths of light, which lets them convert more of the sunlight that reaches them into electricity. Efficiency of perovskite solar cells is 25.2% at the laboratory record. Researchers are also combining perovskite solar cells with conventional silicon solar cells— record efficiencies are currently 29.1% and rising rapidly. Moreover, advantages of perovskite PVs are flexibility, semi-transparency, tailored form factors, light-weight and more. These characteristics will open up many more applications for solar cells.



## References

1. <https://www.perovskite-info.com/perovskite-solar>
2. <https://www.cei.washington.edu/education/science-of-solar/perovskite-solar-cell/>
3. Svanström, S., Jacobsson, T. J., Sloboda, T., Giangrisostomi, E., Ovsyannikov, R., Rensmo, H., & Cappel, U. B. (2018). Effect of halide ratio and Cs<sup>+</sup> addition on the photochemical stability of lead halide perovskites. Journal of Materials Chemistry A, 6(44), 22134-22144.
4. Wang, X., Zhang, T., Lou, Y., & Zhao, Y. (2019). All-inorganic lead-free perovskites for optoelectronic applications. Materials chemistry frontiers, 3(3), 365-375.
5. Shuai, Zhao. First-Principles Study of Inorganic Double Perovskites for the Application of Solar Cells and Fuel Cells. 2016, pp. 1–86, First-Principles Study of Inorganic Double Perovskites for the Application of Solar Cells and Fuel Cells.

## MOLİBDENİN –BARİUM TƏBƏQƏLİ SİSTEMİN EMİSSİYA PARAMETRLƏRİNİN TƏYİNİ

Fərmanzadə S.Y., Orucov A.K.\*

Bakı Dövlət Universiteti  
Fizika fakültəsi, II kurs (magistrant)

Məlumdur ki, metalda sərbəst elektronlar vardır. Bəs nə üçün adı halda bu elektronlar metali tərk etmir? Metalı qızdırıldıqda isə elektronlar "buxarlanır". Temperaturun artması ilə ayrılan elektronların sayı artır. Onda belə nəticəyə gəlmək olar ki, metalın səthində elektronu saxlayan qüvvələr mövcuddur və elektronun metali tərk etməsi üçün bu qüvvələrə qarşı müəyyən iş görülməlidir. Bu işə tam çıxış işi deyilir. Çıxış işinin iki əsas səbəbi vardır.

1. İkiqat elektrik layında təsir edən qüvvəyə qarşı görülən işi.

2. Güzgü əksi qüvvələrinə qarşı görülən işi.

Metallar üçün Fermi enerjisi sadə fiziki mənaya malik olub, mütləq sıfırda elektronun maksimal kinetik enerjisini bərabərdir. Elektronların əksəriyyətinin enerjisi Fermi səviyyəsinə yaxın olduğundan elektronun metali tərk etməsi üçün ona verilən minimal enerji tam çıxış işindən Fermi enerjisi qədər az olar. Bu minimum enerji elektronun effektiv çıxış işi və ya sadəcə olaraq çıxış işi adlanır. Elektronun metali tərk etməsi üçün çıxış işi tələb olunur. Ona görə də elektronun metalda hərəkətinə onun müəyyən hündürlüyü olan potensial quyuda hərəkəti kimi baxa bilərik. Elektronun bu çuxurdakı enerjisini göstərmək üçün iki enerji şkalasından istifadə olunur. Birinci W şkalasında keçirici zonada sükunətdə olan elektronun enerji hesablanması başlangıcı seçilir. Onda cisim daxilindəki keçirici elektronların enerjisi  $W > 0$  və xüsusi halda cisimdən kənarda sükunətdə olan elektronun enerjisi cismin sərhəddindəki potensial çəpərin  $W_a$  hündürlüğünə bərabər olur. Konkret misal olaraq Mo-Ba sisteminə baxılmışdır. Barium örtüyünün molibdenin çıxış işini azaltması aşağıdakı kimi izah edilir. Adsorbsiya qüvvələrinin təsiri ilə səthə yaxınlaşan hər bir Ba atomu polyarlaşır və elektrik dipoluna çevrilir. Bu dipolların əmələ gətirdiyi ikiqat elektrik layı çıxış işini azaldır. İkiqat laya müstəvi kondensator kimi baxsaq, onun əmələ gətirdiyi potensiallar fərqi

$$\Delta\varphi = E \cdot \ell \quad (1)$$

olar.  $E = 4\pi\sigma$ ,  $\sigma = \frac{q}{s}$ ,  $q = N \cdot e$  qiymətlərini yerinə yazaraq və  $p = e \cdot \ell$

dipol momenti olduğunu nəzərə alaraq (1)-dən

$$\Delta\varphi = 4\pi np \quad (2)$$

alıraq. Haradakı,  $n = \frac{N}{3}$  olub, bu  $1sm^2$ -dəki dipolların sayıdır. Təcrübədən tapılmış  $\Delta\varphi$ -nin maksimum qiyməti monolaya yox,  $\Theta_{opt.} = 0,7$  qiymətinə uyğun gelirki, bu da konsentrasiyanın sonrakı  $\Theta > \Theta_{opt.}$  qiymətlərində dipollar arasındakı məsafənin azalması nəticəsində yaranan əks polyarlaşma effekti ilə izah olunur. Bu

zaman əks polyarlaşma effekti nəticəsində p-nin azalması , n-nin artmasından daha çox olur və nəticədə çıxış işi müəyyən qədər arta da bilər. Bu sistemdə daha bir maraqlı nəticə normal Şottki effektinin müşahidə olunmamasıdır. Bu onunla izah edilir ki,Ba atomları molibdenin səthində adacıqlar şəklində deyil, qismən yüksəlmiş (əslində polyarlaşmış) sərbəst atomlar kimi paylanması olur. Barium dipollarının kontakt elektrik sahəsi ləkələrin ikiqat elektrik sahəsinə nəzərən daha tez və az sahələrdə konpensasiya olunurlar ki, bu səbəbdən də cərəyan normal Şottki effektinə uyğun olaraq artır. Göstərilmişdir ki, Mo-Ba örtüklü katodlarda çıxış işinin  $5,1\text{eV}$ -dan  $2,1\text{ eV}$ -a qədər azalması ilə yanaşı  $A_p$  sabiti də  $A_0/A_{\text{Mo-Ba}} \approx 3 \cdot 10^{4\text{ do}}$  dəfə azalır.

### **Ədəbiyyat**

1. A. K. Оруджов. Диффузия атомов калия в рений, покрытый двумерной графитовой пленкой. Физика металлов и металловедение, 2013, том 114, № 1, с. 71–76.
2. A.K. Orujov. Introduction of carbon atoms in the rhenium and getting thick layer graphite film on the surface of rhenium. Journal of Qafqaz University, Baku – 2012, № 34,

## QRAFİT MONOTƏBƏQƏSİ İLƏ ÖRTÜLMÜŞ RENİUM LENTİN EMİSSİYA XASSƏLƏRİ

Nəcəfova Ş.Ş. Orucov A.K.

Bakı Dövlət Universiteti

Fizika fakültəsi

nishesahin@icloud.com

Termoelektron emissiya cərəyanının və ion cərəyanının temperatur asılılığından müəyyən edilmişdir ki, çıxış işi (təmiz səth) 5,2 eV- dan(qrafitlə örtülü səth) 4,5 eV-a kimi azalır. Müəyyən edilmişdir ki metal - təbəqəli sistemlərin bəzilərində ikiölçülü faza keçidi baş verir, karbon atomları reniumun həcmində o vaxta qədər diffuziya edir ki, karbon atomlarının konsentrasiyası artıb verilən temperaturda doyma həddinə çatır və sonra səthdə qrafit monotəbəqəsi əmələ gəlir.Hər temperatur üçün konsentrasiyanın öz doma həddi vardır .

Polikristallik lent və ya naqilləri rekristallaşdırmaq üçün dəyişən cərəyan vasitəsilə yüksək temperaturlara qədər qızdırılmadan istifadə olunur. Bu işdə də yüksək vakuumda uzun müddətli qızdırma zamanı Re polikristal lentləri monokristal nümunəyə çevrilmişdir. Ölçüləri 50mm x 1mm x 0,03mm olan polikrisal renium lenti  $t=20$  saat ərzində, ( $T \approx 2000$  K) dəyişən cərəyan ilə qızdırıldığda rekristallizə olunur və onun (1010) üzü alınır. Rekristallizasiya olunmuş renium lentinin çıxış işi çətin ionlaşan element indiumun səthi ionlaşmasına və termoelektron emissiyasına əsasən (TEE) təyin edilib. Çıxış işi üçün hər iki üsulla demək olar ki, eyni nəticələr alınır ( $e\varphi = 5,17 \pm 0,03$  eV) . Rekristallizasiya olunmuş renium lentinin müqaviməti  $R_{20}^0 = 0,29$  Om idi. Çətin ionlaşan elementin termoelektron emissiya və səthi ionizasiyasını kompensə olunmuş kontakt "ləkə" sahəsində tədqiq ederkən emitterin çıxış işinin praktiki kontraslığını  $\Delta\varphi = \varphi_{\max} - \varphi_{\min}$  tapmaq olar. Çıxış işinə görə bircins səthlər üçün  $\varphi_E^* = \varphi_i^*$  və  $\Delta\varphi = 0$ . Eksperimentlər göstərdi ki, rekristallizasiya prosesi anomal Şottki effektinin zəifləməsinə götərib çıxarır. Məlumdur ki, çətin əriyən metalların səthində Cs, Ba, Th və s. nazik təbəqələrini almaqla belə təbəqəli sistemlərdən effektiv katodlar düzəltmək olar. Bunun üçün yüksək vakuumda yüksək temperaturda bu metalların səthi adsorbisiya olunmuş hissəciklərdən təmizlənir sonra, metalın təmizlənmiş səthinə Ba, Cs və s. lazımlı olan atomlar çökürülür. Məlumdur ki, müxtəlif təbəqələrdə çıxış işini təyin etmək üçün çıxış işi üçün səthi bircinsli olmalıdır [1-3]. Çıxış işi səthin həndəsi bircinslik dərəcəsi ilə, atomların səthə adsorbsiyasının fəza quruluşu ilə əlaqədardır.Xüsusi qaz buraxma sistemindən kütlə - spektrometrinə  $3 \cdot 10^{-5}$  Torr təziqə kimi benzol ( $C_6 H_6$ ) buxarı buraxaraq  $T=(1600 - 1800)$  K intervalında renium üzərində karbon təbəqəsi alınmışdır. Müəyyən edilmişdir ki, bu cür təbəqə qrafit mono- təbəqəsidir. Termoelektron emissiya cərəyanının və ion cərəyanının temperatur asılılığından müəyyən edilmişdir ki, çıxış işi (təmiz səth) 5,2 eV- dan(qrafitlə örtülü səth) 4,5 V-a kimi azalır. Metal - təbəqəli sistemlərin bəzilərində ikiölçülü faza keçidi müəyyən olunmur. [1-4]. Mo- C, Ir - C, Pt - C və digər sistemlərdə isə I növ ikiölçülü faza keçidi müəyyən edilir. Çıxış işinə görə səthin analizi termoelektron emissiya (TEE) və səthi ionlaşmanın (SI) kombinə edilmiş

metodları ilə keçirilir. Re-C sisteminin elektrofiziki xassələrinin CsCl molekulların katalitik dissosiasiyası və termoelektron emissiya TEE metodları ilə öyrənilməsi göstərir ki, benzol buxarlarında qızdırılmış və karbon atomları ilə doydurulmuş  $T \leq 1800$  K-ə qədər renium lenti sonra temperaturu aşağı saldıqda renium lenti üzərində qrafit monotəbəqəsi əmənlə gəlir. Reniumun səthində qrafit monotəbəqəsini almaq üçün , polikristallik renium məftilində olduğu kimi qızdırılmış renium lentinin səthində olan benzol molekullarının parçalanması nəticəsində alınan karbon atomları reniumun hecmində o vaxta qədər diffuziya edir ki, karbon atomlarının konsentrasiyası artıb, verilən temperaturda həll olma həddinə çatır və sonra Re (1010) səthində qrafit monotəbəqəsi əmənlə gəlir, bu proses  $\approx 30 - 40$  dəq. davam edir. Bu zaman lentin müqaviməti otaq temperaturundakı qiymətindən  $R_{20}^0 = 0,29$  Om- dan  $0,46$  Om -a qədər artı. Məlumdur ki, qrafit monotəbəqəsinin metallarda (Ir, Rh, Re) əmənlə gəlməsinin xarakterik əlamətləri - CsCl molekullarının dissosasiya əmsalının təmiz səthdə 1- dən  $\sim 10^{-3} \div 10^{-5}$  qədər azalması , (Me - C üçün) və metalın çıxış işinin dəyişməsidir.(-4,5 eV). Me- C sisteminin bu əlaməti bizim tərəfdən Re- C öyrənilməsi zamanı istifadə olundu. Karbonun həll olma temperaturundan ( $T=1600$ K) çox olması zamanı səthi qrafit monotəbəqəsindən təmizlənir, həmçinin karbon atomları reniumun həcmində həll olur.

### **Ədəbiyyat**

1. Orudjov A.K. Modification of the physical properties of the iridium surface monolayer graphite film as a result of the intensive diffusion of potassium atoms. The Physics of Metals and Metallography, 2011, Volume 111, № 6, p. 626-627.
2. Ф.К. Юсифов, А.К. Оруджов, А. О. Дашдамиров О работе выхода и постоянной Ричардсона пленочной системы Ir(111)-Pd, Ir(111)-C, Ir(111)-Ba. Вестник БГУ, серия физ.-мат. Наук, №1 . 5. 1992.
3. Gall N. R., Rut'kov E. V., Tontegode A. Ya. Interaction of aluminum with iridium surface: Adsorption, desorption, dissolution, and formation of surface compounds Physics of the Solid State, 2006; 48 (2) 369-376
4. Афанасьева Е.Ю. Термодесорбция самария с окисленного вольфрама .ПЖТФ, 2007, том 33, выпуск 6.63-69 с

## OPTİK SUPERQƏFƏSDƏ KVAZİSİNXRON GENERASIYA

Zeynallı A., Kasumova R.J. \*

Bakı Dövlət Universiteti

Fizika fakültəsi, IV kurs

aydanzeynalli4@gmail.com

**Açar sözlər:** nizamlı domen quruluşları, coherent uzunluq, o kvazisinxron qarşılıqlı təsir.

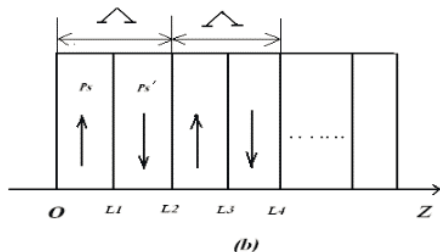
Optik kvant generatorlarının yaranmasından sonra dielektrik nüfuzluğunun işıq dalğasının intensivliyindən asılılığına əsaslanan qeyri-xətti effektlərin araşdırılması geniş vüsət aldı. Koherent şüalanmanın kiçikölçülü mənbələrinin yaradılması lazer fizikasının aktual problemidir. Bu istiqamətdə optik tezliklərin çevrilməsinin müxtəlif üsulları aktiv tədqiq olunur. Aktiv qeyri-xətti kristallarda çoxdalğalı proseslərin reallaşması xüsusi maraq kəsb edir ki, burada qeyri-xətti optik proseslərlə eyni zamanda lazer şüalanmasının generasiyası da baş verir [1].

Məlum olduğu kimi qeyri-xətti effektin toplanması  $l_{coh}$  uzunluqda baş verir. Əvvəlcə  $l_{coh}$  məsafədə əsas şüanın enerjisinin ikinci harmonika dalğasının enerjisini ötürülməsi, sonra isə yenə də həmin  $l_{coh}$  uzunluqda enerjinin eks ötürülməsi baş verir. Bu ilk dəfə təcrübə olaraq ABŞ alımları (R.V. Terxyun və əməkdaşları) tərəfindən müşahidə olunub. Bu təcrübədə qeyri-xətti mühitin uzunluğundan asılı olaraq harmonika dalğasının intensivliyinin ossilyasiyasını tədqiq olunub və kvarts kristal üçün  $l_{coh} \sim 7$  mkm alınıb [2].

Periodik - qeyri-bircins mühitlərin, yəni kvadrat qavrayıcılığının periodic modulyasiyalı mühitlərdən istifadəsi ideyası Blomberqinə məxsusdur. Bu mühitlər qarşılıqlı təsirdə olan dalğaların fazalar fərqinin kompensasiyası üçün nəzərdə tutulur [3].

Son zamanlar ardıcılıqla yerləşdirilmiş seqnetoelektrik domenləri olan laylı mühitlər geniş tətbiq olunur. Buradan belə strukturların daha bir adı – nizamlı domen quruluşlarıdır. Bir domendən digərinə keçid zamanı spontan polyarizasiyasının istiqaməti və kvadrat qeyri-xətti qavrayıcılığın işarəsi dəyişir. Bu da birinci domendəki fazalar fərqli möqayisədə ikinci domendə qarşılıqlı təsirdə olan dalğaların fazalar fərqinin  $\pi$  qədər dəyişməsinə ekvivalentdir. Belə qeyri-bircins strukturlarda qarşılıqlı təsiri bircins mühitlərdə müşahidə olunan sinxron qarşılıqlı təsirdən fərqli olaraq kvazisinxron adlandırırlar [4-5].

Kvazi faza uzalaşması metodunun ideyası şəkildə qeyri-xətti periodik qütbü materiallı kristalda (optik oxunun təkrarlanması periodlu  $\Lambda$  olan periodik qütbü



material) təsvir olunmuşdur. Optik oxların birinin istiqaməti adətən seqnetoelektrik materialın c oxu istiqamətində yönələn materialın sərhədləri daxilində periodik funksiyalı strukturdur. Oxu istiqamətində inversiya qeyri-xətti əlaqə əmsalının işarəsinin inversiyasının nəticəsidir. Bu periodiklik sıfırdan fərqli  $\Delta k$  kompensasiya edə bilər. Bu effekt şəkildə təsvir olunmuşdur. Şəkildə qeyri-xətti optik qarşılıqlı təsirdə generasiya olan dalğanın sahə amplitudunun faza dəyişməsinin uyğun olaraq üç müxtəlif faza uyğunluğunun müqayisəsi verilmişdir.

### **Ədəbiyyat**

1. *R.C. Qaslmova, R. Karaməliyev. Kvant elektronikaslnln əsasları.* 1990.
2. Дмитриев В. Г., Тарасов Л. В. Прикладная нелинейная оптика. 2003.
3. N. Bloembergen,Nonlinear Optics (4th Edition), 1996.
4. M.M. Fejer. G.A. Magel, D.H.Jundt, R.L. Byer. IEEE J. QE, **28** 2631-2654 (1992).
5. Z.H. Tagiev, R.J. Kasumova. Optics & Communications, 2008, v.281, p.814-823.

## AŞQARLI YARIMKEÇİRİCİLƏRDƏ YARARAN CƏRƏYAN RƏQSLƏRİNİN QEYRİ-XƏTLİ YAXINLAŞMADA TEZLİYİNİN HESABLANMASI

Alimova T.A., Həsənov E.R.\*

Bakı Dövlət Universiteti  
Fizika fakültəsi, I kurs (magistrant)  
turkan5@list.ru

**Açar sözlər:** yarımkəcicilər, rəqslər, qeyri – xətti yaxınlaşma, tezlik

Elektron və deşikli yarımkəcicilərdə müxtəlif səpilmə mühəndisliyinin hesabına yaranan rəqslərin statistik və dinamik olma xarakterləri müəyyən edilmişdir. Yaranan rəqslərin tezlikləri və amplitutları analitik olaraq hesablanmışdır. Rəqslərin başlangıç amplitudu təpılmışdır. Başlangıç amplitudun qiymətindən asılı olaraq rəqslərin dayanıqlı və dayanıqsız olması təyin edilmişdir. [1-3] işlərində elektron və deşik tip keçiriciliyə malik yarımkəcicilərdə, xarici elektrik sahəsinin təsiri ilə yaranan cərəyan rəqslərinin tezlikləri və amplitudları nəzəri olaraq tətqiq edilmişdir. Qeyd etmək lazımdır ki, xarici dövrədə cərəyan rəqsləri yarananda (yəni xarici dayanıqsızlıq olanda) xətti yaxınlaşma metodu yaramır. Yəni cərəyan rəqslərini xarakterizə edən tənliklər sistemi qeyri-xətti diferensial tənliklərdir və onların həll olunması aşağıda izahını verdiyimiz metodla olmalıdır. Qeyri xətti diferensial tənliklərin həll olunmasının riyazi metodunun şərhindən əvvəl elektron və deşik keçiricikli yarımkəcicilərdə cərəyan rəqslərini xarakterizə edən tənliklər sistemini yazmışıq.

$$\frac{d^2r}{dt^2} + \omega_0^2 r = \beta \phi \left( r, \frac{dr}{dx}, \frac{dr}{dt} \right)$$

Van-der-Pol tətqiqi ilə xarakterizə olunan rəqsin (bizim tətqiq etdiyimiz elektron və deşik tip keçiriciliyə malik yarımkəcicilərdə xarici elektrik sahəsinin təsiri ilə yaranan rəqslər) birinci yaxınlaşmada  $\omega_1$  tezliyi yüksəlyicilərin güclü ( $v_d > S$ ) elektrik sahəsində səpilmə mexanizmindən kəskin asılıdır.

Beləliklə, səpilmə qeyri-polyar optik fononlardan və akustik fononlardan olduqda elektron və deşik tip keçiriciliyə malik yarımkəcicilərdə yaranan rəqslərin tezliyi üçün analitik ifadə almışıq.

Yaranan rəqslərin tezlikləri yalnız optik səpilmə olduqda artır, bu da o deməkdir ki, optik fononlardan səpilmə daha çox elektrik yüklerinin qeyri-bərabər paylanmasına səbəb olur.

Beləliklə birinci yaxınlaşmada tezlik üçün aşağıdakı ifadəni almışıq:

$$\omega_1 = \omega_0 \left( 1 + 7 \frac{k^2 v^2}{\omega_0^2} \right).$$

### **Ədəbiyyat**

1. [1] The Nonlinear Theory of Gunn Effect. Eldar Rasul oglu Hasanov, Ruhiye Kerem kizi Gasimova, Akber Zeynelabidin oglu Panahov and Ali Ihsan Demirel. Progress of Theoretical Physics. Vol 121 N0.3, March 2009, pp. 593-601.
2. [2] Ultrahigh Frequency Generation in GaAs-ture Two-Valley Semiconductors. E.R. Hasanov, R.K. Gasimova, A.Z. Panahov and A.I. Demirel. Adv. Studies Theor. Phys. Vol 3. 2009 no 8. 293-298.
3. [3] High Frequency Energy Radiation of n-Tyre Semiconductors at Constant Electric and Magnetic Field. Eldar Rasuloglu Hasanov, Akber Zeynalabdin Panahov and Ali Ihsan Demirel. Adv. Studies Theor. Phys. Vol.7,2013, no 21, 1035-1042.

## BÖLMƏ IV

### FİZİKANIN TƏDRİSİ METODİKASI

#### MÜASİR TƏLİM SİSTEMİNƏ UYĞUN OLARAQ ŞAGİRLƏRDƏ FİZİKADAN PRAKTIKİ BACARIQ VƏ VƏRDİŞLƏRİN FORMALAŞDIRILMASI

Şərifova F.E., Qarayev E.S.\*

Bakı Dövlət Universiteti

Fizika fakültəsi, III kurs

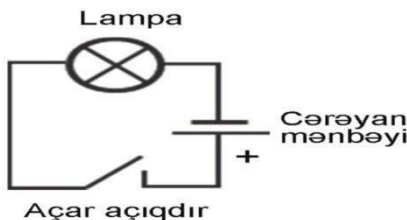
fsharifova77@gmail.com

**Açar sözlər:** Nümayiş, təcrübə, təbiət hadisələri, cihazlarla işləmə vərdişi, təbii proseslər

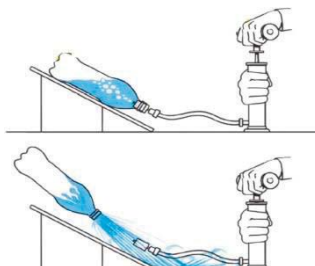
Şagirdlərdə praktiki bacarıq və vərdişlərin formalaşdırılması prosesi aşağı siniflərdən başlanmalıdır. Fizika elmi ilə ilk tanışlığı olan şagirdlərə öyrədilməli olan təcrübələr təbiətlə bağlı, müxtəlif tipli sadə proseslər olmalıdır. Məsələn, (şəkil 1) istilik hadisələri- Günəşin Yeri qızdırması, elektrik hadisəsi- şimşəyin çaxması, işıq hadisələri- kölgənin əmələ gəlməsi, işığın güzgüdə əks olunması və s.



Onlarda praktiki bacarığın aşılanması prosesinin başlanması və inkişafi üçün müstəqil olaraq görəcəkləri bunun kimi tapşırıqlar, təcrübələr (məs: müxtəlif elektrik dövrələri qurmaq, şəkil 2-də göstərilən kimi bir lampa, açar və cərəyan mənbəyindən ibarət elektrik dövrəsini qurmaq) cihazlarla işləmə kimi vərdişlər aşılanmalıdır.



Bunun kimi praktiki bacarıqların yaranması üçün birinci şərt yerinə yetiriləcək əməliyyatın fiziki mənasını, cihazın quruluşunu, işləmə prinsipini başa düşməkdir. Və qeyd etməliyik ki, bu prosesin gedisinə müəllim nəzarət etməlidir. Xüsusilə təhlükəsizlik qaydalarına riayət edilməsinin vacib olduğu təcrübələr. Məsələn: “Su mühərrikli raketin” start halı adlı bir təcrübəyə nəzər yetirək. Şəkildən də göründüyü kimi nasosla hava verilərkən onun qarşısında və yaxınlığında durmaq təhlükəlidir.



Müəllim çalışmalıdır ki, şagirdlər cihazlarla işləyərkən ölçmə işini tam dəqiq və düzgün aparsınlar. Öks halda “bacarıqların aşılması” prosesində səhvə yol verilə bilər. Bu isə sonralar aradan qaldırıla bilməyən bir problemə çevrilə bilər. Odur ki, bu prosesin gedisinə nəzarət edən müəllim təcrübəli, məhsuliyyətli və çevik olmalıdır. Və ən son olaraq qeyd etməliyik ki, aşağı siniflərdən qazanılan bu bilik və bacarıqların yuxarı siniflərdə də davam etdirilməsi və inkişafı mütləqdir.

### Ədəbiyyat

1. Y.Q.Nurullayev “Fizika kursunun tədrisi metodikası” Bakı, 2009, 112 səh
2. S.Q.Abdullayev – Fizika məsələləri 9-11. Bakı, “Kür” nəşriyyatı 2001, 260 səhifə
3. Fizika dərslikləri 6-11

## СВОЙСТВА НЕНЬЮТОНОВСКОЙ ЖИДКОСТИ

Музаффарова И.Э., Гаджиева Л.С.\*

*Бакинский Государственный Университет*

*Физический факультет, I курс*

*izatmuzaffarova@gmail.com*

**Ключевые слова:** текучесть, вязкость, жидкость.

Жидкостное состояние обычно определяют как промежуточное между твердым телом и газом. Различают жидкости идеальные и реальные. Идеальные — это невязкие жидкости, в которых отсутствуют силы трения. Реальными являются вязкие жидкости, обладающие сжимаемостью, сопротивлением. Вязкость в жидкостях определяет силу внутреннего трения, была определена Ньютоном. Реальные жидкости могут быть ньютоновскими и неньютоновскими. Однородные жидкости относятся к ньютоновским: вода, масло и большая часть привычных нам в ежедневном использовании текучих веществ, которые сохраняют свое агрегатное состояние (если речь не идет об испарении или замораживании). Я решила исследовать свойства неньютоновской жидкости в домашних условиях. Простейшим примером может являться смесь крахмала с небольшим количеством воды. К свойствам неньютоновской жидкости относятся:

1. Текучесть зависит от силы и скорости воздействия

2. Вязкость зависит от скорости воздействия при применении резких быстрых механических усилий принимает свойства твердых тел, при медленном воздействии ведёт себя как обычная жидкость.

Эксперимент №1 «Получение неньютоновской жидкости и определение ее свойств в обычных условиях». Смешать в равных долях крахмал и воду в чашке. Получится белая жидкость. Если мешать быстро, чувствуется сопротивление. Получившуюся жидкость можно налить в руку и попробовать скатать шарик, пока мы будем катать шарик, в руках будет твердый шар из жидкости, причем, чем быстрее и сильнее мы будем на него воздействовать, тем плотнее и тверже будет наш шарик. Как только мы разожмем руки, твердый до этого времени шар тут же растечется по руке. То есть после прекращения воздействия на него, жидкость снова примет свойства жидкой фазы. Эксперимент №2 «Изучение влияния магнитных полей на неньютоновскую жидкость». Для этого опыта я создала ферромагнитную жидкость (феррофлюид) — это жидкость, которая сильно поляризуется под воздействием магнитного поля. Данный вид жидкости под действием магнита совершает определенные движения. Чтобы ее изготовить дома, возьмём любое масло, а также тонер для лазерного принтера в виде порошка. Теперь смешаем их до консистенции сметаны. Для того чтобы эффект был максимальным, погреем получившуюся смесь на водянной бане в течение приблизительно получаса, не забывая при этом ее помешивать. Если приблизить обычный магнит к этой

жидкости, она производит определенные движения, например, становится похожей на ежика, изгибается. В результате исследования получено представление о некоторых свойствах неньютоновских жидкостей. Они отличаются от ньютоновских жидкостей видом зависимости вязкости от скорости деформации: если у ньютоновских жидкостей она прямо пропорциональная, то у неньютоновских – более сложная, степенная.

## СЕВЕРНОЕ СИЯНИЕ КАК ФИЗИЧЕСКОЕ ЯВЛЕНИЕ

Эфендиева Ф.Г., Гаджиева Л.С.\*

*Бакинский Государственный Университет*

*Физический факультет, I курс*

*suleyman06062012@gmail.com*

**Ключевые слова:** электрические и магнитные поля, световые кванты.

Северное сияние — это люминесцирующее свечение верхних слоёв атмосфер планеты. Северное сияние (Aurora Borealis) выглядит как прозрачные светящиеся облака, переливающиеся сине-зелеными огнями с розовыми и красными вкраплениями, возникающее в результате его взаимодействия с заряженными частицами солнечного ветра. Эти цветные ленты могут достигать до 160 километров в ширину, а в длину до 1600 километров. Северное сияние наблюдается на Земле, на высоте от 80 до 1 000 км. Впервые, это природное явление с научной точки зрения изучал Михаил Ломоносов в 1751г. После многочисленных наблюдений и опытов он, а в дальнейшем Ж. Кэнтон в Англии и Б. Франклайн в Америке, пришли к выводу, что это сияние имеет электрическую природу. Но возник вопрос откуда берётся ток в атмосфере? Оказалось, что причиной возникновения северного сияния являются процессы, происходящие на Солнце. Солнце представляет собой раскаленный газовый шар, состоящий из атомов водорода и гелия. В ядре этих атомов находятся частицы протоны, которые имеют положительный заряд (+). Вокруг протонов врачаются электроны, которые несут отрицательный заряд (-). Облако сверх горячего газа, который окутывает Солнце (его корона) постоянно выбрасывает в пространство частицы атомов, которые летят в космосе со скоростью 960 км в секунду. Эти потоки называют солнечным ветром. Когда солнечный ветер достигает Земли, его частицы соприкасаются с магнитным полем. Силовые линии магнитного поля Земли сходятся у Северного и Южного полюсов Земли. Прилетевшие к нам от солнца заряженные частицы, засасываются магнитным полем. Эти притянутые частицы движутся вдоль силовых линий магнитного поля, в виде длинных «лучей». И вот, заряженные частицы как бы затаекиваются в атмосферу вблизи полюсов. Атмосфера Земли состоит преимущественно из азота и кислорода. Когда выброшенные Солнцем электроны и протоны достигают нашей атмосферы, они сталкиваются с молекулами этих газов. При столкновении некоторые атомы теряют часть своих электронов, другие — «возбуждаются», получая дополнительную энергию. Когда атом «успокаивается», он испускает световой фотон. При столкновении атомы азота обычно теряют электроны, при этом излучается синий и фиолетовый свет. Если же молекула азота обошлась без потери электрона, то она возбуждается, а после испускает кванты зеленого и красного света. Был проведен эксперимент, по получению искусственного сияния, получивший название “Аракс” в 1985 году совместно

с СССР и Францией. Явление зарегистрировали радарные установки. Эксперименты дают уникальную возможность изучать структуру магнитного поля Земли, процессы в ее ионосфере. А ученые из финского Университета смогли записать шум, сопровождающий это явление. Предполагается, что звук происходит благодаря тому же процессу, который вызывает и северное сияние. Это низкочастотные электромагнитные волны, порождённые северным сиянием. Они излучаются в диапазоне 8-13 герц, что сродни бета и альфа ритмам головного мозга и сопровождается биологически активным инфразвуком. Кстати, Земля не единственная планета, где есть такие явления, на Юпитере небеса в районе Северного полюса, также озаряются яркими сияющими красками.

### **Литература**

1. Данлоп С. /Азбука звездного неба/Физика, изд., Мир, 1990г, с.242.

## ИСТОРИЯ СОЗДАНИЯ ТЕЛЕСКОПА

Рагимли К.М., Гаджиева Л.С.\*

Бакинский Государственный Университет

Физический факультет, II курс

*rehimlikubra9@gmail.com*

**Ключевые слова:** линзы, окуляр, объектив, телескоп.

На протяжении всего существования человечества его интересовало, пугало, очаровывало и привлекало небо, звезды и планеты. Чтобы раскрыть их тайны, сперва простые люди, а потом и учёные пытались, сконструировать подзорные трубы, бинокли, а в дальнейшем и телескопы. Особенно астрономы и ученые прошлых веков старались над созданием телескопов. Телескоп — это дверь в неизвестный космос, неизведенную Вселенную. На современном этапе конструирования телескопов различают следующие виды для всех диапазонов электромагнитного спектра: радиотелескопы, оптические телескопы, рентгеновские телескопы, гамма-телескопы, кроме того изобретены детекторы нейтрино, их называют нейтринными телескопами. Кстати, детекторы гравитационных волн тоже называют телескопами. Для обычных, лабораторных исследований применяют оптический телескоп и телескоп-рефрактор. Оптический телескоп — это устройство, собирающее и фокусирующее электромагнитное излучение в оптическом диапазоне. В функции оптического телескопа включены способность увеличить блеск и видимый угловой размер объекта, то есть, увеличить количество света, идущего от небесного тела. Далее увеличенное изображение объекта наблюдается глазом или фотографируется. Рефрактор-телескоп, используется для накопления светового излучения и используется в системе линз объектива. Работа таких телескопов обусловлена явлением рефракции. Все виды телескопов состоят из объектива и окуляра, в которых создана сложная система выпуклых и вогнутых линз. Объектив создаёт действительное, уменьшенное, обратное изображение бесконечно удалённого предмета в фокальной плоскости. Это изображение рассматривается в окуляр как в лупу. Телескоп в своем развитии прошел очень долгий путь. От Великого Туси до современного космического Хаббла. Великий Азербайджанский ученый Насир ад-Дин Туси в 1259 году в городе Марага близ Тебриза начал строительство обсерватории, которая сохранилась до наших дней и хранится под куполом. Для этой обсерватории он сконструировал оптические приборы и в том числе телескоп. В 1450 году Томас Диггес попытался увеличить звезды с помощью выпуклой линзы и вогнутого зеркала. В 1509-м Леонардо Да Винчи создает чертежи простого линзового телескопа.

Первые зрительные трубы, созданные Галилеем, были изготовлены в 1607 году в Голландии. В 1611 году Иоганн Кеплер предложил свою конструкцию телескопа, который состоял из двух собирающих линз. Схема давала перевернутое изображение, но оно было более ярким, и при этом поле зрения

значительно расширялось. Одним из существенных искажений в его телескопе был хроматизм. Эту проблему решил Исаак Ньютон, добавив в бронзу мышьяк.

С целью избавления от хроматических аберраций он заменил выпуклую линзу на сферическое зеркало. В 1668 году Ньютона был сконструирован первый телескоп, это был рефлектор, длина которого была всего 15 см и диаметром 33 мм. Он добился 40-кратного увеличения высокого качества.

Среди современных телескопов Subaru является одним из самых больших, который основном используется для глубоких широкоугольных съемок и для поиска предсказанной 9 планеты Солнечной системы. В начале 2020 в Китае начал работать крупнейший радиотелескоп диаметром в 500 метров, его задача заключается в раскрытии тайны о "рождении" и эволюции Вселенной. На очереди самый большой в мире радиотелескоп SKA, он будет искать новые космические объекты, в частности новые экзопланеты, а также ловить сигналы от внеземных цивилизаций.

### **Литература**

1. Жиль Спэрроу «Вселенная. Как наблюдать и изучать звездное небо» / Пер. с англ. – М.: БММ АО, 2002.
2. [https://az.wikipedia.org/wiki/N%C9%99sir%C9%99ddin\\_Tusi](https://az.wikipedia.org/wiki/N%C9%99sir%C9%99ddin_Tusi)

## NÜMAYİŞ TƏCRÜBƏSİ

Səlimova S.İ., Orucov A.K.\*

*Bakı Dövlət Universiteti*

*Fizika fakültəsi, III kurs*

*selimovasumaye@gmail.com*

Nümayiş eksperimenti-fiziki hadisələrin yenidən yaradılması, qanuna uyğunluqların eyni zamanda bütün sinif şagirdlərinin qəbulu üçündür. Nümayiş təcrübəsi tədris metodu kimi fizika kursunun sistemli tədrisi ilə eyni zamanda meydana gəlib. Bildiyimiz kimi nümayiş eksperimenti öncədən yığılmış təsəvvürləri formalasdır. Fizika kursu boyunca təcrübələr şagirdlərin dünya görüşünü tamamlayır və genişləndirir. Onlar yeni fiziki hadisələr və proseslər haqqında ilkin və düzgün təsəvvürlər yaradır, qanuna uyğunluqları üzə çıxarır, tədqiqat metodları ilə tanış edir və fiziki qanunların texniki ifadəsini illüstrasiya edir. Bunların hamısı müəllim təzə mövzu izah etdikdə onu konkretləşdirməyə kömək edir və fənnə qarşı maraq oyadır.

Nümayiş təcrübəsinin aparılma texnikası dedikdə təcrübənin effektiv qoyulmasını təmin edən vasitə və üsullar başa düşülür. Yəni təcrübə elə şəraitdə aparılmalıdır ki, sinfin hər yerində görünməli və onun məzmunu nəzərə çarpan olmalıdır. Təcrübənin effektini görmək üçün müəyyən tələblərə əməl olunmalıdır: məzmunluluq, dəqiqlilik, əyanılık, inandırıcılıq, tərar olunma, güvənlilik, estetiklilik, emosionallıq və təhlükəsizlik qaydalarına riayət etmək.

### Ədəbiyyat

1. N.Qocayev "Ümumi Fizika kursu". Bakı:Ləman nəşriyyat,2019,431s.
2. M.Murquozov,S.Abdullayev,R.Abdurazaqov,N.Əliyev,M.Hüseynli,  
C.Hüseynov,A.Səmədov,A.Süleymanov "Fizika.10-cu sinif.Ümumtəhsil məktəbləri  
üçün dərslik". Bakı: Bakınəşr,2013,224s.
3. A.K.Orucov "Orta məktəbdə fizikanın öyrədilməsi metodikası". Bakı:Ləman  
nəşriyyat,2012,124s.

## **ORTA MƏKTƏB FİZİKA KURSUnda XÜSUSİ NİSBİLİK NƏZƏRİYYƏSİ (XNN) ELEMENTLƏRİNİN FORMALAŞDIRILMASI**

**Mehdizadə A.B., Rəhimov R.Ş.\***

*Bakı Dövlət Universiteti*

*Fizika fakültəsi, I kurs (magistrant)*

*aytacmehdizade123@gmail.com*

Orta məktəb fizika kursunda XNN- təhsilin 2-ci pilləsində formalaşdırılır. Şagirdlərə relyativistik mexanika, onun klassik mexanikadan fərqi və s. izah olunur. Onlar elektrodinamikanın müasir anlaşılması üçün XNN- haqqında bilik əldə edirlər. Bu nəzəriyyə 1905-ci ildə Eynsteyn tərəfindən kəşf edilmişdir.

Elektromaqnit xassələri mexaniki hadisələrdən fərqli olaraq, “relyativistik” xarakter daşıyır. Buna görə də XNN-ni elektrodinamika ilə birləşdirirlər.

Klassik mexanika kiçik sürətlərlə hərəkət ( $9 << 0$ ) edən mikrocisimlərin hərəkətini xarakterizə edir. Böyük sürətlə hərəkət edən yüksəklənmiş zərrəciklərin hərəkəti mexanika qanunlarına tabe olmur.

Yerin efirə nəzərən hərəkətini aşkarla çıxarmaq üçün təcrübələr göstərir ki, bir-birinə nəzərən hərəkət edən 2 sistemdə işıq sürəti eynidir. Bu da sürətlərin toplanması qanununa ziddir. Eyni zamanda aydın göstərilir ki, Maksvell tənlikləri və klassik mexanika arasında ziddiyət mövcuddur. Buna görə də bu faktları izah etmək üçün elə bir mexanika yaratmaq lazımdır ki, o limit halında kiçik sürətlər mexanikasına keçə bilsin. Beləliklə, A.Eynsteyn XNN-in əsasını qoymuş. O belə nəticəyə gəldi ki, efir - bir mühit kimi mövcud deyildir. Bu nəzəriyyə, zaman və məkanın fiziki nəzəriyyəsidir. XNN-ə görə zaman - bircinsdir, məkan isə - bircins-izotrop hesab edilir.

Zamanın bircinsliyi - Fiziki qanunlar, başlanğıc zaman anının seçilməsinə nəzərən invariantdır. Sərbəst düşən cismin sürəti və keçdiyi yol nə zaman düşməyə başlığındı andan asılı deyildir. Ona görə də *zamanın bütün anları eynihüquqludur*.

Fəzanın bircinsliyi - koordinat başlanğıcını istənilən nöqtəyə keçirək, fiziki hadisələr eyni cür baş verir. Yəni, *fəzanın bütün nöqtələri eynihüquqludur*.

Fəzanın izotroloğu - fəzanın ixtiyarı istiqamətdə fiziki hadisələr eyni cür baş verir. Yəni, *fəzanın bütün istiqamətləri eyni hüquqludur*.

XNN - relyativistik nəzəriyyədir və 2 əsas postulatı var :

**1. Nisbilik Nəzəriyyəsi.** İmersial sistem daxilində keçirilən heç bir fiziki təcrübə (mexaniki, elektrik, optik), həmin sistemin düzxətli bərabərsürətli hərəkətdə və ya sükunətdə olduğunu aşkar etməyə imkan vermir. Təbiətin bütün qanunları bir inersial sistemdən, digərinə keçdikdə invariant qalır.

**2. İşıq sürətinin invariantlığı prinsipisi.** İşıq sürəti vakuumda mənbəyin və ya müşahidəçinin hərəkət sürətindən asılı olmayıb, bütün İHS-də eynidir. Bütün fiziki qanunlar, İHS- seçilməsinə nəzərən invariantdır. Yəni, İHS- eyni hüquqludur.

İşığın sürətinin sabitliyi - təbiətin fundamental xassəsi olub, təcrübi fakt kimi qəbul edilir.

Beləliklə, XNN - "mütləq məkan" və "mütləq zaman" anlayışlarını öz mənasını itirdi.

XNN - yeni məkan-zaman təsəvvürləri yaratdı. Buraya uzunluğun və zaman intervalının nisbiliyi, hadisələrin eyni vaxtlılığı nisbiliyi daxildir. Bu nəticələr eksperimental olaraq öz təsdiqini tapmışdır və şagirdlər tərəfindən tam mənimşənilməlidir.

#### **Ədəbiyyat**

1. N.Qocayev, "Mexanika kursu". Bakı, 2018
2. Z.Qaralov, "Fizika qanunlarının tədrisi". Bakı, 1997

## FİZİKANIN ÖYRƏNİLMƏSİNДƏ EVRİSTİK METOD

Bağirova Ə.A., Qarayev E.S.\*

*Bakı Dövlət Universiteti*

*Fizika fakültəsi, III kurs*

*aminabagirova1701@gmail.com.*

**Açar sözlər:** evristik metod, evristik müsahibə, qüvvə

Evristik metod-müəllimin problemin həllinin axtarılmasının ayrı-ayrı addımlarını yerinə yetirdikdə şagirdlərin iştirakını təşkil etdiyi metoddur. Müəllimin rolü məsələnin qoyulması, onun ayrı-ayrı mərhələlərə bölünməsi, şagirdlərin sərbəst yerinə yetirəcəkləri mərhələləri müəyyən etməsindən ibarətdir. I halda-problemi müəyyən etmək, II-də-sübut göstərmək,III-də-izah olunan və nümayiş olunan faktlardan düzgün nəticə çıxarmaq,IV-də-fərziyyələr irəli sərmək,V-də-söylənilən fərziyyələrin yoxlanılması üçün plan tərtib etmək və s.öyrədirilir.

Tədrisin evristik metodunun formalarından biri də evristik müsahibədir. Evristik müsahibə (“evrika” yunanca “tapdim” deməkdir) yeni qaydanı, qanunauyğunluğu sualların köməyi ilə şagirdlərə tapdırmaq metodudur. Bu metodda sualların köməyi ilə müvafiq faktlar tapılır və nəticələr çıxarılır,şagirdlərin idrak fəaliyyəti inkişaf edir.Belə müsahibə fənnə maraq oyatmağa, şagirdləri fəallaşdırmağa, mövzunu şüurlu və əsaslı öyrənməyə kömək edir. Təkrarlanması (reproduktiv) müsahibəsindən fərqli olaraq evristik müsahibədə şagirdlərdən nəinki öz bılıklərini təkrarlamaq,həmçinin çox böyük olmayan yaradıcı axtarışlar həyata keçirmək tələb olunur.Evristik müsahibə şagirdləri axtarışa,müstəqil fikirləşməyə,verilən suallara cavab verməyə,bir sözə yaradıcı fəaliyyətə cəlb edir.

Orta məktəbdə,xüsusilə yuxarı siniflərdə,demək olar ki, istənilən dərs evristik metodun istifadəsi ilə təşkil edilə bilər.

“Qüvvə” mövzusunun tədrisi ilə bağlı belə bir nümunəyə baxaq.Əvvəlcə belə bir sual qoya bilərik: cisimləri hərəkətə gətirən nədir? Belə bir təcrübə aparaq: 2 ədəd eyni arabacıq,içərisi qum doldurulmuş kiçik torba, nazik elastik lövhə, qayçı, sap, plastilindən istifadə edək. Əvvəlcə arabacığın birini masanın üstünə qoyaq,o yerindəcə durur.Onu itələyərək hərəkətə gətirək.Şagirdlər arabacığın hərəkət etdiyini müşahidə edirlər.Onlardan müşahidə etdikləri hadisənin səbəbinə dair fərziyyələr irəli sərmələri xahiş olunur. Beləliklə, onların müstəqil axtarışının I mərhəlesi baş tutur. Arabacığın süküntədə durmasının səbəbi nədir? (Səbəb:onə heç bir qüvvə təsir etmir) Arabacığın hərəkətə gətirmək üçün nə etmək lazımdır?(Ona başqa bir cisimlə təsir etmək lazımdır) kimi suallar müzakirə olunur.Sonra nümayiş davam etdirilir və şagirdlərin qarşısında növbəti problem qoyulur. Qum dolu torbanı hərəkətə gətirdiyimiz arabacığın qarşısında yerləşdirsek nə baş verər? Şagirdlər arabacığın sürətinin azalaraq, arabacığın dayanmasını müşahidə etdiklərini qeyd edirlər.Hadisənin səbəbinə dair yeni fərziyyələr irəli sürürlər. Arabacığın qum dolu torba ilə toqquşduqda nə üçün yalnız arabacığın sürəti dəyişdi?(Bir cisim digərinə təsir etdikdə digər cisim də ona əks təsir göstərir.Torbanın göstərdiyi əks təsir böyükdür) sualı müzakirə olunur.Axtarışın II

mərhələsi baş tutur. Daha sonra arabacıqlardan birinə elastik lövhə bərkidək və onu əyərək sapla bağlayaq.İkinci arabacıyı birinci arabacıqla qarşı-qarşıya,lövhəyə toxunmuş vəziyyətdə yerləşdirək.Arabacıqlar arasındaki məsafənin təm ortasında plastilindən nişan qoyaq.Səpi kəsib baş verən hadisəni izləyək.Bu zaman şagirdlər elastik lövhənin bərkidildiyi arabaciqdə dik qalxmasını,həmin anda soldakı arabacığın sola,sağdakı arabacığın sağa itələnməsini,yəni arabacıqların bir-birindən uzaqlaşmasını müşahidə etdiklərini söyləyəcəklər.Necə oldu ki,arabacıqlar bir-birindən uzaqlaşdır?(Bu elastik lövhənin təsiri ilə baş verdi) suali müzakirə olunur. Beləliklə,araşdırırmalarдан çıxan nəticələr bunlardır: cismin sürəti yalnız ona başqa cisimlər təsir etdikdə dəyişir; təsir həmişə qarşılıqlıdır:bir cisim digərinə təsir etdikdə digər cisim də ona əks təsir göstərir.Müəllim nəticələrə əsasən belə bir sualla qüvvə anlayışını verir: Bu təsirləri hansı fiziki kəmiyyət xarakterizə edir? Qüvvə. Cisimlərin bir-birinə təsirini xarakterizə edən fiziki kəmiyyət qüvvə adlanır.

Beləliklə,evristik metoddan istifadə müəllimə həm yeni təlim materialını izah etməyə,həm də şagirdlərdə yaradıcı axtarış vərdişlərinin formalasdırılmasına şərait yaratır.

### **Ədəbiyyat**

1. Orucov A.K. Orta məktəbdə fizikanın öyrədilməsi metodikası. Bakı, Ləman nəşr. 2012. s.124.
2. Каменецкий Теория и методика обучения физике в школе. М. 2000. С 380.
3. Perelman.Əyləncəli fizika

## ORTA MƏKTƏB FİZİKA KURSUnda BƏZİ MƏSƏLƏLƏRİN QRAFIKİ YOLLA SADƏ HƏLLİ

Şəkərova L.Z., Cabbarov C.H.\*

Bakı Dövlət Universiteti

Fizika Fakültəsi, II kurs (magistrant)

Shakarovalaman@gmail.com

Orta məktəb fizika kursunda qrafiki məsələlər xüsusi yer tutur. Bu onunla bağlıdır ki, hadisələrin qrafiki təsviri daha cəlbedici, daha çox əyani olur ki, buda xüsusən aşağı siniflərdə daha çox effektli olur[1,2].

Biz, bunları tareixi bir məsələ olan Sirakruz şahinin Arximedin qarşısına qoyduğu məsələnin qrafiki həllinin nümunəsində göstərək.

Bildiyimiz kimi, Arximed qanunun kəşfi haqqında olan rəvayətlərdən biri, Sirakruz şahının onun qarşısına qoyduğu məsələdir. Rəvayətə görə şah özünə düzəltirdiyi tacın tam qızıldan ibarət olmasına şübhə edir və ustanın ona kələk gəlməsini düşünür. Arximeddən bu məsələni tacı kəsmədən həll etməsini tapşırır. Arximed bu məsələ haqqında düşünərək Arximed qanununu kəşf edir. Məsələnin analitik üsul ilə həlli şagirdlərə orta məktəbdən tanışdır[2]. Burada tacın sıxlığı tapılır və onun qiymətinin, ustanın etdiyi qarışığın miqdardan asılılığı anaitik üsul ilə tapılır.

Ölbətdə bu məsələni həll edənlər burada olan çoxlu mühakimələr, riyazi çevrilənlərin olduğunu bilirlər ki, bu da aşağı sinif şagirdlərinin bu məsələni həll etməyi mümkünzsüz edir.

Bizim təklif etdiyimiz qrafiki metod, həm bu sahədə yeni fikir kimi aktualdır və sonradan bu üsuldan bir çox məsələlərin istifadə edilə bilər.

Fərz edək ki, bizim örgəndiyimiz qarışq, sıxlıqları fərqlənən 2 növ maddədir, birinin sıxlığı  $\rho_1 = 1$  vahid, o birinin sıxlığını  $\rho_2 = \frac{1}{2}$  vahid götürək. Məmulatın həcmi isə 100 vahid olmasını qəbul edək, yəni 1 həcm vahidi, məmulatın həcmimin  $\frac{1}{100}$  ni, daha doğrusu, 1%-ni göstərəcək. Bunu qrafik təsvir etsək, 100 kiçik kubdan ibarət olacaq.

Burada  $\rho_1$  elementini ağ,  $\rho_2$ -ni isə boz kublarla işaretə edək. Beləliklə tac tam birinci məmulatlardan ibarət olarsa, ona uyğun şəkil, 100 ağ kub olacaq. Əgər ona edilən 10% qarışık olarsa, qrafik 90 ağ və 10 ştrixli kub olacaq. Həcm sabit qalır. Yekun kütlə  $90 \times 1 = 90$  vahid

Qarışığın kütləsi  $10 \times 0,5 = 5$  vahid

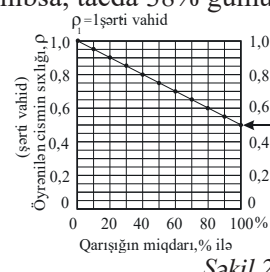
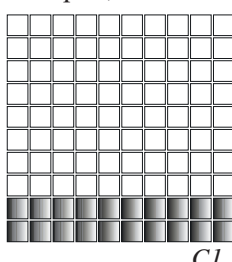
Yekun kütlə 95 vahid, həcm isə 100 vahid. Qarışığın sıxlığı  $95:100=0,95$  olacaq.

Əgər qarışq 20% olarsa: əsas material 80 kub, qarışq isə 20 kub olacaq. əsas maddənin kütləsi:  $80 \times 1 = 80$  vahid, qarışığın kütləsi isə:  $20 \times 0,5 = 10$  vahid. Qarışığın yekun kütləsi  $80 + 10 = 90$  vahid. Qarışığın sıxlığı  $\rho = \frac{90}{100} = 0,9$  vahid olar(şəkil 1). Bu hesablamaları cədvəl şəklində yazaq:

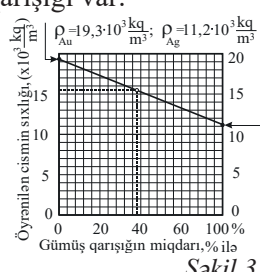
Qarışığın miqdarı, (%-ilə)	20	40	60	80	100
Qarışığın sıxlığı (nisbi vahid)	0,90	0,80	0,70	0,60	0,50

Gördüyüümüz kimi, məməlatın sıxlığı, qarışığın faizindən xətti asılı olaraq, təmiz materialın sıxlığından qarışığın sıxlığına qədər dəyişir. Bu asılılığı quraq (Şək.2):

Bu qrafikdən yekun maddənin tərkibində əsas maddədən nə qədər, qarışığın nə qədər olmasını tapmaq üçün, təcrubi yol ilə onun sıxlığını tapmaq lazımdır və bu sıxlığı qrafikdən taparaq, qarışığın neçə faiz olduğunu hesablamaya olar. Burada biz əyanılık üçün şərti vahidlərdən istifadə etdik. Sirakuz şahinin qoyduğu tarixi məsələnin həlli üçün qrafiklərdəki sıxlıqların real qiymətlərini yerinə qoymaq lazımdır (Şəkil 3) Bir sözlə məsələnin həlli, sıxlığın təyininə gətirilir. Məsələn, əgər sıxlıq 15,5 vahid alıñıbsa, tacda 38% gümüş qarışığı var.



Şəkil 2



Şəkil 3

Beləliklə, anaitik həli çətin olan məsələnin qrafik üsul ilə həli çox sadə şəkildə mümkün olur ki, bu da aşağı sinif şagirdlərində böyük maraq doğurur .

### Ədəbiyyat:

1. Каменецкий С.Е., Орехов В.П. Методика решения задач по физике в средней школе. М., 1987. 448 с.
2. Г. А.Рахманкулова, А. Л.Суркаев, М. М Кумыш, “Пособие по решению задач физика” Волгоград 2014, 137 ст

## KİNEMATİKA BÖLMƏSİNDE MƏSƏLƏLƏRİN QRAFİK ÜSUL İLƏ SADƏ HƏLL METODİKASI

Şəkərova L.Z., Cabbarov C.H.\*

Bakı Dövlət Universiteti

Fizika fakültəsi, II kurs (magistrant)

Shakarovalaman@gmail.com

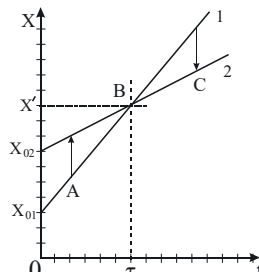
**Açar sözlər:** fizika, qrafiki məsələ, həll metodikası

Orta məktəb fizika kursunda qrafiki məsələlərin araşdırması və həll metodikasının mənimsənilənməsi, şagirdlərə fizikanı daha dərindən öyrədilməsinə kömək edir. Belə məsələlərin tərtibi və həlli şagirdlərdə aşağıdakı keyfiyyətləri aşılıyır. Onlardan əsası, baş verən fiziki hadisələrlə onların riyazi asılığının vizuallaşdırılması. Burada artıq iki məqsədə nail olunur:

-Fiziki hadisələrinin riyazi modelinin qrafiki təsviri yaradılır, fizika ilə riyaziyyatın bağlantısı şagirdlərin beynində daha da əyanıləşir;

- Şagirdlər fiziki proseslərin gedişinin qrafiklərlə təsvirini tədqiq edərək gedən prosesləri daha dərindən anlayıv.

Bundan başqa, qrafiklərin qurululması, şagirdlərdə uyğun asılılıqların, onların maştablarının seçilməsi kimi vərdişləri tərbiyə edir[1,2]. Təsadüfü deyildir ki, hər hansı bir riyazi ifadənin qrafiki, özündə daha çox informasiya daşıyır, riyazi asılılıqları bir növ canlandırır. Qrafiklərin daşıdığı informasiyanı riyazi ifadələrlə yazmaq üçün bəzən çoxlu düstur yazmalı olursan və bunları analiz etmək və fikir yürütmək çox çətin olur. Deyilən fikirləri izah etmək üçün belə bir qrafikə baxaq (şəkil 1):



Şəkil 1. Cismin getdiyi yolun zamandan asılılığı

Bu qrafikdən anlaşılır ki :

-burada iki cisim düzxətli bərabər sürətli hərəkəti təsvir olunub, bunlardan 1-ci cismin sürəti 2-cidən böyükdür;

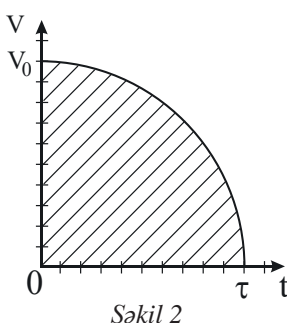
-onların hərəkətə başladığı yerlər  $X_{01}$  və  $X_{02}$  müxtəlidir; onların görüşmə nöqtəsinin koordinatı  $X^1$ , zamanı isə  $\tau$  -dur (B nöqtəsi);

-birinci cisim ilə ikinci cisim arasındaki məsafə əvvəl müsbət (A nöqtəsi) sonra isə mənfi (C nöqtəsi) olub, yəni ikinci cisim əvvəl irəlidə olub, sonra isə geridə qalıb.

Beləlliklə qrafikin necə informativ olması aydın görünür. Çox məsələnin həllində qrafik üsul daha effektiv, sadə və qısa olur [2], onların analitik həlli isə çox uzun və məktəb riyaziyyatından kənarda olur. Məsələn, şəkil 2-də cisimin sürəyinin zamandan asılılığı verilmişdir və bu asılılıq çevrənin bir hissəsi şəklindədir. Cisimin dayanana gədər getdiyi yolu tapmaq lazımdır. Qrafikdən görünür ki, hərəkət dəyişən sürətli, dəyişən təcilliidir:-sürət  $V_0$ -dan sıfıra gədər azalır;-təcil  $a=0$  dan( $t=0$ ) sonsuzluğa gədər( $t=\tau$ ) artır.

Bu məsələnin analitik həlli üçün gedilən yol aşağıdakı düstur ilə tapa bilərik . $S = \int_0^\tau v(t)dt$  ; sürətin zamanda asılılığı  $v(t)$  isə bu düstürden tapılır:

$v(t) = \int_0^\tau a(t)dt$ , Bunun üçün təciliin zamandan asılılığını tapmalıyıq, sonra  $\vartheta(t)$ , və sonda  $S=S(t)$  tapılır.



Şəkil 2

Bu düsturların analitik ifadələrini tapıb məsələni həll etmək olar. Göründüyü kimi bu yol çox uzun yoldur və bu əməliyyatları orta məktəb səviyyəsində həll etmək çox çətindir.

Ancaq biz, bu məsələni qrafiki üsuldan istifadə edərək sadə yol ilə həll edə bilərik. Bildiyimiz kimi, gediən yoluñ qiyməti , sürət qrafikində , sürət xətti ilə məhdudlaşmış figurun sahəsinə bərabərdir.Deməli gediən yoluñ tapılması, şəkildəki çevrənin sahəsinin  $1/4$  nin tapmasına gətirilir:  $S = \frac{1}{4}\pi V_0 \tau$ .

Belə həll həm orta məktəb şagirdlərinin bildikləri riyazi əməllər çərçivəsindədir, həm də öz ləkonikliyi ilə fərqlənir. Məsələnin bu yol ilə həlli, məsələnin həll edilməsi ilə yanaşı, şagirdlərə məsələlərin alternativ həll yoluñ axtarmaq vərdişini də aşılıyor.

### Ədəbiyyat:

1. А.И.Бугаев, "Методика преподавания физики в средней школе" "Москва,Просвещение",1981,288с.
2. Каменецкий С.Е., Орехов В.П. Методика решения задач по физике в средней школе.М.,1987. 448 с.

## **MƏKTƏB FİZİKA KURSU NDА ƏYLƏNCƏLİ MƏSƏLƏLƏR**

**İsmayılova Ş.R., Orucov A.K.\***

*Bakı Dövlət Universiteti*

*Fizika fakültəsi, III kurs*

*ismaylovasafa@gmail.com*

Bir sıra məsələlər özündə klassik fiziki təcrübələr, kəşflər, ixtiralar və həttdə tarixi əfsanələr haqqında verilənlərə aid tarixi xarakterli məlumatlar saxlayır. Belə məsələləri tarixi məzmunlu məsələlər adlandırırlar. Onların məzmununu fərqləndirən cəhət odur ki, qeyri - adı parodoksial və yaxud əyləncəli faktlardan və hadisələrdən istifadə edilir. Əyləncəli məsələlərin həlli dərsləri canlandırır, şagirdlərin fizikaya marağını artırır. Heç vaxt yaddan çıxartmaq lazıim deyil ki, şagirdlər, xüsusən də aşağı siniflərdə, uşaqdır və ona görə də müəyyən qayda daxilində oyun elementləri və yarışlar dərslərdə faydalı olur. Dərsin maraqlı əyləncəli keçməsi üçün şagirdlərlə bu məsələləri müzakirə edib onlarda fizikaya daha da maraq yaratmaq mümkündür. Belə məsələləri Ya.İ.Perelmanın, M.İ.İlyinin, B.F.Bilimoviçin kitablarında tapmaq olar. Əyləncəli məsələlərə aid nümunələr: Raket niyə uçur? Hətta fizikani öyrənən adamlar arasında raketin uçması barəsində tamamilə qəribə fikirlər eşidirik : Raket ona görə uçur ki, güya onun içərisindəki baritin yanması nəticəsində əmələ gələn qaz raketin havadan itələyir. Qədimdə də belə fikirləşirdilər lakin əgər raketin havasız fəzaya buraxsaq o havada olduğundan yaxşı uçaçaqdır. Bu səbəbi Kibaliççi ölümündən qabaq öz üçan maşının ixtirası haqqında olan qeydlərdən çox aydın və sadə ifadə etmişdir. Bir tərəfi açıq digər tərəfi bağlı tənəkə silindirin içərisinə sıxılmış baritdan hazırlanan silindr kip keçrilmişdir. Onun oxu boyunca kanal şəklində boşluq var. Bu kanalın səthi üzrə barit yanmağa başlayır və yanğıın müəyyən zaman fasılınsında sıxılmış baritin xarici səthinə yayılır. Yanma zamanı əmələ gələn qaz hər tərəfə təzyiq edir. Sərt bir qışın çay üzərindəki körpünü dağda biləcəyinə inanırsınız? Bəli. Temperaturun azalması ilə metal konstruksiyaların xətti ölçüləri azalır. 1927-ci ilin dekabrında Fransada fövqəladə donlar başladı. Parisin mərkəzindəki Seine üzərindəki körpünün "skeleti" o qədər büzüşdü ki, kublara çevrildi. Keçid bağlandı.

Çay qarışdırıldığı zaman niyə çay yarpaqları stəkanın ortasına yiğilir? Sürət nə qədər yüksəkdirsə, hərəkət edən mayedəki təzyiq o qədər az olur. Stəkanın ortası ilə kənarları arasında a təzyiqlər fərqi hesabına yaranan quvvə çay yarpaqlarını mərkəzə doğru itələyir.

### **Ədəbiyyat:**

1. Orucov A.K. Orta məktəbdə fizikanın öyrədilməsi metodikası Bakı, Ləman nəşr. 2012. s.124.
2. Каменецкий Теория и методика обучения физике в школе.М. 2000, с 380.

## **ELEKTROMAQNİT DALĞALARI MÖVZULARININ TƏDRİSİNĐƏ EKOLOJİ AMİLLƏR**

**Seyidova Ü.V., Nurullayev Y.Q.\* , İsmayılova R.N.\***

*Bakı Dövlət Universiteti*

*Fizika fakültəsi, II kurs (magistrant)*

*ulya.seyidova2384@gmail.com*

Azərbaycan Respublikası Təhsil İslahatlar Programında qeyd olunur ki, “Cəmiyyət öz gələcəyini təmin etmək” məqsədilə yeni nəslin yüksək səviyyədə hazırlığına nail olmalı və təhsili inkişaf etdirən sahəyə çevrilməlidir. Bu məqsədlə təhsilin məzmunu yeni cəmiyyətdə insanı formalasdırmaq baxımından yeniləşdirilməli, humanist və demokratik prinsiplərə əsaslanan yeni təlim texnologiyalarının yaradılması təxirə salınmaz vəzifə kimi həyata keçirilməlidir. Bu işlərin çərçivəsində şagirdlərin təlim əməyini stimullaşdırın, onları oxumağa, öyrənməyə, ekoloji maraqlarını gücləndirən interaktiv metodların imkanlarından istifadələrinə geniş yer verilməlidir. Ekoloji problem hər bir fənnin, o cümlədən fizika fənninin də qarşısında duran aktual problemlərdən biri olmalıdır. Bu baxımdan Müasir Təhsil Programında ekoloji problemin həllində məktəb fizika fənni xüsusi əhəmiyyət kəsb edir [1,2]. Məhz bu baxımdan Yeni Təhsil Programında ətraf aləmdə ekoloji tarazlığın qorunmasına ciddi fikir verilir. Orta məktəbdə tədris olunan fizika fənni təbiət haqqında fundamental elm sahələrindən biri olub şagirdlərdə ekoloji biliklərin formalasdırmasında mühüm əhəmiyyətə malikdir. Şagirdlərin ekoloji təriyəsi digər fənlər kimi fizika fənninin tədrisi qarşısında duran aktual problemlərindən biridir. Fizika elmi insan-təbiət, təbii ehtiyatlardan əlverişli istifadə kimi münasibətlərin optimallaşdırılmasına imkan verir. Əsas məktəbin IX sinfində şagirdlər elektromaqnit dalğaları, onların növləri və tətbiq sahələri ilə tanış olurlar. Elektromaqnit dalğalarının bir növü də işıq dalğalarıdır. İşıq canlı aləmdə çox mühüm rol oynayır. Günəşdən gələn işıq Yerdəki bütün canlıların həyatını təmin edir. İnsan ətraf aləm haqqında məlumatların təqribən 90%-ni işıq vasitəsilə qavrayır. Əsas məktəbin aşağı siniflərində şagirdlər təbiət hadisələri haqqında ilkin anlayışlarla Həyat bilgisi fənnində işıq faktoru anlayışı ilə bağlı məlumatlar əldə edirlər [3]. İşıq hadisələri mürəkkəb və rəngarəngdir. Ekologiyada «işıq» termini dedikdə günəş şüalanmasının bütün diapazonu və onun yaxın ətrafi nəzərdə tutulur, bura 0,05-dən 3000 nm-ə qədər və daha yüksək dalğa uzunluqda enerji axımı nəzərdə tutulur.

Elektromaqnit dalğaları müsbət təsirə malik olduğu kimi müəyyən tezlikli şüaların insan sağlığına zərərli ekoloji təsiri də vardır. Belə dalgalara ionlaşdırıcı şüalar, kosmik şüalar, həmçinin təbii və süni radioaktiv mənbələrin buraxdığı şüalar daxildir. Bu şüaların Yer səthində orqanizmə zərərli təsiri əsasən təbii radiasiya fonu ilə bağlıdır.

İşıq canlı orqanizm üçün əsas ekoloji faktor olub, mühüm əhəmiyyət kəsb edir. İşıq fotosintez prosesləri üçün enerji mənbəyidir. İşıq Yerin qeyri-üzvi bitki

örtüyündən üzvi birləşmələrin yaranmasında əsas rol oynayır və özünün fiziki xassələrinə görə bütün canlı və bitki aləminin müxtəlif həyat proseslərində çox şaxəli rol oynayır. İşıq kimyəvi və bioloji proseslərin gedişinə təsir göstərir, xəstəlikləri müalicə edir və s. Ona görə Fizika fənninin tədrisində ekologiya diqqət mərkəzində durmalı, elektromaqnit dalğalarının tədrisində elektromaqnit dalğaları və ekoloji faktorların əlaqələndirilməsi vacibdir.

### **Ədəbiyyat**

1. Azərbaycan Respublikasında ümumi təhsilin Konsepsiyası (Milli Kurikulum) Bakı, 2006
2. Qəhrəmanov N. F., Barxalov B.Ş., Nurullayev Y. Q., Radiansiya və həyat fəaliyyəti, Sumqayıt, 2011.
3. Paşayev A.M., Abbasov Ş.M., İbrahimov Z.A. Radioaktivlik və kosmik şüalar.-Bakı, 2006.
4. Кузин А.М. Природный радиоактивный фон и его значение для биосфера Земли.- М.Наука,1991.
5. Куклев Ю.И. Физическая экология.- М., Высшая школа, 2008

## **ŞAGİRLƏRDƏ ÜMUMİLƏŞMİŞ DƏRKETMƏ QABİLİYYƏTLƏRİNİN VƏ PRAKTİKİ MƏSƏLƏLƏRİN ÜMUMİ HƏLL EDİLMƏSİ BACARIQLARININ FORMALAŞDIRILMASI**

**Kərimzadə G.V., Orucov A.K. \***

*Bakı Dövlət Universiteti  
Fizika fakültəsi, III kurs  
kerimzadegulnaz@gmail.com*

**Açar sözlər:** bilik, qavrama, tətbiq, təhlil, sintez, qiymətləndirmə, praktik metodlara - məşğələlər, laboratoriya və praktiki işlər.

Fizikanın tədrisi prosesində şagirdlərin dərketmə maraqlarının inkişaf etdirilməsi müasir dövrdə həll olunması tələb olunan əsas vəzifələrdən biridir. Şagirdlərin Fizika dərslərində dərketmə fəallıqlarının inkişafı təlimin müxtəlif forma və metodlarından istifadə etməklə həyata keçirilir. Görəmək təkcə tamaşa eləmək deyil, gördüğünü həm də dərk eləmək lazımdır. Müəllimin müqəddəs vəzifəsi şagirdlərə dərketmə bacarığını aşılamaqdır. Şagirdlərin, hətta müəllimlərin də bu sahədə özünü göstərməsi üçün qeyri-ənənəvi tədris formalarından, tərbiyəvi üsullardan da istifadə etmək lazımdır. Məsələn, müəllim dərsi adı qaydada deyil, şagird təxəyyülünə uyğun qeyri-standart formada elə təşkil etməlidir ki, bu prosesdə şagirdin qabiliyyəti asanlıqla üzə çıxsin. Belə tədris prosesində ənənəvi və müasir təlim üsullarından geniş istifadə olunmalıdır. Bir sözlə, müəllimin hər bir dərsi adı dərs yox, yaradıcı dərs olmalıdır. Məlumdur ki, dərketmə bacarığının erkən formallaşması məktəbəqədər müəssisələrdə, xüsusilə ibtidai siniflərdə başlayır. Hələ tam formalışmamış uşaq fantaziyalarında işıq da çoxdur, qaranlıq da çoxdur – kim hansını istəyir, onu seçir. Müəllim nəzəri biliyindən, pedaqoji təcrübəsindən ustalıqla yararlanıb uşağın qaranlığı yox, məhz işığı seçməsinə kömək etməlidir. Bu seçim kor-koranə olmamalıdır. Müəllim uşağın bu seçimi etməsinə onun başa düşmədiyi mürəkkəb elmi-metodik üsullarla yox, sadə, eyni zamanda qeyri-adı tədris yolu ilə yardım etməlidir. Şagird ilk təhsil illərindən tədricən başa düşməlidir ki, düşünmədən oxumaq və oxumadan düşünmək faydasızdır! Ancaq həqiqi biliyin sayəsində hər bir işdə-seçdiyin hər bir peşədə məğrur və kamil olmaq mümkündür. Başqa yol yoxdur.

Dərketmənin Səviyyələri: Bilik, Qavrama, Tətbiq, Təhlil, Sintez, Qiymətləndirmə.

Fiziki anlayışların, mövzuların daha dərindən mənimsənilməsində, bu anlayışların mənə və əhəmiyyətinin aydın və dəqiq başa düşülməsində fizika məsələlərinin xüsusi əhəmiyyəti vardır. Müxtəlif tərif, qayda və qanunların fiziki mənəsi şagirdlərə o zaman tamamilə aydın olur ki, həmin tərif, qayda və qanunlar xüsusi və konkret misallara tətbiq edilsin. Bu isə məsələ həlli zamanı mümkün olur. Bu halda fiziki ifadələr şagirdlərin gözünün qabağında canlanır, şagirdlər üçün bu vaxta qədər qaranlıq qalan və ya tamamilə mexaniki sürətdə mənimsənilən bir çox anlayışlar aydınlaşdırılır. Görkəmli ingilis pedaqoqu Noulton yazır: “Heç bir tərif,

prinsip və ya düsturu məsələyə tətbiq etməyincə mənimsənilmiş hesab etmək olmaz”.

Praktiki metodlar. Bu metodlar şagirdlərdə əməli bacarıqlar və vərdişlər formalasdırır.

Məsələ həllinin praktik əhəmiyyəti aşağıdakılardan ibarətdir.

1. Məsələ həlli öyrənilən biliyin tətbiq olunmasını nümayiş etdirən vasitədir.
2. Məsələ həlli təbiətdə baş verən müəyyən qanuna uyğunluqların başa düşülməsi və onun araşdırılması üçün bir vasitədir.
3. Məsələ həlli öyrənilən bilikləri praktikaya tətbiq etmək üçün bir vasitədir.
4. Məsələ həlli şagirdlərə fiziki kəmiyyətlərin ölçü vahidlərini yaxşı mənimsəməyə və onları yadda saxlamağa kömək edir. Onlara kəmiyyətlərin ölçü vahidləri arasında əlaqə yaratmağa kömək edir.

### **Ədəbiyyat**

1. Y. Nurullayev Fizikanın tədrisi metodikası, Bakı, 2018, 200s
2. Ş. Alizadə, İ. İsmailov Fizikanın tədrisi metodikası. Bakı, 2018, 350s
3. A.B. Бугаев, Методика преподование физики в средней школе. Москва. 1982.

## **NYUTONUN I QANUNU İLƏ ŞAGİRLƏRİN HƏYAT TƏCRÜBƏSİ ARASINDAKI ZİDDİYƏTLİK**

**Paşalı Z.Ə., Qarayev E.S.\***

*Bakı Dövlət Universiteti  
Fizika fakültəsi, IV k.*

Ümumtəhsil orta məktəb fizika kursunda Nyutonun I qanunu aşağıdakı kimi verilir. Elə ətalət hesablama sistemləri vardır ki, bu sistemlərə nəzərən hərəkət edən cismə digər cisimlər təsir etməzsə, və ya onların təsiri bir-birini tarazlaşdırarsa, onda cism sükunət və bərabərsürətli hərəkət halını saxlayar. Ətalət sistemi nədir? Ətalət sistemi-Cisimlərin bərabərsürətli düzxətli hərəkət etdiyi və ya sükunətdə qaldığı hesablama sistemidir. Cisinin sürətinin saxlanılmasına cisinin ətaləti, qanuna isə ətalət qanunu deyilir. Məktəb fizika kursunda ətalət hesablama sisteminə aşağıdakı kimi tərif verilir. Sükunətdə və ya bir-birinə nəzərən düzxətli bərabərsürətli hərəkətdə olan hesablama sistemlərinə ətalət hesablama sistemləri deyilir. Buradan görünür ki, cisinin sükunət və ətalət hali nisbidir. Yerdəki təcrübələrlə Nyutonun I qanununu yoxlamaq çətindir. Bunun səbəbi odur ki, baxılan cismə olan digər təsirlərin hamısının təsirini kompensasiya etmək mümkün deyil. Bu baxımdan və bu mənada qanun ideallaşdırılmış hesab edilir. Müəllimin əsas vəzifəsi ondan ibarətdir ki, o bu qanunun doğruluğunu isbat edən dəqiq təcrübələrin olmadığını aydınlaşdırmaqdan və izah etməkdən ibarətdir ki, bu da xeyli mürəkkəb məsələdir. Misal üçün, təbiətdə tam izolə olunmuş cism yoxdur. Tam izolə olunmuş dedikdə hərəkət edən cismə heç bir kənar təsirin olmadığı nəzərdə tutulur. Bu metodiki çətinliyi həll etmək üçün xəyalı təcrübələrə baxılır (sürtünmə, müqavimət və s. qüvvələri olmayan hallar). Belə təcrübələr reallığa bir az yaxın olur. Nyutonun I qanununun dərk olunması üçün ənənəvi Qalileyin novla aparılan təcrübələrini göstərmək olar. Bu təcrübələrdə nov üzərində kiçik tircik və ya kürəcik sürüsür. Birinci halda novun aşağısında olan qum təpəsinə dəyir. İkinci halda novun aşağısında üfüqi torpaq yolla hərəkət edir. Üçüncü halda novun aşağısında hamar səthlə şüşə və ya buz üzrə hərəkət edir. Bu halların hər birində əyani şəkildə cisinin hərəkət sürətinin dəyişib dəyişməməsini görmək mümkündür. Bu təcrübələrə əsasən nəticə çıxarmaq olar ki, hərəkət edən cismə təsir nə qədər az olsa o hərəkətini daha çox davam etdirir. Kürəciyi metaldan düzəldib ona kənardan maqnit yaxınlığından da hərəketin istiqamətini dəyişmək olar. İstənilən təsir sürətləri dəyişir. Son zamanlar quru buz parçaları ilə aparılan təcrübələr cisimlərin bərabərsürətli hərəkət etməsinə imkan yaratır. İndiki halda Nuyutonun I qanununu kosmosda çəkisizlik şəraitində yoxlamaq mümkündür. Bu məqsədlə şagirdlərə kosmosdakı təcrübələri və ümumi təcrübələri göstərmək əhəmiyyətlidir. Müəllimin qarşısında duran digər didaktik məsələ şagirdin həyata baxışları ilə bu qanun arasındaki ziddiyətin elmi əsaslarla aradan götürülməsindən ibarətdir. Bu məsələni həll etmək üçün fizikanın tarixi suallarına xüsusilə mexanikanın ilkin anlayış təsəvvürlerinin formalaşması məsələlərinə baxmaq lazımdır. Mexanikanın əsası

b.e.ə IV əsrдə Aristotel tərəfindən qoyulmuşdur. Xüsusi halda Aristotel təsdiq edirdi ki, “yalnız hərəkət edə bilən cisimlər hərəkət edir” və ya “qüvvəsiz hərəkət yoxdur”. Başqa sözlə Aristotelin təbrincə hərəkət o zaman mümkündür ki, cismə qüvvə tətbiq olunsun. Doğrudan da hərəkət haqqında elmi təsəvvürlərdən uzaq insan üçün yuxarıda deyilən təfəkkür obrazı qəbul ediləndir. Mexanikani öyrənməyə başlayan şagirdlərdə elə düşünür. Həyatı təcrübə ilə Aristotelin nəticələri ilk baxışdan uyğunluq təşkil edir. 2000 il Aristotelin bu ideyaları insanlarda qüvvə anlayışına verilən tərifi təhrif edərək mənimənilmişdir. Mexaniki hərəkətdə bu cür baxışın səhv olduğunu Q.Qaliley göstərmüşdür. Aparılan bütün təcrübələri ümumiləşdirərək Q.Qaliley Aristotelin iddialarını rədd etmiş və göstərmüşdür ki, cismə təsir nə qədər az olarsa, o öz hərəkət sürətini daha çox saxlayar. Nyuton isə özünə qədər olan bütün eksperiment faktları ümumiləşdirərək cisimlərin ətalətə malik olmasını, ətalət hesablama sistemlərdə mövcud olmasını göstərmüşdür. Bəzən səhv olaraq Nyutonun I qanununa II qanunun xüsusi halı kimi, baxılır. Orta məktəb fizika kursunda Nyutonun I qanununun mahiyyətini açmaq o qədər də asan məsələ deyil. Bu mürəkkəblik insanın hayatı baxışlarını dəyişməklə əlaqədardır. Əgər müəllim qoyulan məsələyə ehtiyyatla və elmi şəkildə yanaşarsa, bu məsələni asanlıqla həll etmək olar. Bunun üçün aşağıdakı kimi sualları vermək olmaz. “Nə üçün cism hərəkət edir?”, “Hərəkətin səbəbi nədir?”. Bu cür suallar şagirdləri Aristotelə tərəf meyilləndirir. Nyutonun I qanunu şagirdlərin həyatı təcrübələri ilə ziddiyətlik təşkil etdiyinə görə onu problemlı şəkildə öyrəndikdə təlim prosesini daha da fəallaşdırmaq olar. Birinci qanunun öyrənilməsi bir sıra keyfiyyət və kəmiyyət xarakterli məsələlər, eləcə də müxtəlif labaratoriya işləri yerinə yetirmək lazımdır. Məsələn “Sükunət vəziyyətindən hərəkətə başlayan qatarın stolunun üzərində alma kimi, cisimlər necə hərək edir?”, “Üfüqi yolda düzxətli bərbərsürətli hərəkət edən avtomobilə təsir edən qüvvələrdən hansılar bir-birini kompensasiya edir?”, “Vaqonda əyləşmiş sərnişin hansı sistemlərə və ya cisimlərə nəzərən hərəkət edir, hansına nəzərən sükunətdədir?” və.s.

## **ŞAGİRLƏRİN ÜMUMİ FİZİKA TƏHSİLİNĐƏ MEXANİKANIN ƏHƏMIYYƏTİ**

**Əzizova R.R, Dadaşova V.V.\***

*Bakı Dövlət Universiteti*

*Fizika fakültəsi, III kurs*

*royazizova00@gmail.com*

**Açar sözlər:** Mexaniki hərəkət, dünyanın fiziki mənzərəsi, yaradıcılıq qabiliyyəti

Ümumtəhsil orta məktəblərdə mexanikani öyrəndikdə, təhsilvericilik, tərbiyəedicilik və şagirdlərin inkişafı kimi müəyyən didaktik məsələlər həll olunur. Təhsilverici məsələlər ilk növbədə ona görə müəyyən olunur ki, mexanikada əsas anlayışlar daxil olunur. Bu kəmiyyətlər elmi fizikanı dərk etmək üçün “alətlər” hesab edilir. Bu mənada mexanika fizikanın özülu hesab edilir. Mexanikada şagirdlər klassik nəzəriyyə ilə - klassik Nyuton mexanikası ilə, ümumiləşmiş qanunlarla – ümumdünya cazibə qanunu ilə, saxlanma qanunları ilə, mexaniki sistemin tarazlıq şərtləri və s. Ilə tanış olurlar. Tərbiyəvi məsələlər təbiətə dialektik, materialist baxışlar və onun dərk olunması, politexnik bilik və bacarıqların formalaşması, müasir istehsalatda inkişafın və sürətlənmənin əsas istiqamətlərinin fizika dərsində açılması, beynəlmiləlcilik və patriotizm, əmək təliminin formalaşması yolları ilə həll edilir. Əmək tərbiyəsinin əsası politexnik təlimdir. Bu prosesdə şagirdlər sadə mexanizmləri, müxtəlif növ hərəkətləri, hərəkət qanunlarını və s. öyrənirlər. Labaratoriya işləri apardıqda onlar ölçmə alətləri ilə davranışarkən bəzi praktik bacarıqları mənimsəyirlər. Alımların və ixtiraçıların işlərini nümunə gətirməklə, əməyin elmi kəşflərdə oynadığı rolü göstərməklə şagirdlərdə əməksevərlik tərbiyə olunur.

Mexanikani öyrəndikdə onun ümumi mədəni əhəmiyyətini yalnız mexanikada deyil, bizi əhatə edən həyatdakı mexaniki hadisələrdə də göstərmək olar. Müəllim bunları qeyd etməli və müxtəlif nümunələr göstərməlidir.

Mexanika qanunları, onların praktik əlavələri, mexaniki hadisələrin möişətdə və texnikada təhlili, həmçinin onların yaradıcı eksperimental tapşırıqların yerinə yetirilməsi ilə tanışlıq şagirdlərin elmi-texniki təfəkkürünün inkişafına kömək edir. Fiziki kəmiyyətlərə (Nyutonun klassik mexanikasına) müraciət şagirdlərdə dünyadan fiziki mənzərəsi haqqında təsəvvürlərin formalaşmasına kömək edir. Mexanika bölməsinin 1-ci xüsusiyyəti ondan ibarətdir ki, fizika kursunun öyrənilməsi mexanikadan başlayır. Bu onunla izah edilir ki, mexaniki proseslər hərəkət forması olaraq müşahidə üçün daha görüntülüdür. 2-ci xüsusiyyət budur ki, mexanikada fiziki nəzəriyyə tam təqdim olunmuşdur. Buna görə də müəllimə mexanikanın nümunəsində fiziki nəzəriyyənin strukturunu göstərməyə imkan verir. İstənilən fiziki nəzəriyyədə, şərti olaraq, əsasları, nüvəni və nəticələri ayırmak olar.

Bölmənin 3-cü xüsusiyyəti – mexanikanın tədrisində eksperimentdən istifadə etməkdir. Eksperiment dərkətmənin və istənilən nəzəriyyənin doğruluğu kriteriyasının mənbəyidir və ona görə də mexanikanın öyrənilməsinin əsasında durmalıdır. Mexanikada klassik təcrübələr böyük əhəmiyyət kəsb edir, onlar elmin

inkişafında xüsusi bəndlər kimi çıxış edir və xüsusi qrup təcrübələrinə aiddirlər. Bu, düşən cismin hərəkətinin öyrənilməsi təcrübələri, rəqqasla olan təcrübələr, Qaliley və Nyutonun ətalət və qravitasiya kütlələrini eksperimental isbat edən təcrübələr, Kavendişin Jollinin, Rixartsın cazibənin aşkar olunması və qravitasiya sabitinin ölçülməsi təcrübələri və s. dir. Onları məktəbdə həmişə təkrar etmək mümkün deyil. Belə olan halda onları müxtəlif əyani vasitələr vasitəsilə illüstrasiya etmək lazımdır. Məsələn, tədris video-filməri, modellər, cədvəllər, komputerlər və s.

Mexanikada didaktik öyrədici əhəmiyyəti olan illüstrativ xarakterli və digər qrup təcrübələr vardır. Mexanikaya dair bu cür təcrübələr üçün sənayedə nümayiş və labaratoriya işləri üçün xüsusi cihazlar buraxılır.

### **Ədəbiyyatı**

1. Orucov A.K. Orta məktəbdə fizikanın öyrədilməsi metodikası Bakı ,Ləman nəşr. 2012. S.124.
2. Каменецкий Теория и методика обучения физике в школе.М. 2000 .с 380.

## **FİZİKANIN TƏDRİS EDİLMƏSİNDƏ TƏDQİQATÇILIQ METODU**

**Hacıyeva R.B., Sərməsov S.N.\***

*Bakı Dövlət Universiteti  
Fizika fakültəsi III kurs (bakalavr)*

Pedaqoji prosesdə Fizikanın tədrisi metodikasının tədqiqat metodları pedaqoji hadisələri öyrənməyə kömək edir. Tədqiqat metodları elmi informasiyalar vasitəsilə müəyyən qanuna uyğunluqların, elmi nəzəriyyələrin qarşılıqlı əlaqəsinin məcmusudur. Fizikada hadisələrin tədqiqat metodu bu ardıcılıqla baş verir.

1. Müşahidə
2. Problem-sual
3. Fərziyyə
4. Eksperiment
5. Fiziki nəzəriyyə

Müşahidə metodunun mahiyyəti fizika müəllimi tərəfindən şagirdlərlə aparılan məktəb və məktəbdən kənar məşğələlərin gedişini müşahidə etmək və bu müşahidələrdən nəticə çıxarmaqdan ibarətdir. Müşahidə metodunda tədqiqatçı müşahidə olunan hadisə və prosesləri olduğu kimi qeyd edir. Müşahidə apardıqdan sonra hadisələr izah olunur və bu zaman müəyyən nəticələr əldə olunur. Ancaq hadisələrdə ziddiyətlər aşkar olunan zaman onları izah etmək üçün qarşıya yeni suallar qoymaq lazımdır. Belə suallar problem suallar adlanır. Sonra həmin suallara cavab axtarılır və onlara cavab axtarışı prosesində fərziyyə (hipotez) irəli sürürlür. Təsadüfi və pərakəndə olan müşahidələri sistemləşdirib, onları başa düşüb müəyyən bir fərziyyə söylemək və onu yoxlama yollarını ehtimal etmək lazımdır. Yəni bu zaman fiziki hadisə haqqında fərziyyə irəli sürürlür və fərziyyələrin doğruluğunu yoxlamaq üçün eksperimentlər (təcrübələr) aparılır. Eksperiment təbiət hadisələrinin əvvəlcədən düşünülmüş plan əsasında, xüsusi cihazlarla süni şəraitdə yaradılmasına deyilir. Eksperiment sözünü elmə Qaliley gətirmiştir. Eksperiment zamanı fiziki hadisənin mahiyyətini dərk etmək məqsədilə hadisənin gedişinə müdaxilə edilir.

Belə bir nümunəyə baxaq: Məsələn, əlimizdən qələm düşür. O həmişə Yer səthinə düşür. Müşahidələrdən belə bir fiziki qanun formalasdırmaq olar: qələm Yer tərəfindən cəzb olunduğuuna görə həmişə Yer səthinə düşür. İndi belə bir fərziyyə irəli sürmək olar: əgər , qələm Yerin cazibəsi nəticəsində həmişə Yer səthinə düşürsə, digər fiziki cisimlər də Yerə düşməlidir. Bu fərziyyəni yoxlamaq üçün eksperiment qoyulur. Bu eksperimenti indi xətkəşlə edək və bu zaman da eyni nəticəni alacaq. İrəli sürürlən fərziyyə təsdiq olundu: Yəni xətkəş də, əlimizdən düşən qələm kimi Yerin cazibəsi nəticəsində aşağı Yer səthinə düşür. Beləliklə, bütün cisimlərin Yer tərəfindən cəzb olunması qanununu müşahidə edirik. Eksperimentdə

təsdiq olunmuş fərziyyə fiziki qanuna çevrilir. Alımlar müşahidələr, fərziyyələr, eksperimentlər, fiziki qanunlar və bu qanunların ümumiləşdirilməsi nəticəsində fiziki nəzəriyyələr yaratmışlar.

**Ədəbiyyat:**

1. Əliyev Ə. B. Tədqiqat metodları. Bakı, 2019
2. <https://az.wikipedia.org/wiki/Fizika>

## İSTİLİK HADİSƏLƏRİNİN STATİSTİK VƏ TERMODİNAMİK METODLARLA ÖYRƏNİLMƏSİ

**Quluzadə İ.F., Orucov A.K.\***

*Bakı Dövlət Universiteti*

*Fizika fakültəsi, III kurs*

*quluzadeinare@gmail.com*

**Açar sözlər:** termodinamika, enerji, termodinamikanın birinci qanunu.

Statistik metodla hadisələrin öyrənilməsin mahiyyəti dialektik materializmin təsadüf və zərurət kateqoriyasına uyğundur. Cismiñ və ya sistemin hər bir molekulunun hərəkəti klassik mexanika qanunlarına tabedir, lakin hər an molekulun özünü necə aparması, nəzərə alınması mümkün olmayan bir çox səbəblərdən təsadüfi xarakter daşıyır. Məsələn, hər bir molekulun sürəti, enerjisi, impulsu onun digər molekullarla toqquşmasından asılıdır və istənilən vaxt bu kəmiyyətlərin qiymətlərini əvvəlcədən demək mümkün deyil. Digər tərəfdən, bütün hissəciklər toplumunun özlərini necə aparması statistik adlanan müəyyən qanuna uyğunluqlarla tabedilər və bu qanuna uyğunluqlar çoxlu sayıda hissəciklərin özlərini necə aparmasını örənərkən ortaya çıxan qanunlardır. Məsələn, müəyyən zaman anında hər bir molekulun sürəti təsadüfi kəmiyyət olsada, eksər molekulların (coxunun) surətlərinin qiyməti veilmiş şəraitdə müəyyən qaydalarla tapılmış ən çox ehtimal olunan qiymətə -ehtimallı sürətə yaxın qiymətlərə malikdirlər. Statistik fizikanın riyazi əsasını ehtimal nəzəriyyəsi təşkil edir. Ehtimal nəzəriyyəsinin vacib anlayışları bunlardır: təsadüfi hadisə, ehtimal, statistik paylanması, təsadüfi kəmiyyətin orta qiyməti və s.. **Ehtimal – bu və ya digər şəraitdə hadisənin baş vermə mümkünlüğünün ədədi xarakteristikasıdır.** Molekulyar-kinetik nəzəriyyəni öyrənərkən şagirdlər təsadüfi kəmiyyətin orta qiymətindən geniş istifadə edirlər. Təsadüfi kəmiyyətin orta qiyməinin - statistik paylanması xarakteristikası olduğunu qeyd etmək vacibdir. Coxlu sayıda hissəciklər üçün təsadüfi kəmiyyətin məhz orta qiyməti sabit qalır. Belə kəmiyyətlərə, məsələn, molekulların hərəkət sürəti də aiddir. Şagirdlərdə statistik metodun elmə molekulların hərəkətini təsvir etməyə imkan verən sünə bir üsul (fənd) kimi daxil edildiyi və dinamik qanunların statistik qanunlarla müqayisədə əsas olması barədə təəssürat yarada bilər. Bu səhvin qarşısı alınmalıdır və statistik qanunların obyektiv mövcudluğu izah edilməlidir. Hal-hazırda məlumatdur ki, bütün mikrobyektlərin özlərini necə aparması statistik qanunlara tabedir. Kvant fizikasında klassik statistikadan fərqli olaraq statistik qanunlar yalnız hərəkətin kütłəvi və təsadüfi olması səbəbindən deyil, həm də kvant obyektlərinin öz təbiəti ilə əlaqədardır (eyni vaxtda hissəciyin koordinatını və sürətini təyin dəqiqliyin mümkün olmaması). Statistik metodun müasir fizikanın əsasını təşkil etdiyini qeyd etmək məqsədə uyğundur və əhəmiyyətlidir. Ehtimal olunan, statistik qanunlar xüsusilə elementar hissəciklər aləmində üstünlük təşkil edir. Termodinamik metodla hadisə və proseslərin təsvir edilməsi birbaşa müşahidələrdən və təcrübələrdən alınan məlumatlara və termodinamikanın əsas prinsiplərinə (termodinamikanın

qanunlarına) əsaslanır.

**Termodinamika** – hadisələrin və makroskopik cisimlərin (sistemlərin) xassələrinini onların daxili quruluşunu nəzərə almadan, enerji çevriləməsi ilə əlaqədar olaraq öyrənən fenomenoloji nəzəriyyədir. Termodinamikanın bir elm kimi başlangıcı S. Carnonun "Atəşin hərəkətverici qüvvəsi və bu qüvvəni inkişaf etdirə bilən maşınlar haqqında" (1827) əsərində qoyulmuşdur ki, burada istilik proseslərinə, xüsusən də iş görmə zamanı daxili enerjinin dəyişməsinə və istilik maşınlarının nəzəri suallarına baxılmışdır. İzolə edilmiş sistem – mücərrəd anlayışdır, bütün real sistemlər yalnız bu və ya digər dərəcədə dəqiqliklə (təxmin) təcrid olunmuş sayıla biler. Şagirdlər mexanika kursundan hal anlayışı ilə artıq tanışdırırlar. Onlar bilirlər ki, sistemin mexaniki hali sistemin xassələrini xarakterizə edən və hal parametrləri adlandırılan kəmiyyətlərlə müəyyən edilir. Mexanikada onlara koordinat, impuls və s. aid edilir. Eləcə də termodinamik sistemin hali bir sıra parametrlərlə (termodinamik) müəyyən edilir. Halın termodinamik parametrləri temperatur, həcm, təzyiq və s. ibarətdir. Sistemin halını xarakterizə edən parametrlərin sayı sistemin xassələrindən və onun yerləşdiyi şəraitdən asılıdır. Məsələn, temperatur və təzyiq yalnız sistemin özünün halından asılıdır və xarici şəraitlə əlaqəli deyil. Həcm isə xarici şəraitdən asılıdır. Bəzi hal parametrləri, məsələn, həcm additivlik xassığının malikdir, təzyiq və temperatur isə bu xassəyə malik deyil. Sistemin hali dəyişdikdə onun parametrləri də dəyişir. Bununla yanaşı bir sıra termodinamik sistemlər üçün parametrlər arasında funksional asılılıq qurmaq mümkündür. Bu asılılığı ifadə edən tənliyə hal tənliyi deyilir (ideal qaz sistemi üçün bu  $pV=NkT$  tənliyidir). Sistemin tarazlıq və qeyri-tarazlıq halı ola bilər. Sistemin bütün termodinamik parametrləri zamana görə dəyişməzsə və fəzada xarici təsirlər olmazsa sistemin belə halı tarazlıq halı adlanır. Termodinamika əsasən sistemin tarazlıq hallarını öyrənir. Sistem qeyri-tarazlıq halindədirsa (yəni parametrləri zamanla dəyişirə), o tədricən tarazlıq halına gələcək və sistemin bütün hissələrində uyğun parametrləri bərabərləşəcəkdir. **Qapalı termodinamik sistem zaman keçdikcə həmişə öz tarazlıq halına gələr və öz-özünə bu haldan çıxa biməz.** Bu ifadə termodinamikanın ən vacib eksperimental qanunlarından biri olan termodinamik tarazlıq qanununun mahiyyətidir. Məhz termodinamik tarazlıq qanunu sistemin temperaturun ölçüləməsini mümkün edir. Ideal qazın hal tənliyinin və xüsusi qaz qanunlarının yalnız tarazlıq prosesləri üçün doğrudır. Onlar qeyri-tarazlıq proseslərinə tətbiq edilmir, çünki bu vəziyyətdə sistemin müxtəlif hissələri üçün hal parametrləri fərqlidir. Sistem bir tarazlıq halından digərinə xarici təsirlərin olduqda keçə bilər. Termodinamikada belə keçid termodinamik proses adlanır. Proses zamanı sistem tarazlıqda qalarsa, onda prosesi də tarazlıqlı proses adlandırırlar. Tarazlıq prosesi o zaman olur ki, relaksasiya müddəti (sistemin qeyri-tarazlıq halından tarazlıq halina keçməsi müddəti) prosesin həyata keçirilmə müddətindən çox az olsun. Belə keçid zamanı, sistem hər bir anda bu və ya digər dəqiqlik dərəcəi ilə tarazlıqda, ya da statik vəziyyətdə olduğu hesab edilir. Əslində statik haldan kənara çıxmalar var (əks halda prosesi həyata keçirmək olmaz), ona görə də sistemin hali kvasistatik hal və proses də kvasistatik proses adlanır. Nəzərə almaq lazımdır ki,

qrafiklərdə yalnız tarazlıq (kvazistatik) hallar və ya tarazlıq (kvazistatik) proseslər təsvir edilə bilər."Molekulyar fizika" bölməsini öyrənərkən müəllim statistik və termodinamik metodların vəhdətini daim vurgulamalıdır. Bu baxımdan istilik hadisələrinin statistik və termodinamik təsvirinə yanaşmalar haqqında şagirdlərin biliklərini ümumiləşdirmək və sistemləşdirmək faydalıdır. Biliklərin ümumiləşdirilməsi bütün bölmənin öyrənilməsinin sonunda aparılması əhəmiyyətli olar.

### **Ədəbiyyat**

1. S.Rüstəmov, A.S.Rüstəmov, Z.E.Rüstəmov. Fizika (abituriyentlər üçün dərs vəsaiti) Bakı:“ŞərqQərb” 2015, 496 s
2. Fizika dərslikləri 6-11

## DİELEKTRİKLƏR ELEKTRİK SAHƏSİNĐƏ

Səmədzadə N.C., Abbasova G.C.\*

*Bakı Dövlət Universiteti*

*Fizika fakültəsi, II kurs*

*abbasova1962@mail.ru*

Dielektriklərə elektrik sahəsi ilə təsir etdikdə, onlarda baş verən əsas fiziki proses dielektriklərin polyarlaşmasıdır. Dielektriklərin polyarlaşması ilə əlaqədər proseslər barədə dielektrik nüfuzluğunun qiymətinə görə fikir söyləmək olar. İstənilən dielektrikin onun üçün xarakterik olan müəyyən şəraitdə işçi gərginliyinin məhdud qiyməti vardır. Bu gərginlikdən yüksək gərginliklərdə dielektrikin deşilmə hadisəsi baş verir, bu zaman izolyasiya xassələri təmamilə itir.

Elektrik sahəsinin təsiri altında dielektrikin əlaqəli elektrik yükləri sahə istiqamətində kiçik məsafələrə yerdəyişmə edir. Müsbət yükler sahə istiqamətində, mənfi yükler isə sahəyə əks istiqamətdə yerdəyişmə edirlər. Elektrik sahəsi götürüldükdən sonra yükler öz əvvəlki halına qayıdır. Dielektrikin əlaqəli elektrik yükləri dipollar olarsa, onda dielektrikə elektrik sahəsi ilə təsir etdikdə dipollar sahə istiqamətində oriyentasiya olunurlar. Sahə olmadıqda dipollar istilik hərəkəti nəticəsində nizamsız yerləşirlər. Polyarizasiya nəticəsində dielektrikin səthində müxtəlif işarəli yükler yaranır. Dielektrikin müsbət elektroda tərəf olan səthində mənfi yükler, mənfi elektroda tərəf olan səthində isə müsbət yükler yerləşir. Üzərinə elektrodlar çəkilmiş istənilən dielektrikə elektrik sahəsinə qoşulduğda müəyyən tutuma malik kondensator kimi baxmaq olar. Dielektrikin aqreqat halından və quruluşundan asılı olaraq iki əsas növü var: polyarizasiyanın birinci növü elektrik sahəsinin təsiri altında dielektrikdə ani olaraq, elastiki enerji səpələnməsi, daha doğrusu, istilik ayrılmadan baş verən polyarizasiya aiddir. Bu növ polyarizasiya elastiki polyarizasiya adlanır. Polyarizasiyanın ikinci növü isə ani olaraq baş vermir, yavaş-yavaş yaranır, dielektrikdə enerji səpələnmələri, yəni onun qızması ilə müşaiət olunur. Bu növ polyarizasiya relaksasiya polyarizasiyası adlanır. Elastiki polyarizasiya ani bir müddətdə t (saniyə), tətbiq olunmuş gərginliyin yarı imperoddan çox kiçik bir müddətdə baş verir. Ona görə də belə polyarizasiya dielektrikdə ancaq reaktiv cərəyan yaradır. Belə polyarizasiyaya elektron və elastiki ion polyarizasiyaları aiddir. Yerdə qalan mexanizmlər relaksasiya polyarizasiyalarına aiddir.

Qeyr-elastiki (relaksasiya) polyarizasiya tətbiq olunmuş gərginliyin yarı imperiodu ilə ölçülən bir müddətdə baş verir. Dielektrikdən hazırlanmış kondensatorun tutumunun qiyməti və onda toplanan, elektrik yükü polyarizasiyanın müxtəlif mexanizmlərinin cəmi ilə müəyyən olunur. Onlar müxtəlif dielektriklərdə müşahidə oluna bilər, eyni bir materialda bir neçə mexanizm ola bilər. Hissəciyin polyarlaşması temperaturdan asılı deyil, lakin temperatur yüksəldikcə dielektrikin istidən genişlənməsi və vahid həcmidəki hissəciklərin sayının azalması səbəbindən maddənin elektron polyarizasiyası zəifləyir. Qeyd etdiyimiz kimi elektron

polyarizasiyası bütün dielektriklərdə müşahidə olunur və enerji itkiləri ilə müşayət olunur.

### **Ədəbiyyat**

1. M. Abbasov, S. Məşədibəyova, R. İbadov. Təbiət elmləri lüğəti, Bakı 2006.

## MÜNDƏRİCAT

### **PLENAR İCLAS**

**Məmmədov H.S., Kim.J, Gülməmədov O.G.**

Neylon və strukturlaşdırılmış silisium əsasında triboelektrik generatorlar ..... 5

**Suleymanli A.M., Rahimzade S.G., Pashayev F.H.**

Atomic orbitals of oxygen atom ..... 8

**Məmmədov Ə.S., Orucov A.K.**

Zəif elektrik siqnallarının xarakterinin və döyişmə qanunlarının öyrənilməsi ..... 10

### **BÖLMƏ I. NƏZƏRİ FİZİKA VƏ ASTROFİZİKA**

**Xəlilova G.N., Nağıyev Ş.M.**

Kütləsi zamandan asılı sərbəst kvant zərrəciyinin propaqatoru ..... 12

**Xəlilova G.N., Nağıyev Ş.M.**

Koordinat və impuls təsvirlərində evolyusiya operatorunun Qurulması ..... 13

**Rəfiyeva M.Q., Abdullayev S.Q.**

$H \Rightarrow \tau^- + \tau^+ + \gamma$  parçalanmasında  $\gamma$ -kvantın dairəvi Polyarlaşması ..... 15

**Sadıxlı R.F., Alişeva K.İ.**

Planetar dumanlıqların mərkəzi ulduzlarının temperaturunun onların təkamüllərinə təsiri. 17

**Yusifova A.A., Bəşirov M.M.**

Zərrəciyin xarici maqnit sahəsində hərəkətinin tədqiqi ..... 19

**İsmayılova G.E., Rahimzade S.G., Pashayev F.H.**

Atom orbitals of nitrogen atom ..... 21

**Hacıyeva R.P., Səmədov Z.A.**

İnfragirmizi sel üsulu ilə  $\alpha$ CMA (Al IV) ulduzunun effektiv temperatur və bucaq diametrinin təyini ..... 23

**Rəhimli S.R., Hüseynov N.Ə.**

Seyfert qalaktikası NGC 3516-nın 2017-2021-ci illərdə fotometrik müşahidəsi ..... 24

**Mehdiyeva N.N., Əhmədov A.İ.**

Kleyn-Fok-Qordon tənliyinin ring-shaped potensial üçün analitik həlli ..... 26

**Misirova S.V., Abdullayev S.Q.**

$H \rightarrow f\bar{f}\gamma$  parçalanmasında  $\gamma$ -kvantın xətti polyarlaşması ..... 29

**Əsgərova B.E., Əlili A.H.**

Planetar dumanlıqların dinamik yaşları və mərkəzi ulduzların radiusları ..... 31

**Qardaşov A.M., Məmmədov Ş.Ə.**

Sərt divar modelində nüvə mühiti..... 33

**Məsimova D.U., Qocayev M.Ş.**

$e^- e^+$ -toqquşmasında hiqqs bozonun vektor bozon tərəfindən şüalanması..... 35

## **BÖLMƏ II. İSTİLİK FİZİKASI VƏ MOLEKULYAR FİZİKA**

**Rəsulova F.N., Abbasova G.C.**

Pentapeptid fragmentin fəza quruluşunun öyrənilməsi..... 37

**Abdullayeva S.F., Həsənov A.Q.**

Metal tərkibli nanohissəciklərin maqnit xassələrinin nəzəri tədqiqi..... 39

**Quliyeva R.R., Abbasova G.C.**

His-Ala-İlle fragmentin konformasiya imkanlarının tədqiqi ..... 41

**Hüseynli A.Ç., Həsənova X.T.**

Polimer-duz-su ikifazalı sistemlərinin tətbiq imkanları..... 43

**Adığözəlova J.T., Abbasova G.C.**

Val-Val-Asn-Asp-Leu molekulunun optimal konformasiyaları ..... 45

**Məmmədova Z.İ., Paşayev B.G.**

Su-buxar fazalarının tarazlıq xətti boyunca suyun özlü axınının aktivləşmə parametrləri ..... 47

**Nəhmədov İ.Ə., Ağayeva L.N.**

Laktoferroksin A molekulunun N-tərəf tetrapeptid fragmentinin nəzəri konformasiya analizi ..... 49

**Ağazadə S.F., Məsimov E.Ə.**

PEQ-limon turşusunun Na duzu-su ikifazalı sistemində fazəmələgəlmə prosesinə peq-in molekul çökisinin təsiri..... 51

**Qarayeva Ş.M., Orucov A.K.**

Polimer geller ..... 53

**Əhmədova A.R., Abbasova G.C.** Tyr-Ala-Gly molekulunun

konformasiya imkanlarının tədqiqi ..... 55

**Cəfərova N.S., Paşayev B.G.**

Duru polimer məhlullarının özlülüyü ..... 57

**Səfərli A.R., Abbasova G.C.**

Molekulların fəza quruluşunun öyrənilməsi ..... 59

**Məmmədova F.M., Vəliyeva L.İ.**

Met-callatostatin molekulunun fəza quruluşunun tədqiqi ..... 61

**Həsənov K.M., Nuriyeva S.Q.**

1D quruluşlu Ag gümüş nanonaqillərin sintezi..... 63

**Əsgərova E.Q., Həsənov A.Ə., Həsənova X.T.**

Dekstranın sulu məhlullarının struktur temperaturuna KOH-ın təsiri ..... 65

**Mahmudova L.Ə., Paşayev B.G.**

Su-PEQ-LiOH sistemlərinin xarakteristik özlülüyünün  
və haggins sabitinin təyini ..... 67

**Əliyeva Q.Y., Paşayev B.G.**

Suyun özülü axınının aktivləşmə parametrlərinin temperaturdan və təzyiqdən asılılığı ..... 68

**Mirsultanova R.M., Hüseynov Ə.H.**

Gümüş-gümüş sulfid hibrid nanonaqillərinin alınması  
və bəzi fiziki xassələri ..... 70

**Əzimova L.Ü., Abbasova G.C.**

Peptid molekullarının struktur təşkili ..... 72

**Qədəşova F.M., Abbasova G.C.**

Nəzəri konformasiya analizi üsulu ..... 74

**Balakişiyeva M.D., Paşayev B.G.**

Su-saxaroza sisteminin struktur xüsusiyyətləri..... 76

### **BÖLMƏ III. BƏRK CİSİMLƏR FİZİKASI**

**Rasulova A.R., Əfəndiyeva İ.M.**

İşıqda və qaranlıqda  $Pd_2Si/n-Si$  Şottki diodu

AC-keçiriciliyinin ( $\sigma_{ac}$ ) gərginlikdən asılılığı ..... 77

**Rəhimli K.M., Gadžiева L.C.**

Изучение физических свойств нанокристаллов ..... 79

**Davudova N.F., Nurullayev Y.Q.**

$TlIn_{0,97}Dy_{0,03}Se_2$  bərk məhlul kristalında yükdaşıyıcıların səpilmə mexanizmi ..... 81

**Davudova N.F., Nurullayev Y.Q.**

$TlInSe_2$  kristalinin termoelektrik xassələrinə DY element atomlarının təsiri ..... 83

**Qurbanova N.E., Həsənova L.H.**

$Ga_2S_3$  monokristalının elektrik keçiriciliyi ..... 85

**Hüseynova İ.F., Abasova A.Z.**

GaTe monokristallarının elektrik keçiriciliyinin tədqiqi..... 87

**Rüstəmzadə N.Ə., Nurullayev Y.Q., İsmailova R.N.**

$TlIn_{0,95}Dy_{0,05}Se_2$  bərk məhlul kristalında injeksiya

cərəyanının xüsusiyyətləri ..... 89

**Rüstəmzadə N.Ə., Nurullayev Y.Q., İsmailova R.N.**

TlIn<sub>1-x</sub>Dy<sub>x</sub>Se<sub>2</sub> ( $x: 0,01, 0,03, 0,05$ ) bərk məhlul kristallarının alınması və hal diaqramı ... 91

**Məmmədova Z.V., Cahangirova S.Ə.**

Nazik təbəqəli heterokeçidlərin Si / Cd<sub>1-x</sub>Zn<sub>x</sub> fotoelektrik xassələri ..... 93

**İbrəhimova A.E., Cahangirova S.Ə.**

Cd<sub>1-x</sub>Zn<sub>x</sub>S nazik təbəqələrində VAX-in xüsusiyyətləri ..... 95

**Hüseynli S.İ., Məmmədov V.U.**

Arqon mühitində müxtəlif rejimlərdə termik işlənmənin

p-GaAs/n-Cd<sub>1-x</sub>Zn<sub>x</sub>S<sub>1-y</sub>Te<sub>y</sub> heterokeçidlərinin düzləndirmə əmsalına təsiri ..... 97

**Ramazanova X.Q., Davudov B.B.**

Eroziya tipli impuls plazma sürətləndirici vasitəsilə plazma selinin alınması ..... 99

**İsamalıyeva T.E., Məmmədov R.K.**

Şottki diodlarında potensial çəpərin yaranması və cərəyan

axınına əlavə elektrik sahəsinin təsiri ..... 101

**Baxramli T.M., Salmanov B.M.**

Нелинейное поглощение в кристаллах InSe при лазерном Возбуждении ..... 103

**Məhərrəmova A.N., Cəfərov M.A.**

Si/Cd<sub>1-x</sub>Zn<sub>x</sub>S heterokeçidinin fotoelektrik xassələrinə termik emalın təsiri ..... 105

**Hüseynova Ş.T., Cahangirli Z.A.**

Plazmon rezonansında eks olunma əmsalının minimumlarının enerjisinin bucaqdan asılılığı ..... 107

**Kazımova N.N., Ağayev M.N.**

Paylanmış dəyişən tutumlu uzun boruda ionlaşma dalğası ..... 108

**Abbasova Ç.Y., Səfərov V.H.**

Dislokasiyanın müəyyənləşdirilməsinin səth metodu ..... 110

**Yaqubova A.M., Qəhrəmanov N.F.**

Binar bərk məhlullarda K>1 olduqda ilkin əridilmiş zonanın xəlitənin sonunda yaradılması ..... 112

**Ağayev Ş.M., Kim.J, Gülməmədov O.G.**

Triboelektrik generatorlar və onların tətbiq sahələri ..... 114

**Bağirov T.T., Səddinova A.A.**

(AgSbSe<sub>2</sub>)<sub>0,8</sub>(PbTe)<sub>0,2</sub>-nin istilikkeçirməsi ..... 116

**Abbaszade J.M., Kasumova R.J.**

Layered structures in nonlinear optics ..... 118

**Магеррамова Б.Е., Ибрагимов Г.Б.**

Прямое межзонное поглощение света в квантовых точек при наличии внешнего электрического поля ..... 120

**Hüseynova S.F., Orucov A.K.**

Born-Qaber tsiklinə əsasən nacl kristalının ilişmə enerjisinin  
hesablanması və dissosasiya enerjisinin təyini ..... 122

**Ganbarova S.V., Mammadov H.M.**

Perovskite solar cell..... 124

**Fərmanzadə S.Y., Orucov A.K.**

Molibdenin –barium təbəqəli sistemin emissiya parametrlərinin təyini ..... 126

**Nəcəfova Ş.Ş. Orucov A.K.**

Qrafit monotəbəqəsi ilə örtülülmüş renium lentin emissiya xassələri ..... 128

**Zeynallı A., Kasumova R.J.**

Optik superqəfəsdə kvazisinxron generasiya..... 130

**Alimova T.A., E.R.Həsənov.**

Aşqarlı yarımkəcəricilərdə yararan cərəyan rəqslərinin  
qeyri-xətli yaxınlaşmada tezliyinin hesablanması ..... 132

## **BÖLMƏ IV. FİZİKANIN TƏDRİSİ METODİKASI**

**Şərifova F.E., Qarayev E.S.**

Müasir təlim sisteminə uyğun olaraq şagirdlərdə fizikadan  
praktiki bacarıq və vərdişlərin formalasdırılması ..... 134

**Muzaffarova İ.İ. Gadjieva L.C.**

Свойства неньютоновской жидкости..... 136

**Əfəndieva F.G., Gadjieva L.C.**

Северное сияние как физическое явление ..... 138

**Rahimli K.M., Gadjieva L.C.**

История создания телескопа ..... 140

**Səlimova S.İ., Orucov A.K.**

Nümayiş təcrübəsi ..... 142

**Mehdizadə A.B., Rəhimov R.Ş..**

Orta məktəb fizika kursunda xüsusi nisbilik nəzəriyyəsi  
(XNN) elementlərinin formalasdırılması ..... 143

**Bağirova Ə.A., Qarayev E.S.**

Fizikanın öyrənilməsində evristik metod ..... 145

**Şəkərova L.Z., Cabbarov C.H.**

Orta məktəb fizika kursunda bəzi məsələlərin qrafiki yolla sadə həlli ..... 147

**Şəkərova L.Z., Cabbarov C.H.**

Kinematika bölməsində məsələlərin qrafik üsul ilə sadə həll Metodikası ..... 149

<b>İsmayılova Ş.R., Orucov A.K.</b>	
Məktəb fizika kursunda əyləncəli məsələlər.....	151
<b>Seyidova Ü.V., Nurullayev Y.Q., İsmayılova R.N.</b>	
Elektromaqnit dalğaları mövzularının tədrisində ekoloji amillər .....	152
<b>Kərimzadə G.V., Orucov A.K.</b>	
Şagirdlərdə ümumiləşmiş dərkətmə qabiliyyətlərinin və praktiki məsələlərin ümumi həll edilməsi bacarıqlarının formalasdırılması .....	154
<b>Paşalı Z.Ə., Orucov A.K.</b>	
Nyutonun I qanunu ilə şagirdlərin həyat təcrübəsi arasındakı ziddiyətlik .....	156
<b>Əzizova R.R., Dadaşova V.V.</b>	
Şagirdlərin ümumi fizika təhsilində mexanikanın əhəmiyyəti.....	158
<b>Hacıyeva R.B., Sərməsov S.N.</b>	
Fizikanın tədris edilməsində tədqiqatçılıq metod .....	160
<b>Quluzadə İ.F., Orucov A.K.</b>	
İstilik hadisələrinin statistik və termodinamik metodlarla öyrənilməsi .....	162
<b>Səmədزادə N.C., Abbasova G.C.</b>	
Dielektriklər elektrik sahəsində .....	165

Çapa imzalanıb: 26.11.2021

Format 70x100 16/1. Ofset kağızı.

Həcmi 10,75 ç.v.. Sayı 100

“Bakı Universiteti Nəşriyyatı”nda çapa hazırlanmışdır.  
Bakı Dövlət Universitetinin mətbəəsində çap olunmuşdur.

Bakı şəh., ak. Z. Xəlilov küç. 33

Tel: (+99412) 538 87 39 / 538 50 16

e-mail: bdumetbee@gmail.com

**www.bsu.edu.az**